

第 84 回 南海トラフ沿いの地震に関する評価検討会
第 462 回 地震防災対策強化地域判定会

気 象 庁 資 料



令和 6 年 9 月 6 日

本資料は、国立研究開発法人防災科学技術研究所、北海道大学、弘前大学、東北大学、東京大学、名古屋大学、京都大学、高知大学、九州大学、鹿児島大学、国立研究開発法人産業技術総合研究所、国土地理院、国立研究開発法人海洋研究開発機構、公益財団法人地震予知総合研究振興会、青森県、東京都、静岡県、神奈川県温泉地学研究所及び気象庁のデータを用いて作成しています。また、2016 年熊本地震合同観測グループのオンライン臨時観測点（河原、熊野座）、2022 年能登半島における合同地震観測グループによるオンライン臨時観測点（よしが浦温泉、飯田小学校）、米国大学間地震学研究連合（IRIS）の観測点（台北、玉峰、寧安橋、玉里、台東）のデータを用いて作成しています。

以下の資料は暫定であり、後日の調査で変更されることがあります。

令和6年8月1日～令和6年9月4日の主な地震活動

○南海トラフ巨大地震の想定震源域およびその周辺の地震活動：

【最大震度3以上を観測した地震もしくはM3.5以上の地震及びその他の主な地震】

月/日	時:分	震央地名	深さ (km)	M	最大 震度	発生場所
8/8	16:42	日向灘	31	7.1	6弱	フィリピン海プレートと陸のプレートの境界
	・上記の地震の震源域周辺で、8月8日16時42分以降、M3.5以上の地震が27回（上記の地震を含む）発生している（9月4日24時現在）。					
8/9	19:57	神奈川県西部	13	5.3	5弱	
8/24	09:32	四国沖	36	4.2	1	フィリピン海プレート内部

※震源の深さは、精度がやや劣るものは表記していない。

※太平洋プレートの沈み込みに伴う震源が深い地震は除く。

○深部低周波地震（微動）活動期間

四国	紀伊半島	東海
■四国東部 8月2日～3日 8月6日～7日 8月12日～13日 8月15日 8月17日～18日 8月27日	■紀伊半島北部 <u>8月7日～18日</u> ^{注1)} ··· (1) 8月23日	<u>8月13日～20日</u> ··· (2)
■四国中部 8月2日 8月8日～9日 8月14日 <u>8月16日～19日</u> ··· (3) 9月1日～2日	■紀伊半島中部 8月5日～9日 ^{注1)}	
■四国西部 8月1日～2日 8月6日～7日 8月10日 8月13日～17日 <u>8月19日～24日</u> ··· (4) 8月26日～27日 9月1日～3日	■紀伊半島西部 8月2日～5日 8月8日～9日 8月13日～14日 8月16日～18日 8月20日 8月27日～28日 8月31日～9月1日	

※深部低周波地震（微動）活動は、気象庁一元化震源を用い、地域ごとの一連の活動（継続日数2日以上

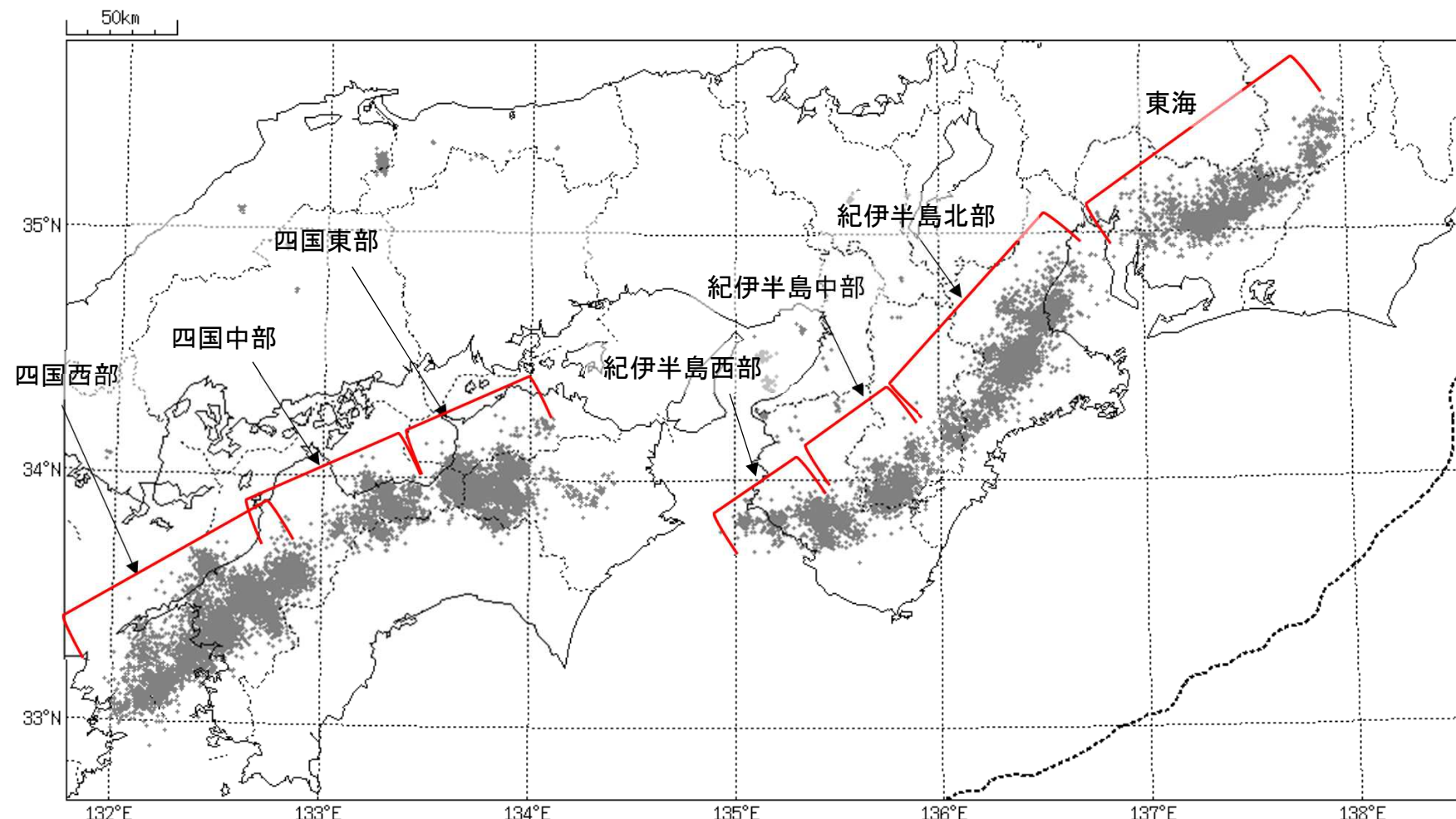
または活動日数1日の場合で複数個検知したもの）について、活動した場所ごとに記載している。

※ひずみ変化と同期して観測された深部低周波地震（微動）活動を赤字で示す。

※上の表中（1）、（2）、（3）、（4）を付した活動は、今期間、主な深部低周波地震（微動）活動として取り上げたもの。

注1) 防災科学技術研究所による解析では、8月5日から17日頃にかけて微動活動が見られた。

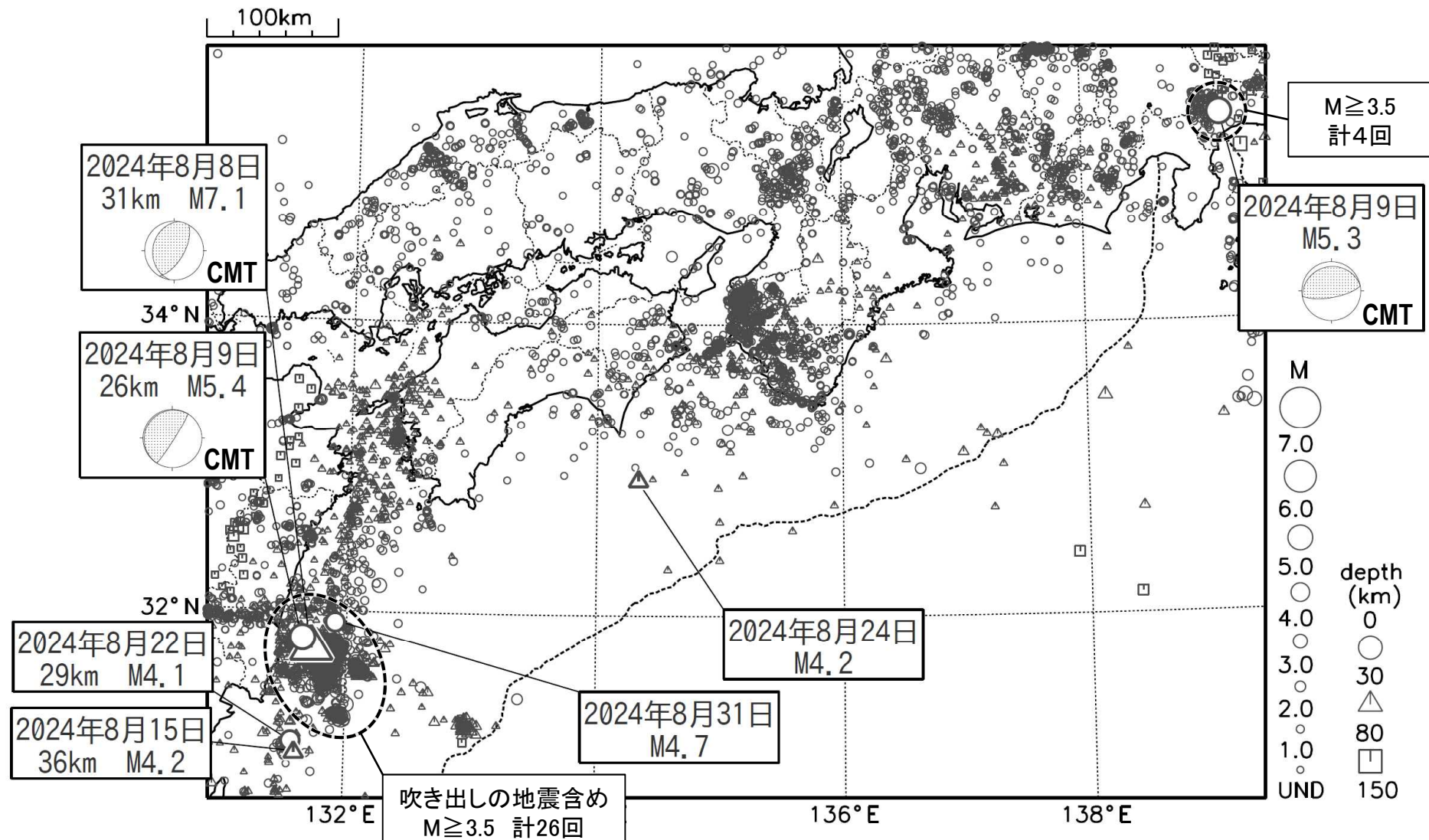
概況に記載している深部低周波地震(微動)の活動の場所



領域はObara(2010)を参考に作成。

出典 : Obara, K. (2010), Phenomenology of deep slow earthquake family in southwest Japan: Spatiotemporal characteristics and segmentation, *J. Geophys. Res.*, 115, B00A25, doi:10.1029/2008JB006048.

南海トラフ沿いとその周辺の広域地震活動(2024年8月1日～2024年8月31日)



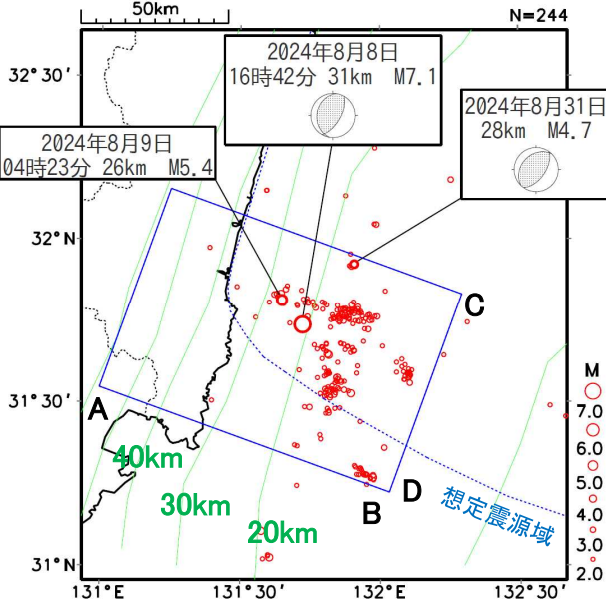
- 図中の吹き出しへは、南海トラフ巨大地震の想定震源域とその周辺で最大震度3以上を観測した地震もしくはM3.5以上の地震、それ以外の陸域M5.0以上・海域M6.0以上とその他の主な地震。
- 震源の深さは、精度がやや劣るものは表記していない。
- 発震機構解の横に「S」の表記があるものは、精度がやや劣るものである。

気象庁作成

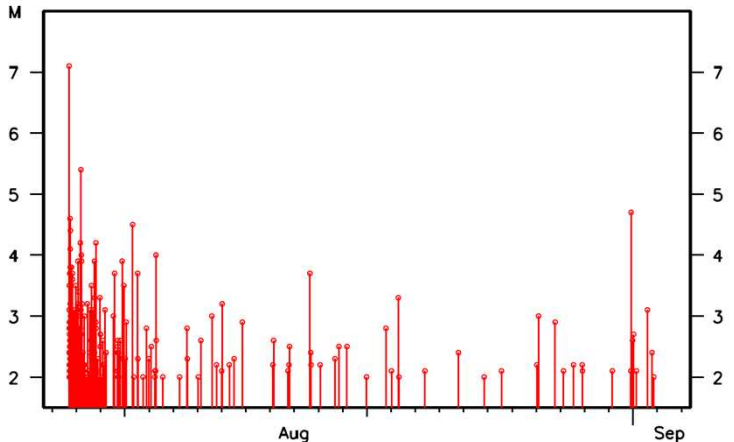
2024年8月8日 日向灘の地震活動状況

震央分布図

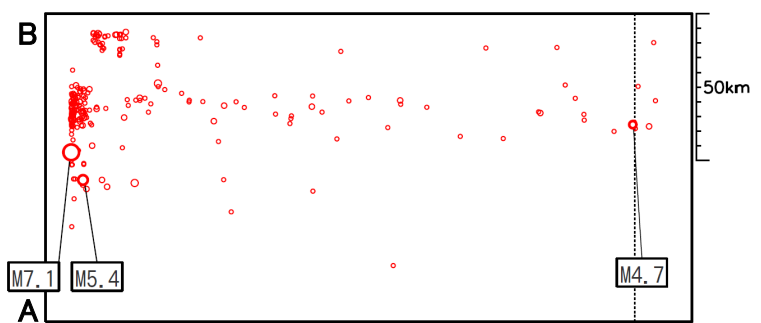
(8月8日00時～9月2日24時、 $M \geq 2.0$ 、深さ0～60km)
図中の発震機構はCMT解



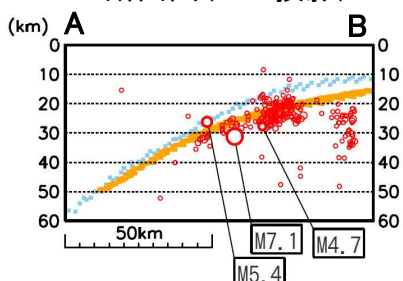
震央分布図の四角形領域内のM-T図



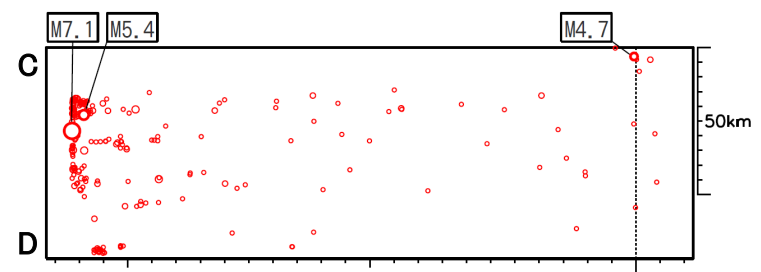
震央分布図の四角形領域内の時空間分布図(A-B、C-D投影)



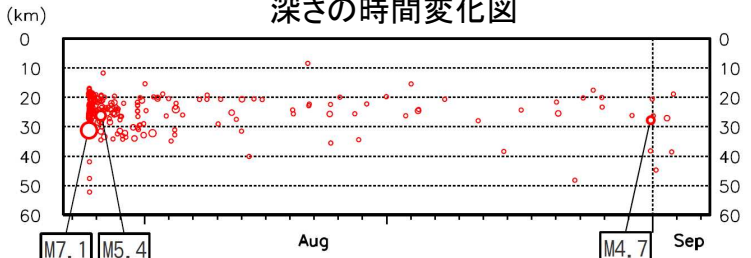
震央分布図の四角形領域内の断面図(A-B投影)



※断面図中の水色の点線はBaba et al.(2002)、Hirose et al.(2008)、Nakajima and Hasegawa(2007)、橙色の点線は内閣府(2011)によるフィリピン海プレート上面のおおよその深さを示す。



震央分布図の四角形領域内の深さの時間変化図

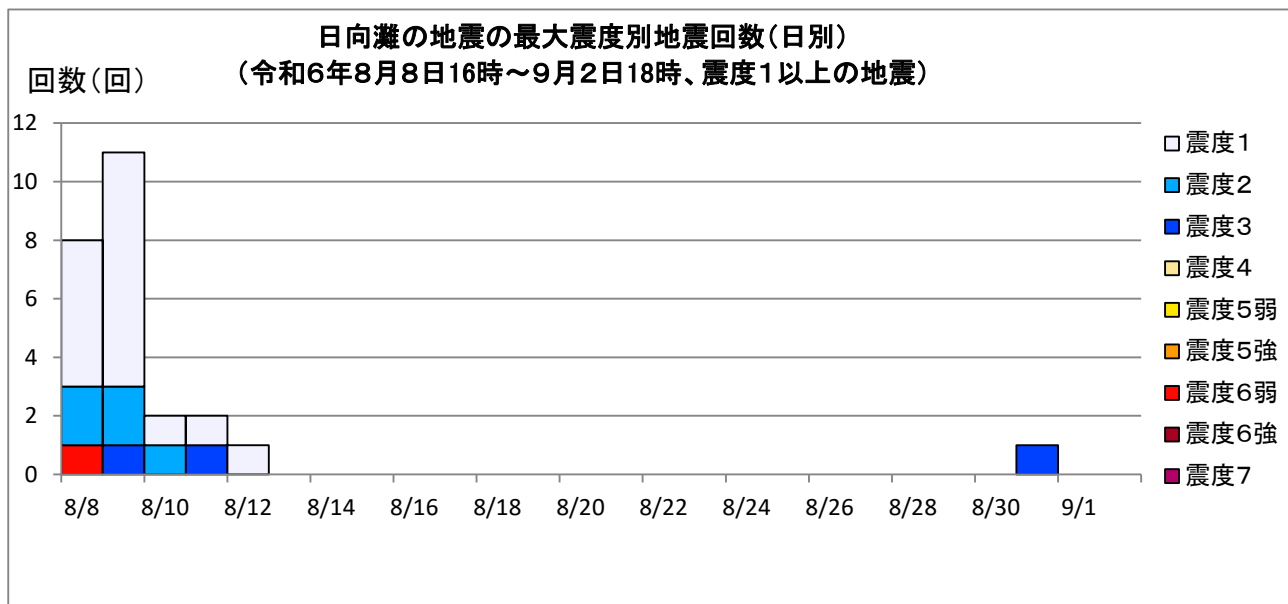


日向灘の地震の最大震度別地震回数表

令和6年8月8日16時～9月2日18時、震度1以上

(注)掲載している値は速報のもので、その後の調査で変更する場合があります。

日別	最大震度別回数									震度1以上を観測した回数 回数	備考
	1	2	3	4	5弱	5強	6弱	6強	7		
8/8	5	2	0	0	0	0	1	0	0	8	8
8/9	8	2	1	0	0	0	0	0	0	11	19
8/10	1	1	0	0	0	0	0	0	0	2	21
8/11	1	0	1	0	0	0	0	0	0	2	23
8/12	1	0	0	0	0	0	0	0	0	1	24
8/13	0	0	0	0	0	0	0	0	0	0	24
8/14	0	0	0	0	0	0	0	0	0	0	24
8/15	0	0	0	0	0	0	0	0	0	0	24
8/16	0	0	0	0	0	0	0	0	0	0	24
8/17	0	0	0	0	0	0	0	0	0	0	24
8/18	0	0	0	0	0	0	0	0	0	0	24
8/19	0	0	0	0	0	0	0	0	0	0	24
8/20	0	0	0	0	0	0	0	0	0	0	24
8/21	0	0	0	0	0	0	0	0	0	0	24
8/22	0	0	0	0	0	0	0	0	0	0	24
8/23	0	0	0	0	0	0	0	0	0	0	24
8/24	0	0	0	0	0	0	0	0	0	0	24
8/25	0	0	0	0	0	0	0	0	0	0	24
8/26	0	0	0	0	0	0	0	0	0	0	24
8/27	0	0	0	0	0	0	0	0	0	0	24
8/28	0	0	0	0	0	0	0	0	0	0	24
8/29	0	0	0	0	0	0	0	0	0	0	24
8/30	0	0	0	0	0	0	0	0	0	0	24
8/31	0	0	1	0	0	0	0	0	0	1	25
9/1	0	0	0	0	0	0	0	0	0	0	25
9/2	0	0	0	0	0	0	0	0	0	0	25
総計(8月8日～)	16	5	3	0	0	0	1	0	0	25	18時時点

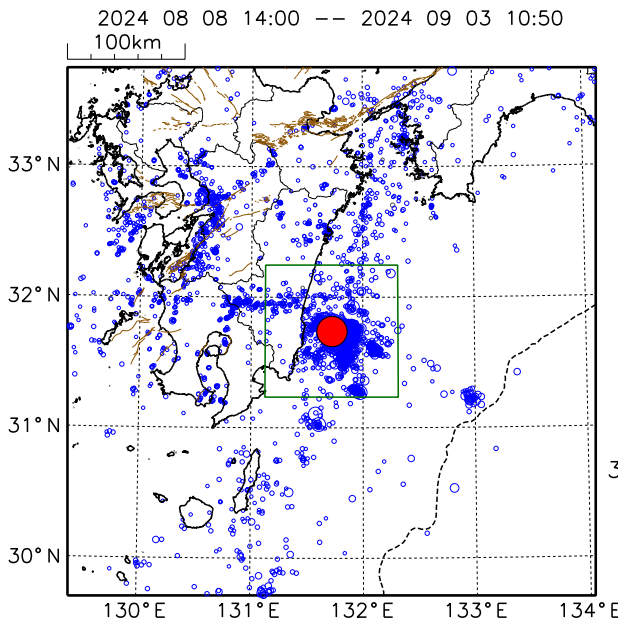


今回の地震活動

震央分布図（詳細図）

震央分布図（広域図）

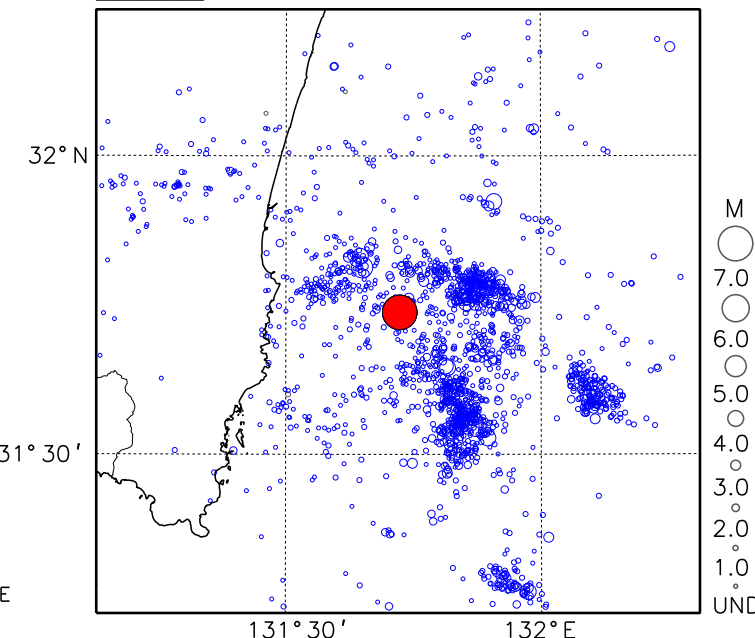
深さ0 -- 100km、 M 全て



震央分布図（広域図）の四角形領域内の震央分布図

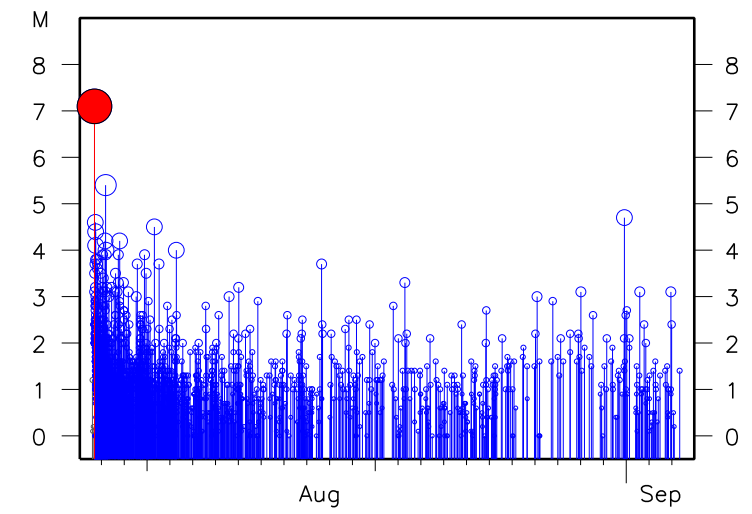
深さ0 -- 100km、 M 全て

2024 08 08 14:00 -- 2024 09 03 10:50
20km



震央分布図（詳細図）の地震活動経過図

2024 08 08 14:00 -- 2024 09 03 10:50



(震源の色について)赤色：今回の地震、青色：今回の地震より後に発生した地震、灰色：今回の地震より前に発生した地震

・震央分布図中の茶色の細線は、地震調査研究推進本部の長期評価による活断層を示す。

・震央分布図中の黒色の点線は、海溝軸を示す。

<資料の利用上の留意点>

・表示している震源は、速報値を含みます。

・速報値の震源には、発破等の地震以外のものや、誤差の大きなものが表示されることがあります。

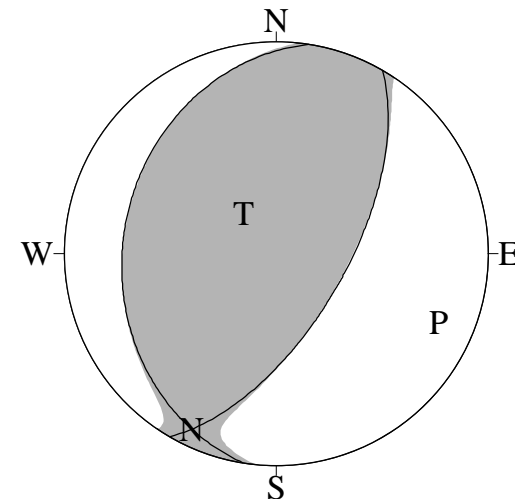
・個々の震源の位置や規模ではなく、震源の分布具合や活動の盛衰に着目して地震活動の把握をご利用ください。

発震機構解

08081642

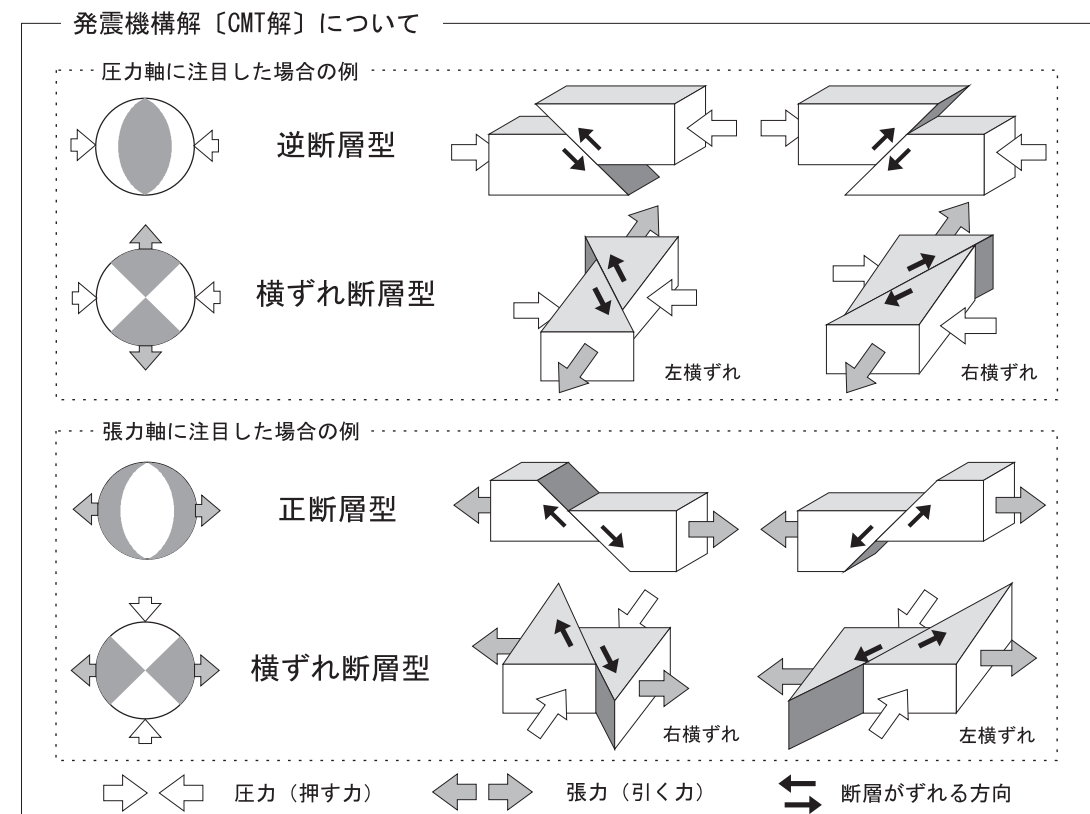
西北西 - 東南東方向に圧力軸を持つ逆断層型

[CMT解]



セントロイドの位置
北緯 31度36分
東経 131度44分
深さ 約35km
セントロイドの位置とは、
地震の断層運動を 1 点で
代表させた場合の位置。

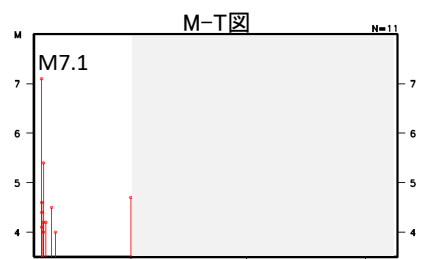
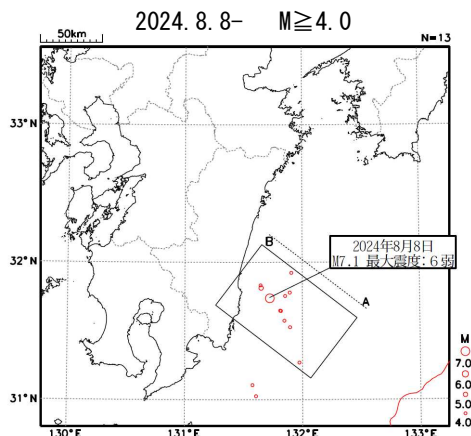
Mw=7.0



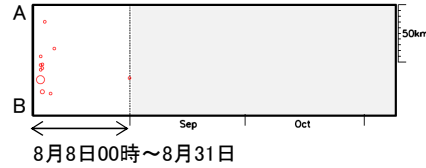
気象庁作成

日向灘で発生した過去の地震との活動比較(3か月間)

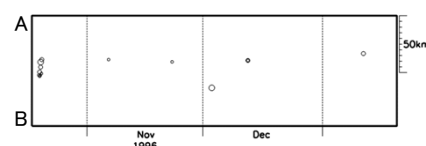
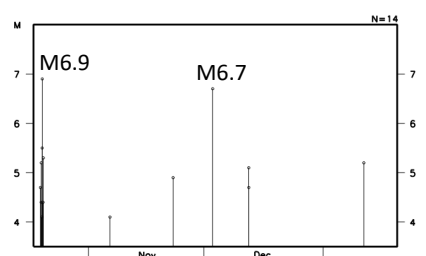
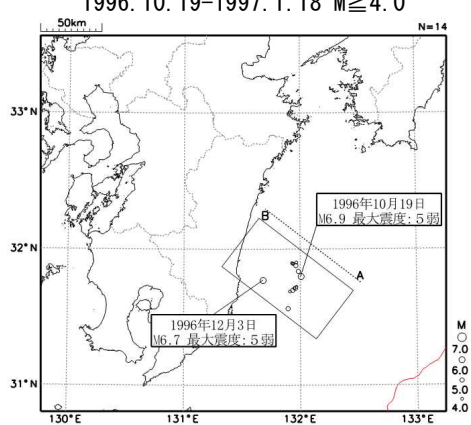
令和6年(2024年)
日向灘の地震
(M7.1, 最大震度6弱)



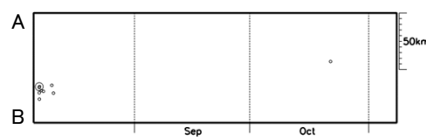
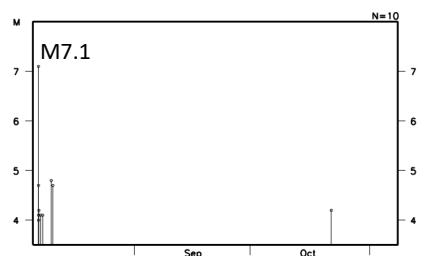
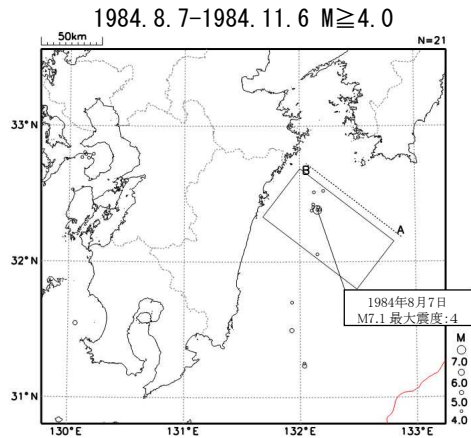
時空間分布図(A-B投影)



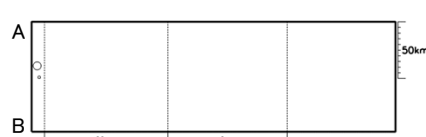
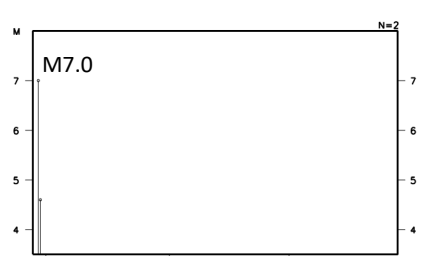
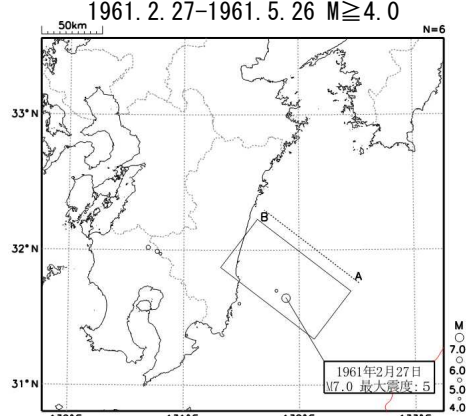
平成8年(1996年)
日向灘の地震
(M6.9, 最大震度5弱,
M6.7, 最大震度5弱)



昭和59年(1984年)
日向灘の地震
(M7.1, 最大震度4)



昭和36年(1961年)
日向灘の地震
(M7.0, 最大震度5)



気象庁作成

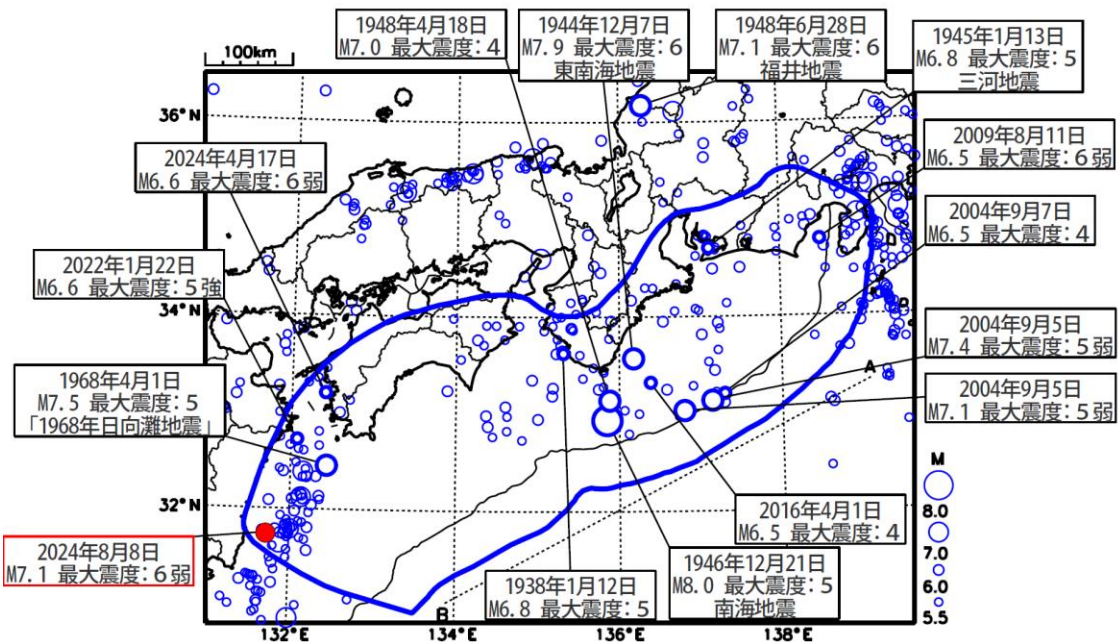
南海トラフ沿いの過去の地震活動（1919年以降）

1919年01月01日～2024年08月09日23時20分

M5.5以上、深さ0～100km

震央分布図

今回の地震を赤く表示



赤線は想定震源域、青線は南海トラフ地震臨時情報発表に係る地震活動の監視領域

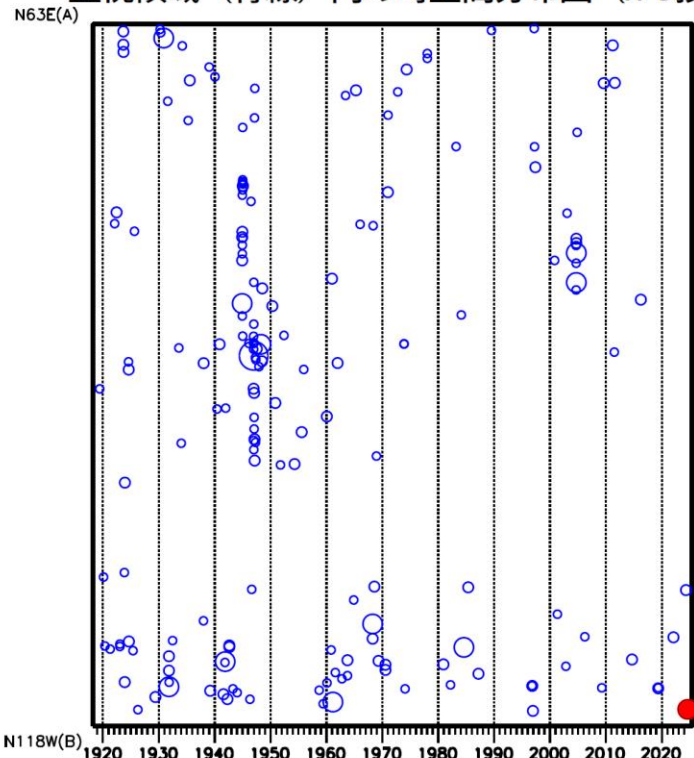
【図の説明】

- 表示している震源は速報値を含む
- 丸の大きさはマグニチュードの大きさを表す
- (震央分布図)
 - 以下の地震に吹き出しを付けた
1999年以前
 - 想定震源域（日向灘を除く）で発生したM6.8以上の地震
 - 想定震源域（日向灘）で発生したM7.5以上の地震
 - 図中で1946年南海地震から3年以内に発生したM7.0以上の地震
 - 2000年以降
 - 想定震源域で発生したM6.5以上の地震

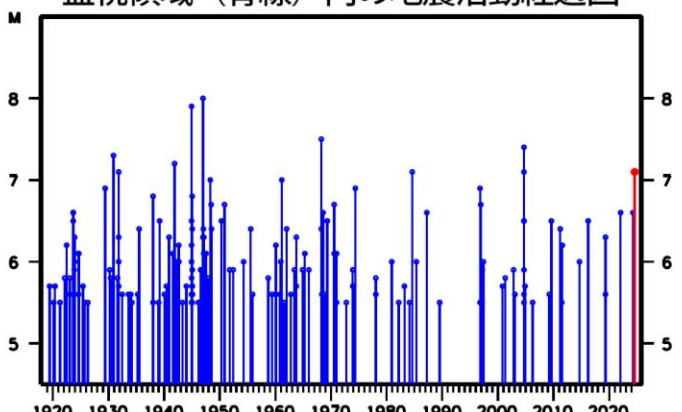
(時空間分布図)

- 横軸は時間、縦軸は空間を示す
- 発生した時刻にマグニチュードの大きさに対応した丸を示す
- (地震活動経過図)
 - 横軸は時間、縦軸はマグニチュード、縦棒のついた丸は地震発生時刻とマグニチュードの大きさを表す

監視領域（青線）内の時空間分布図（A-B投影）



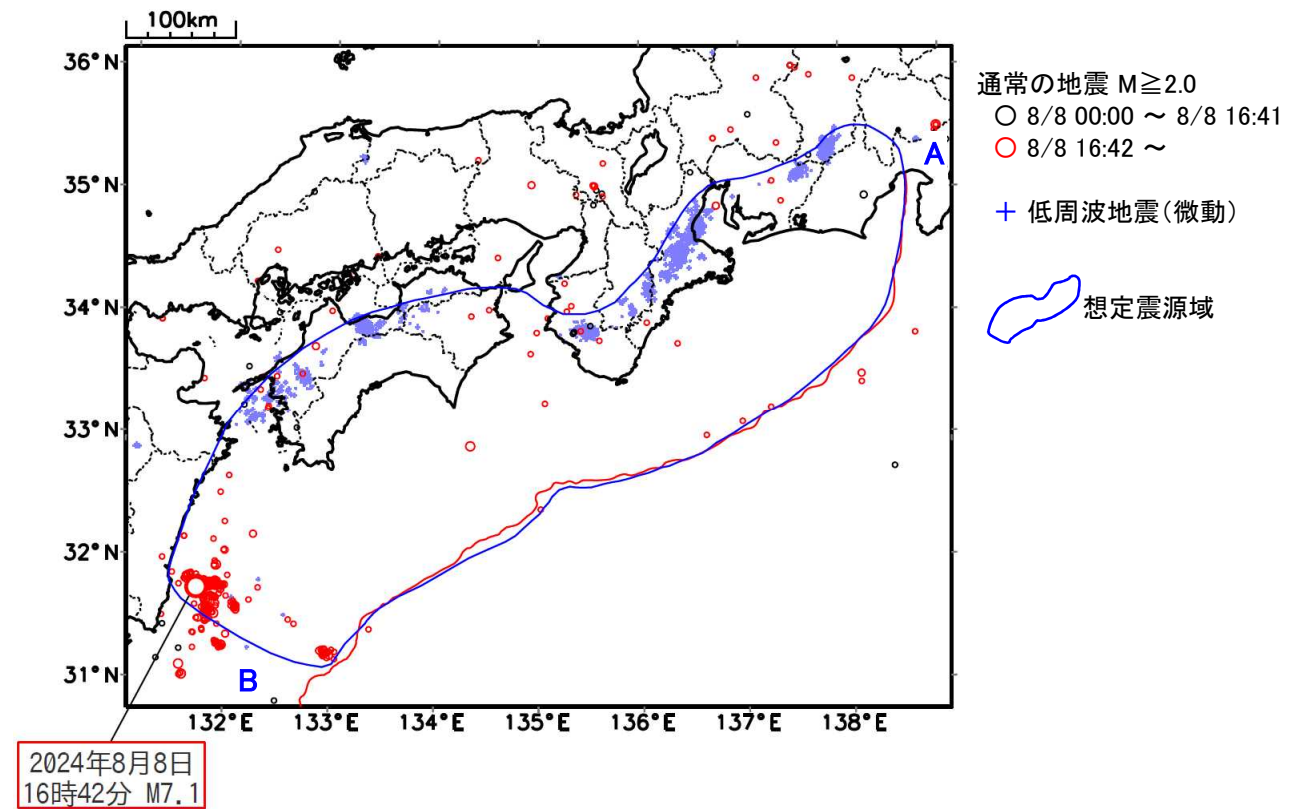
監視領域（青線）内の地震活動経過図



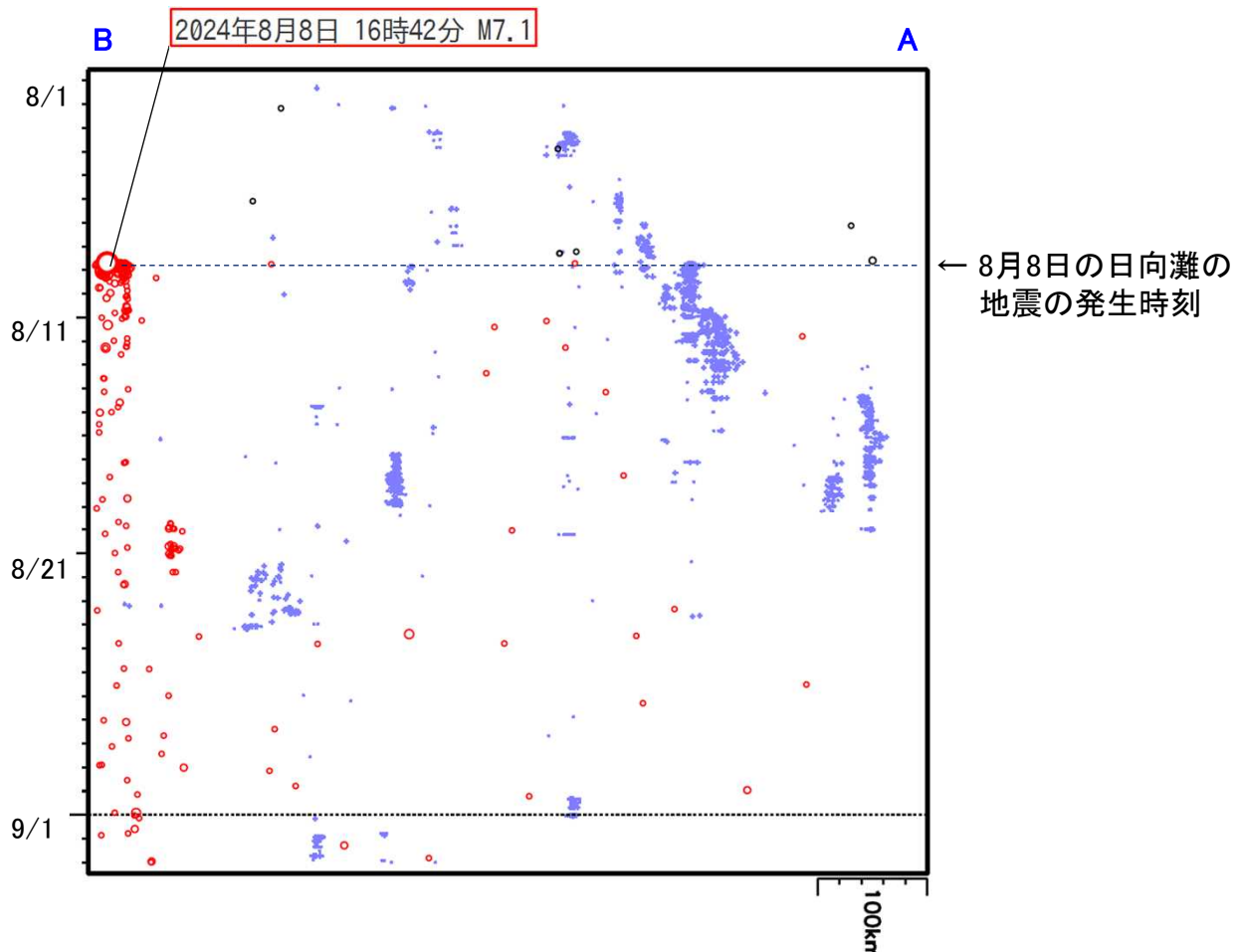
気象庁作成

2024年8月8日 日向灘の地震 想定震源域全体の地震活動

震央分布図
(2024年8月1日～9月2日、深さ0～60km)



想定震源域内の時空間分布図(A-B投影)



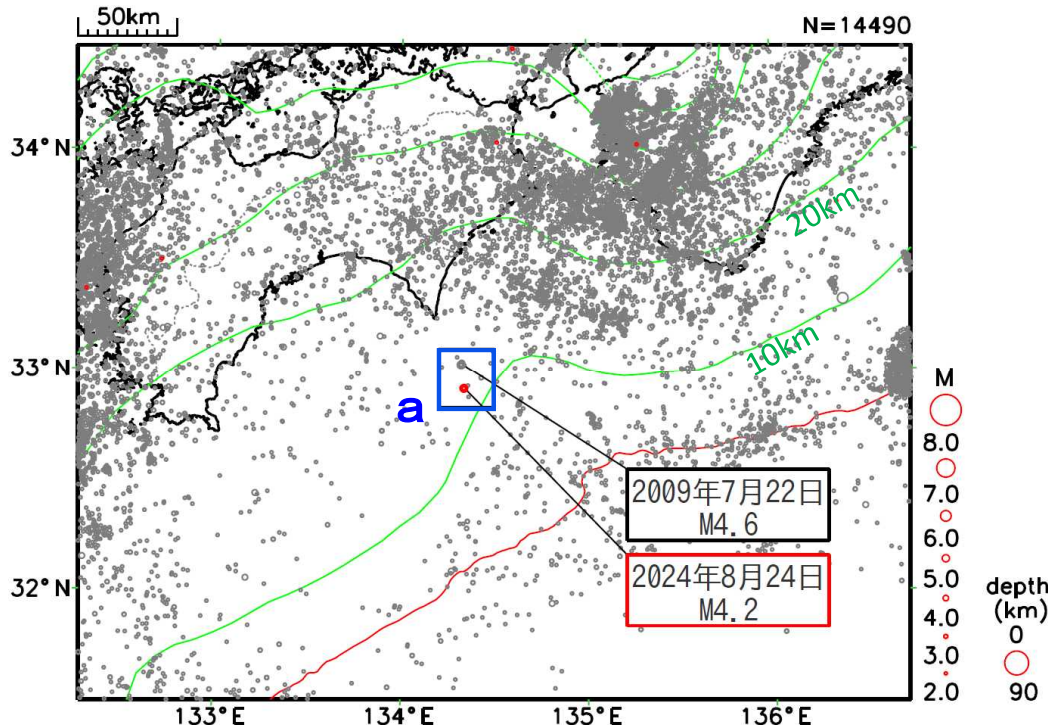
気象庁作成

令和6年8月24日 四国沖の地震

震央分布図

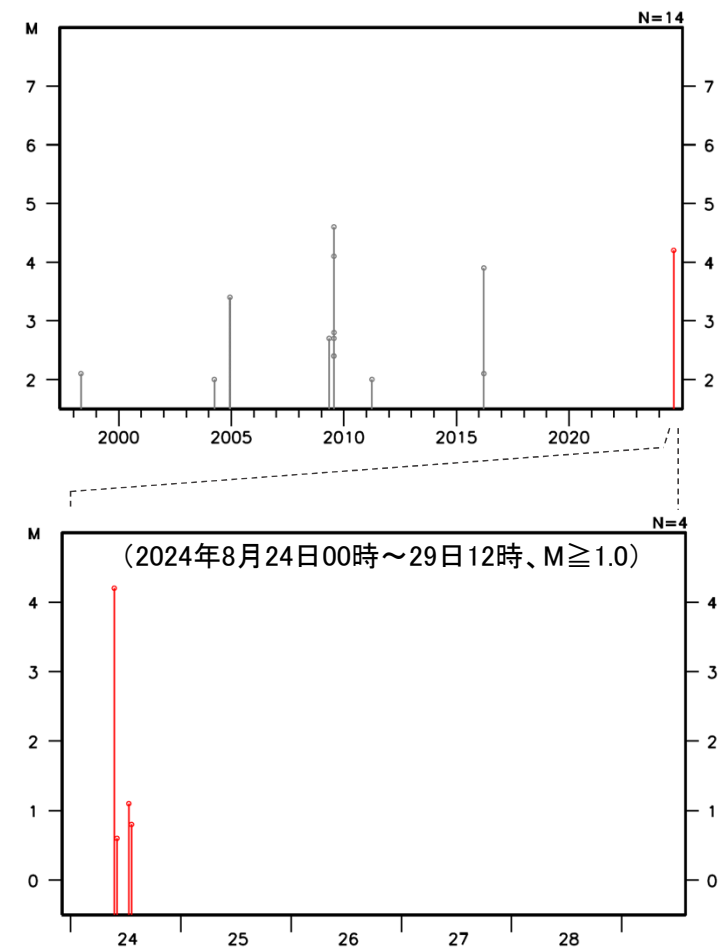
(1997年10月1日～2024年8月29日12時00分、
深さ0～90km、M2.0以上)

2024年8月24日以降の地震を赤色で表示



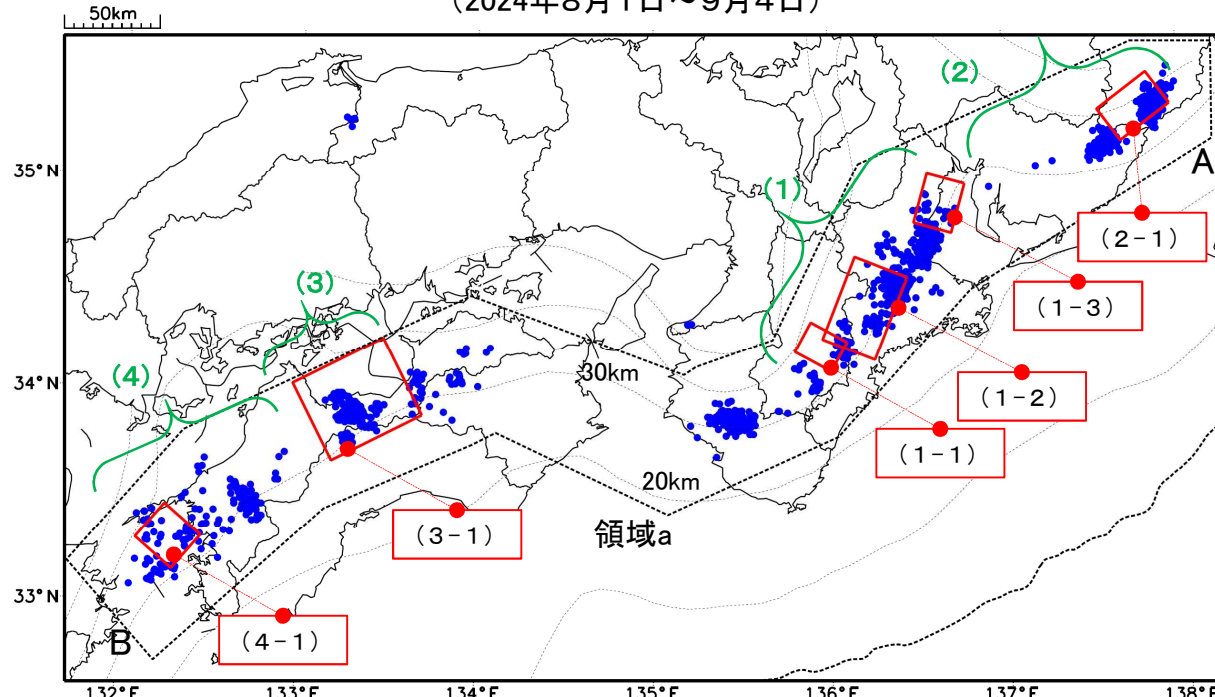
今回の地震の震央付近では、M3～M4クラスの地震が時々発生している。

左図領域 a 内のMT図



深部低周波地震(微動)活動と短期的ゆっくりすべりの全体概要

深部低周波地震(微動)の震央分布図と短期的ゆっくりすべりの断層モデル
(2024年8月1日～9月4日)



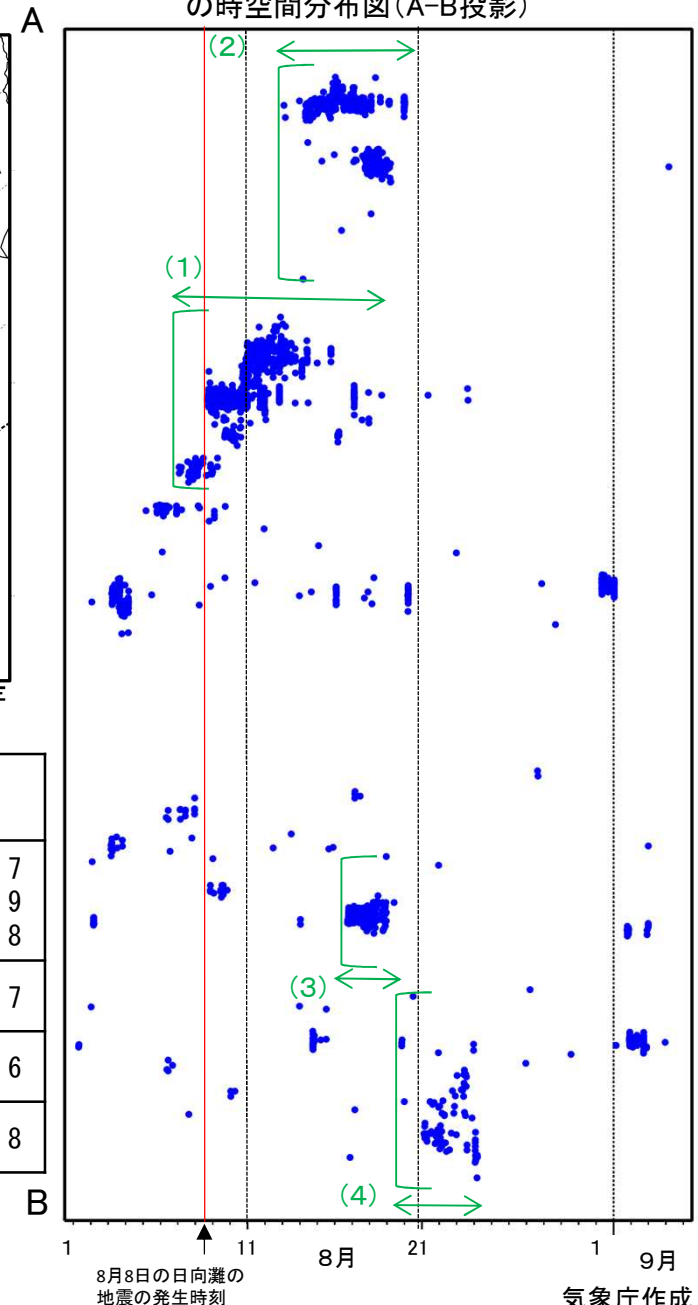
主な深部低周波地震(微動)活動と短期的ゆっくりすべり

活動場所	深部低周波地震(微動) 活動の期間	短期的ゆっくりすべりの期間と規模
(1) 紀伊半島北部	8月7日～8月18日	(1-1) 8月5日12時～8月8日24時 : Mw5.7 (1-2) 8月9日00時～8月10日24時 : Mw5.9 (1-3) 8月11日00時～8月14日24時 : Mw5.8
(2) 東海	8月13日～8月20日	(2-1) 8月13日00時～8月16日12時 : Mw5.7
(3) 四国中部	8月16日～8月19日	(3-1) 8月16日12時～8月19日12時 : Mw5.6
(4) 四国西部	8月19日～8月24日	(4-1) 8月21日00時～8月24日12時 : Mw5.8

- : 深部低周波地震(微動)の震央(気象庁の解析結果を示す)
- : 短期的ゆっくりすべりの断層モデル(気象庁の解析結果を示す)

点線は、Baba et al.(2002)、Hirose et al.(2008)、Nakajima and Hasegawa(2007)によるフィリピン海プレート上面の深さ(10kmごとの等深線)を示す。

領域a(点線矩形)内の深部低周波地震(微動)
の時空間分布図(A-B投影)

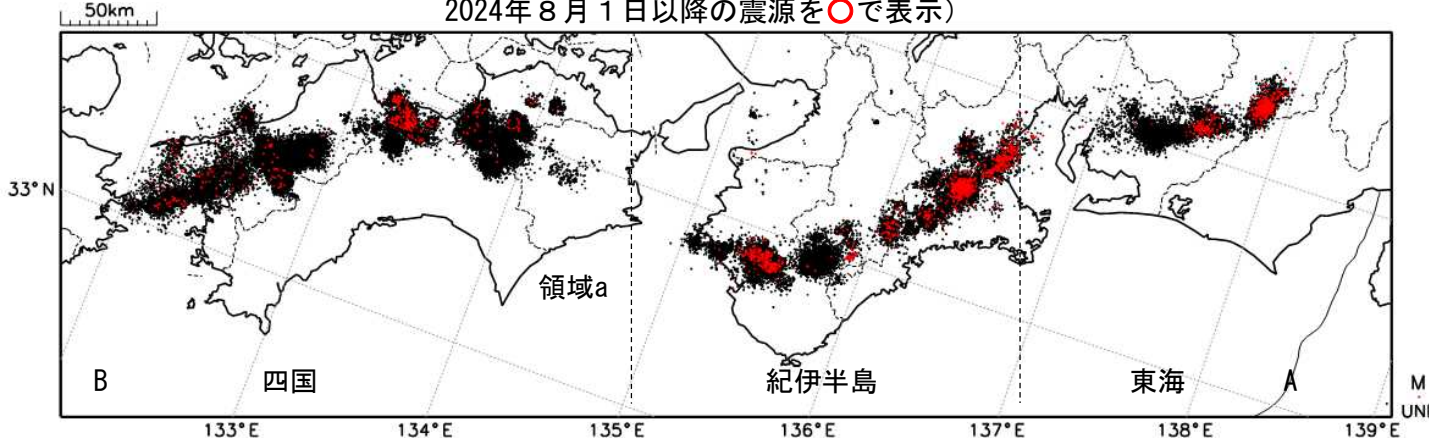


深部低周波地震（微動）活動（2014年9月1日～2024年8月31日）

深部低周波地震（微動）は、「短期的ゆっくりすべり」に密接に関連する現象とみられており、プレート境界の状態の変化を監視するために、その活動を監視している。

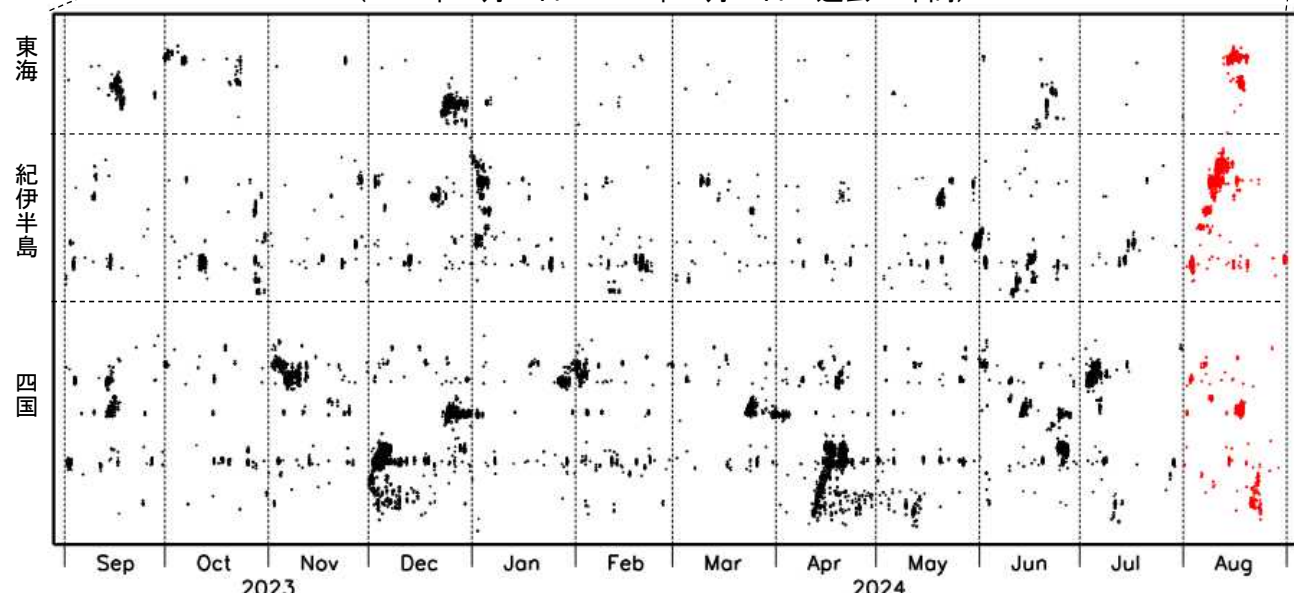
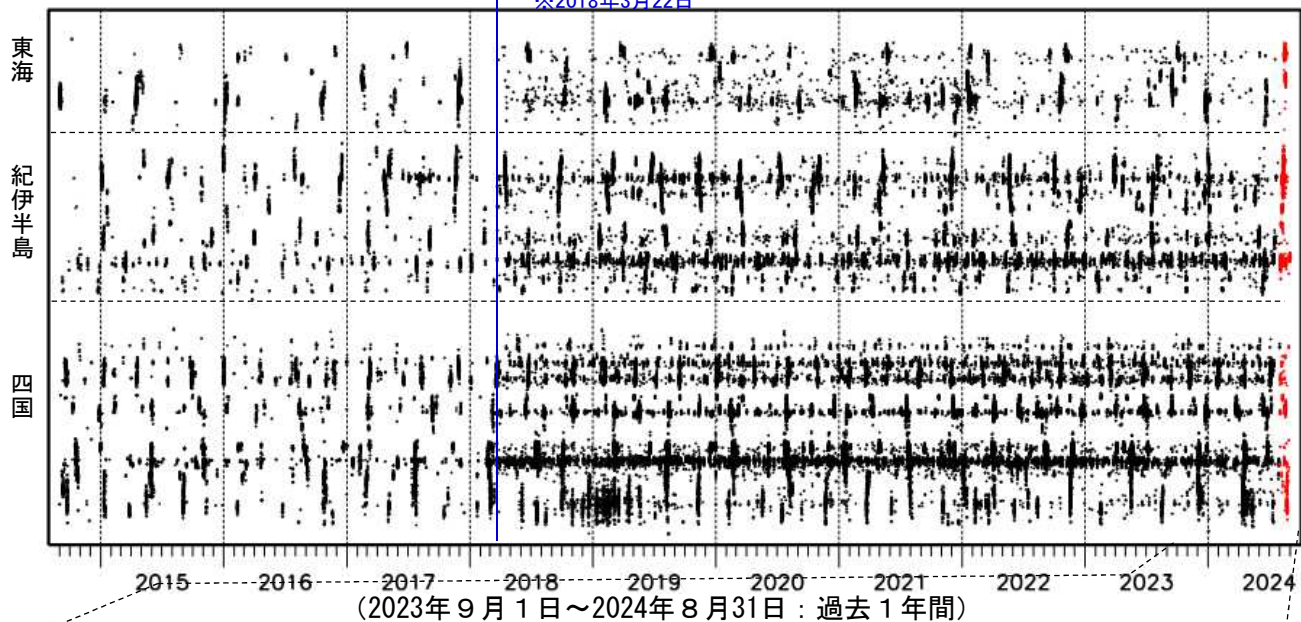
震央分布図（2014年9月1日～2024年8月31日：過去10年間）

2024年8月1日以降の震源を○で表示



上図領域a内の時空間分布図（A-B投影）

※2018年3月22日

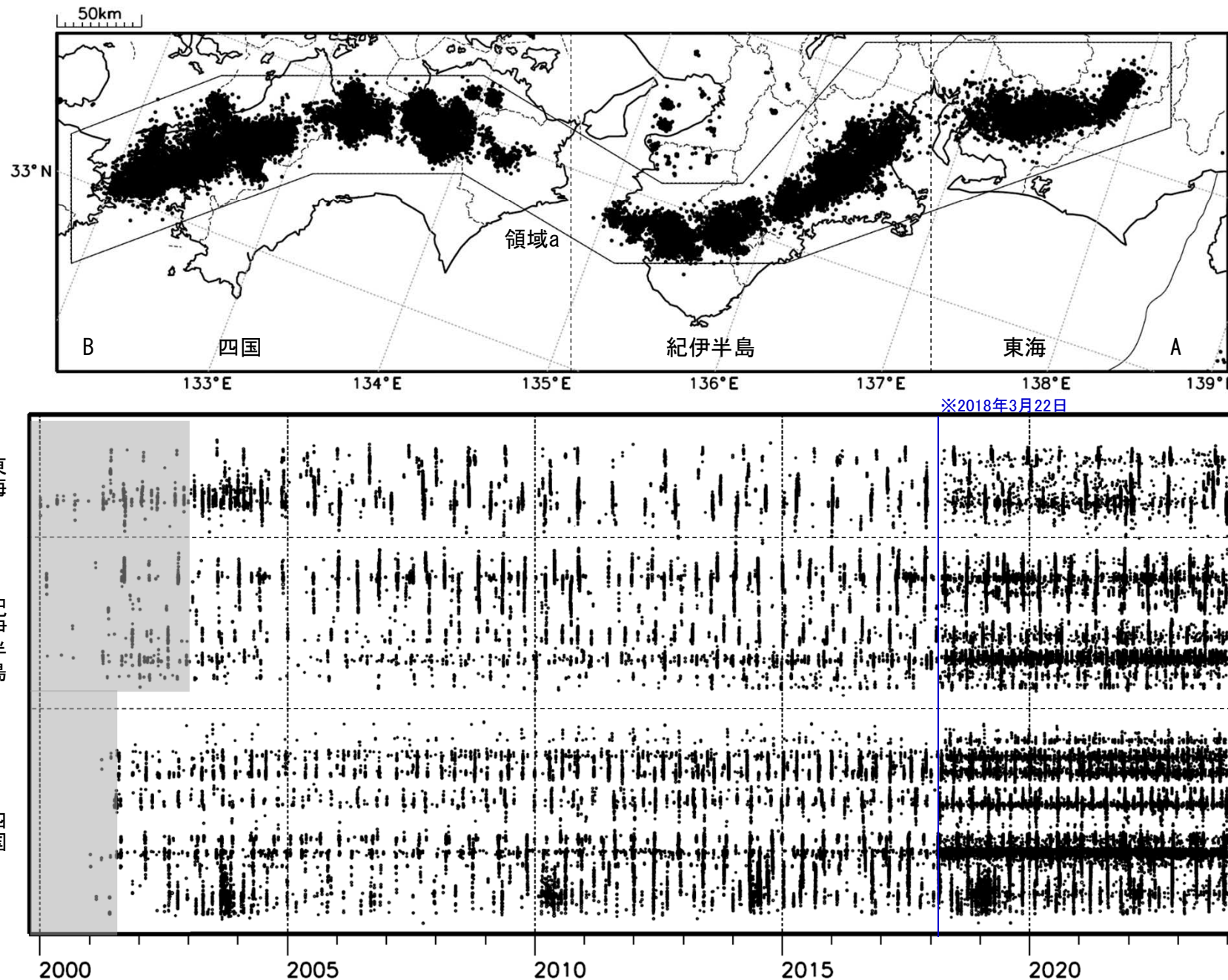


※2018年3月22日から、深部低周波地震(微動)の処理方法の変更(Matched Filter法の導入)により、それ以前と比較して検知能力が変わっている。

気象庁作成

深部低周波地震（微動）活動（2000年1月1日～2023年12月31日）

深部低周波地震（微動）は、「短期的ゆっくりすべり」に密接に関連する現象とみられており、プレート境界の状態の変化を監視するために、その活動を監視している。



※2018年3月22日から、深部低周波地震（微動）の処理方法の変更(Matched Filter法の導入)により、それ以前と比較して検知能力が変わっている。

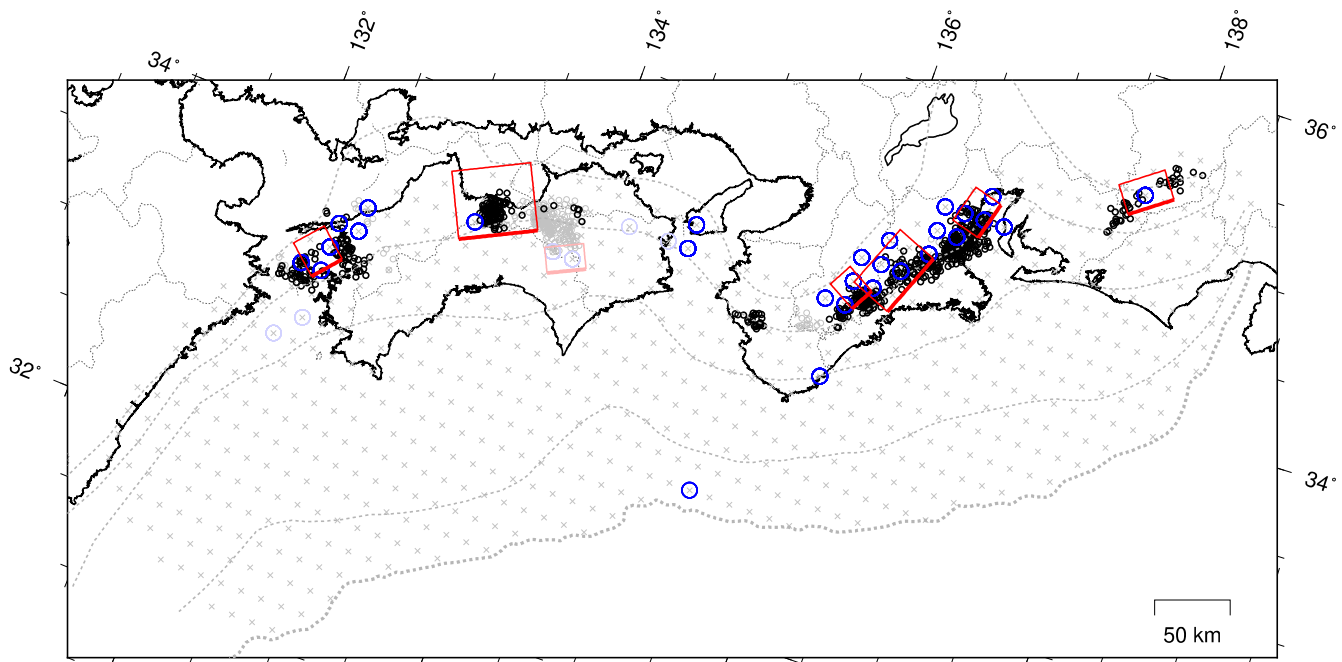
※時空間分布図中、灰色の期間は、それ以降と比較して十分な検知能力がなかったことを示す。

気象庁作成

スタッキングによるプレート境界のすべりの監視

2024年7月1日～2024年8月31日

(2024年8月1日以降を濃く表示)



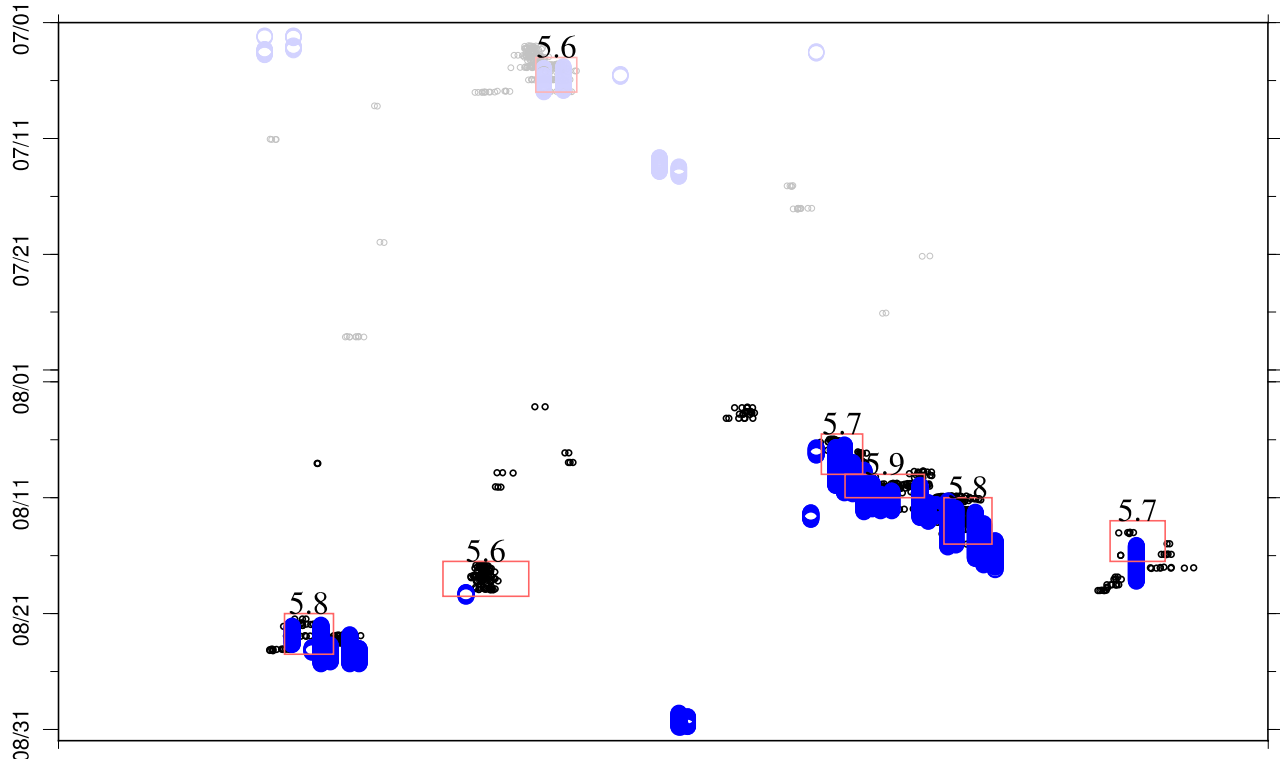
※破線はフィリピン海プレート上面の等深線を、×は監視点を示す。

※青丸は有意な変化が自動検出された監視点を、黒丸はエンベロープ相関法(注)で得られた低周波微動の震央を示す。

※自動検出された有意な変化には、プレート境界のすべりではなく、降水等の影響によるものが含まれます。

※赤矩形は気象庁による精査後の短期的ゆっくりすべりの断層モデル(参考解を含む)を示す。

上図の時空間分布図



※青丸は有意な変化が自動検出された監視点を、黒丸はエンベロープ相関法(注)で得られた低周波微動の震央を示す。

※自動検出された有意な変化には、プレート境界のすべりではなく、降水等の影響によるものが含まれます。

※赤矩形は気象庁による精査後の短期的ゆっくりすべりの断層モデル(参考解を含む)を示し、上に表示されている数字は解析された M_w を示す。

注) 防災科学技術研究所、東京大学地震研究所との共同研究による成果

スタッキングデータは、上図の各監視点について、宮岡・横田(2012)の手法により、気象庁、国立研究開発法人産業技術総合研究所及び静岡県のひずみ計及び傾斜計のデータを基に作成している。

<参考> 48時間階差のスタッキングデータのS/N比と、元データの観測値と理論値の一致度から有意な変化を検出している。

・富岡一樹・横田嵩(2012)：地殻変動検出のためのスタッキング手法の開発, 地震, 2, 65-205-218。

・露木貴裕・他(2017)：新しい地震活動等総合監視システム(EPOS)における地殻変動監視手法の改善, 駆震時報, 81, 5。

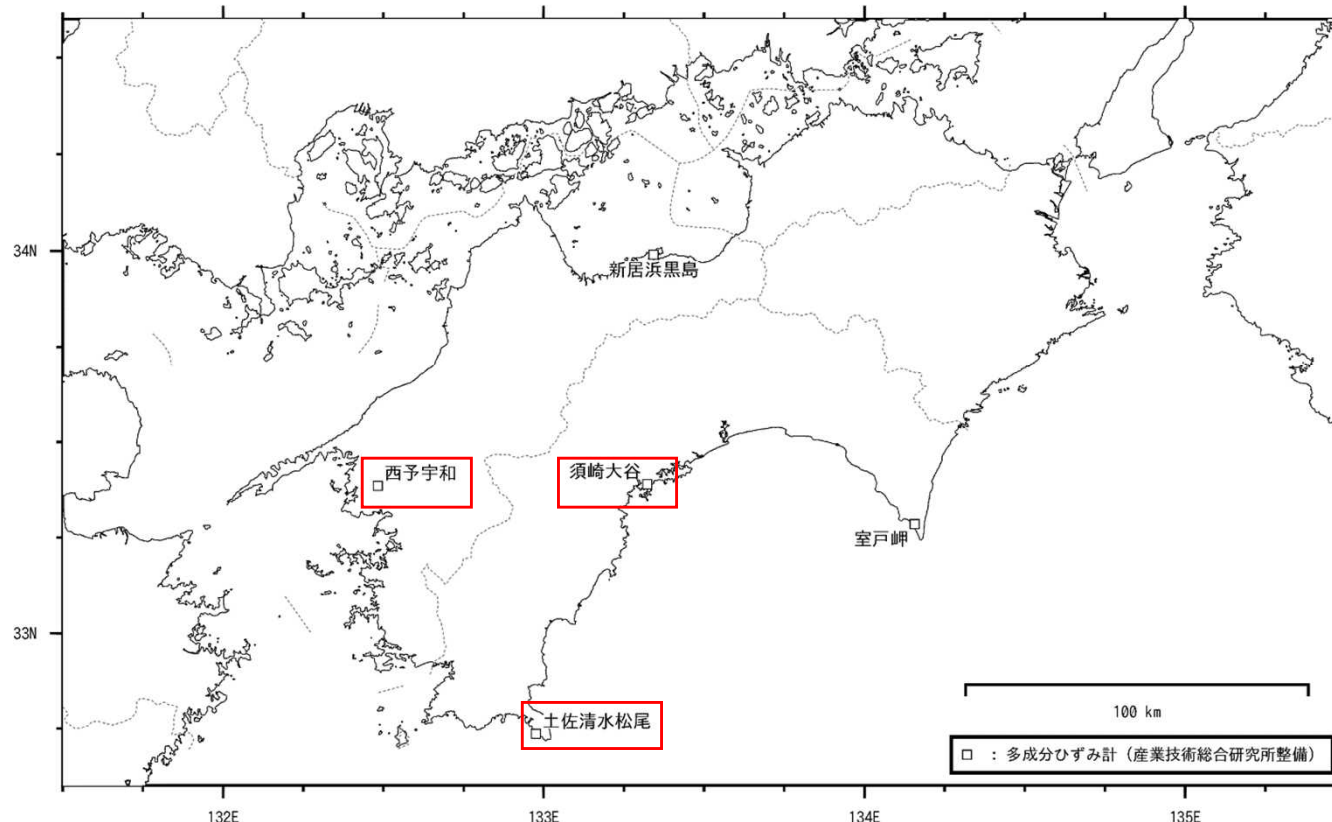
気象庁作成

日向灘近傍のひずみ観測状況

9月3日00時00分現在

8月8日16時42分の日向灘を震源とする地震(M7.1)に伴うステップ状の変化が観測されていますが、プレート境界の固着状況に特段の変化を示すような地殻変動は観測されていません。

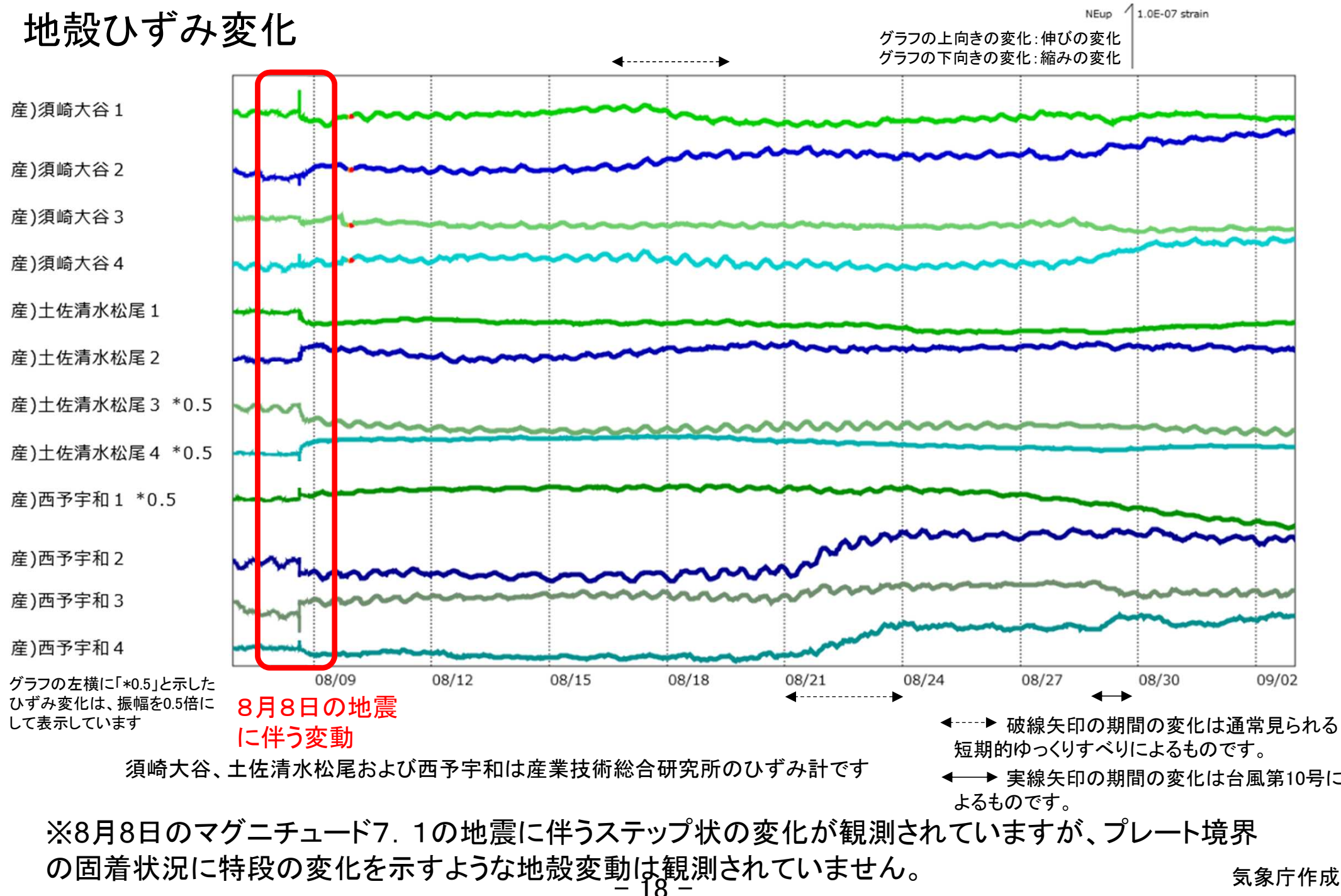
ひずみ観測点分布図



: 次頁にひずみ変化を掲載した観測点

日向灘近傍のひずみ観測状況

地殻ひずみ変化



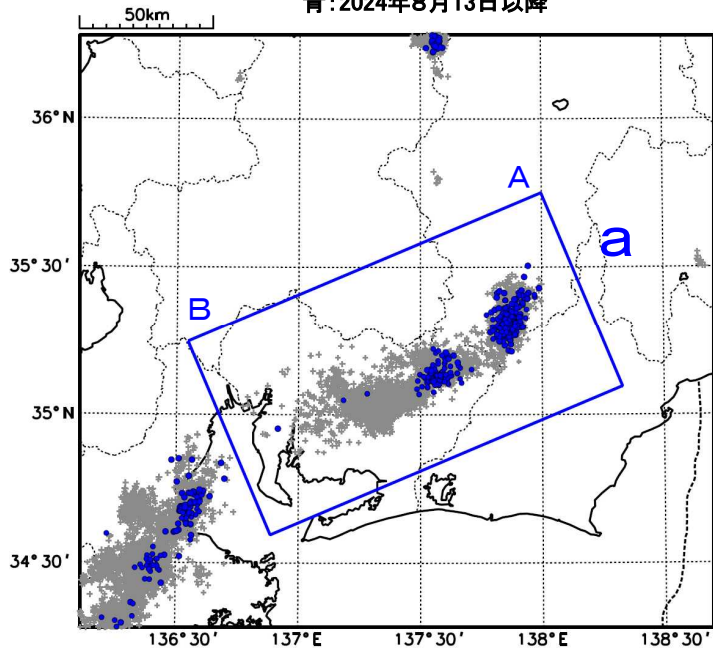
東海の深部低周波地震(微動)活動と短期的ゆっくりすべり

8月13日から20日にかけて、東海で深部低周波地震（微動）を観測した。
深部低周波地震（微動）活動とほぼ同期して、周辺に設置されている複数のひずみ計で地殻変動を観測した。これらは、短期的ゆっくりすべりに起因すると推定される。

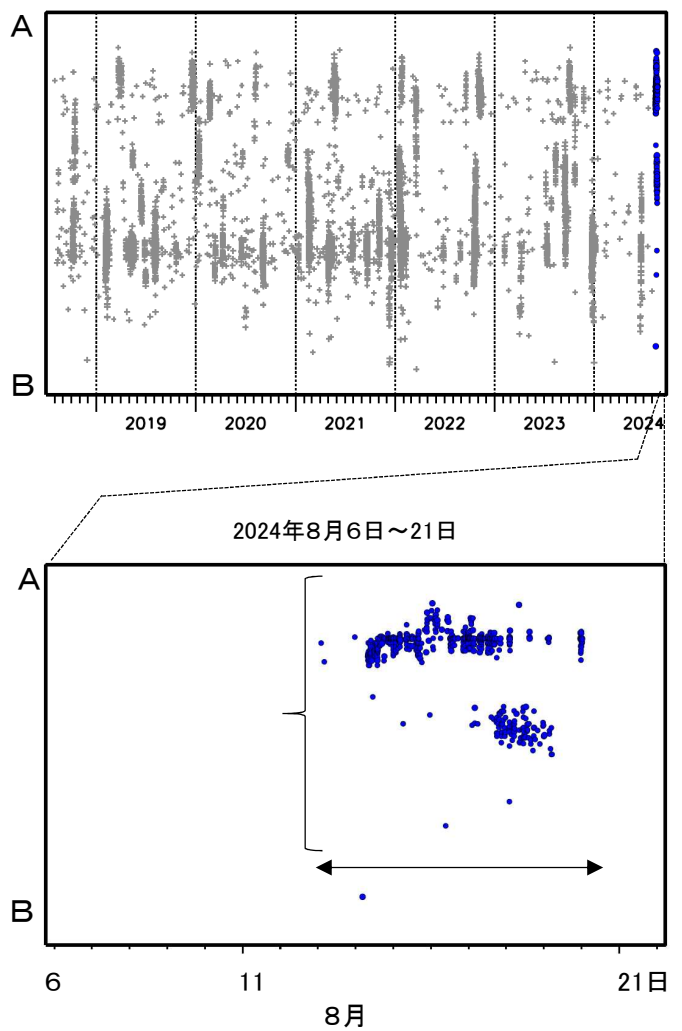
深部低周波地震(微動)活動

震央分布図(2018年8月1日～2024年8月21日、
深さ0～60km、Mすべて)

灰:2018年8月1日～2024年8月12日、
青:2024年8月13日以降



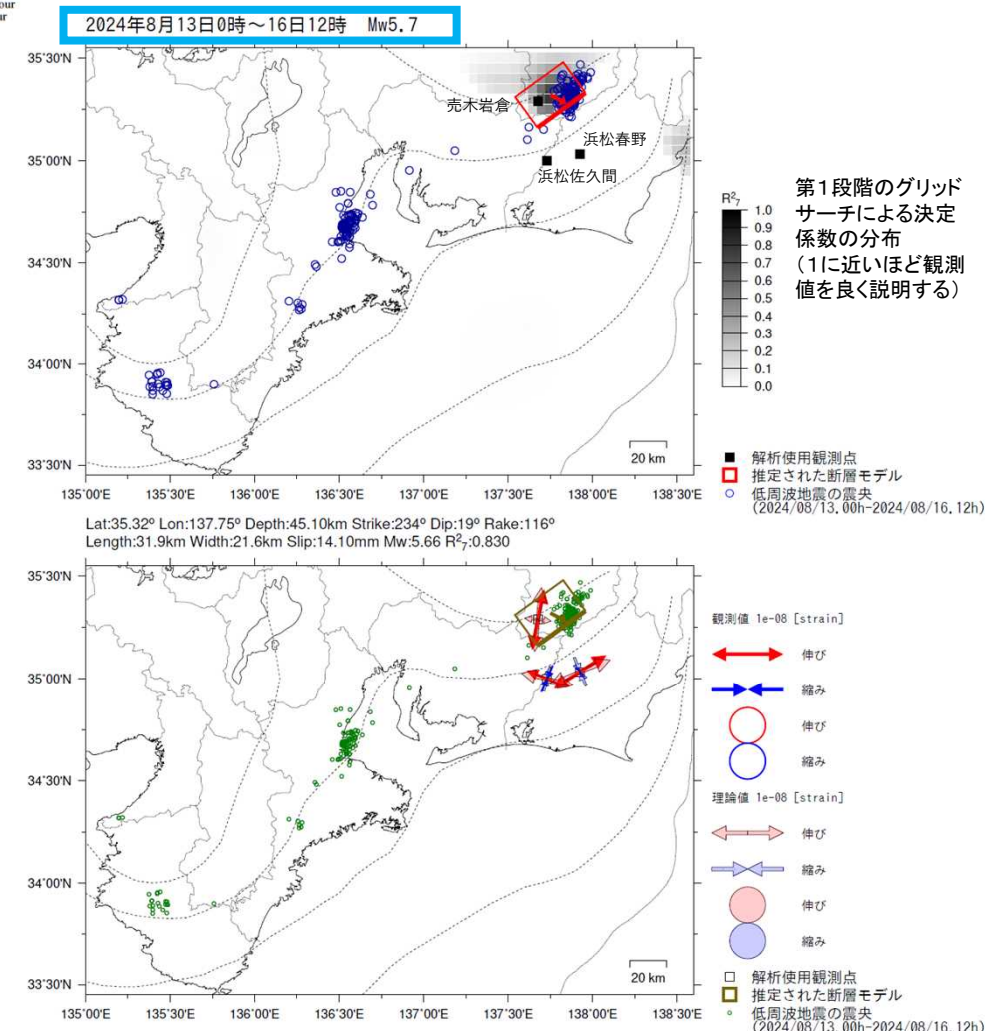
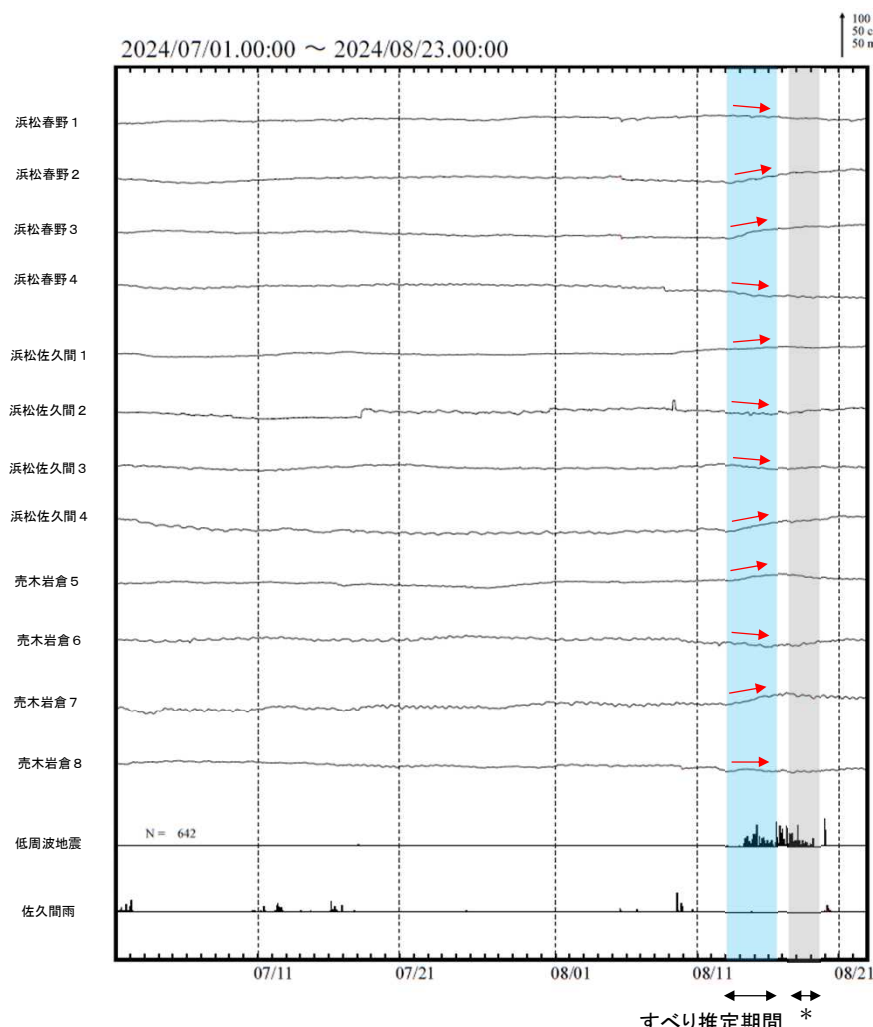
震央分布図の領域a内の時空間分布図(A-B投影)



気象庁作成

東海で観測した短期的ゆっくりすべり(8月13日～16日)

長野県から静岡県で観測されたひずみ変化



* の期間にひずみの変化はみられるものの、断層モデルを精度よく求めることができない。

左図に示す観測点での変化量を元にすべり推定を行ったところ、図の場所にすべり域が求まった。

断層モデルの推定は、産総研の解析方法(板場ほか, 2012)を参考に以下の2段階で行う。
 ・断層サイズを20km × 20kmに固定し、位置を0.05度単位でグリッドサーチにより推定する。
 ・その位置を中心にして、他の断層パラメータの最適解を求める。

気象庁作成

紀伊半島北部の深部低周波地震(微動)活動と 短期的ゆっくりすべり

8月7日から紀伊半島北部で深部低周波地震(微動)が始まり、8日の日向灘の地震後、それまでの北東側で活動が活発化した。これらの活動はさらに北東に移動しながら、18日まで継続した。

深部低周波地震(微動)活動とほぼ同期して、周辺に設置されている複数のひずみ計・傾斜計で地殻変動を観測した。これらは、短期的ゆっくりすべりに起因すると推定される。

深部低周波地震(微動)活動

震央分布図(2018年8月1日～2024年8月21日、

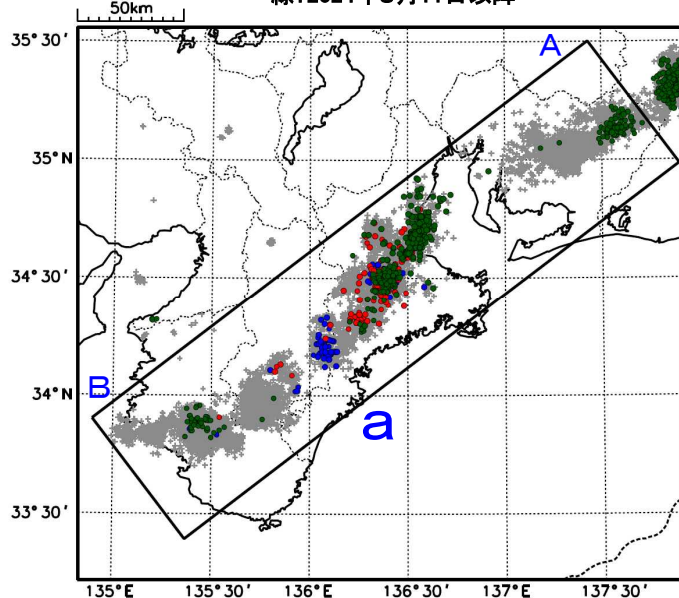
深さ0～60km、Mすべて)

灰:2018年8月1日～2024年8月6日、

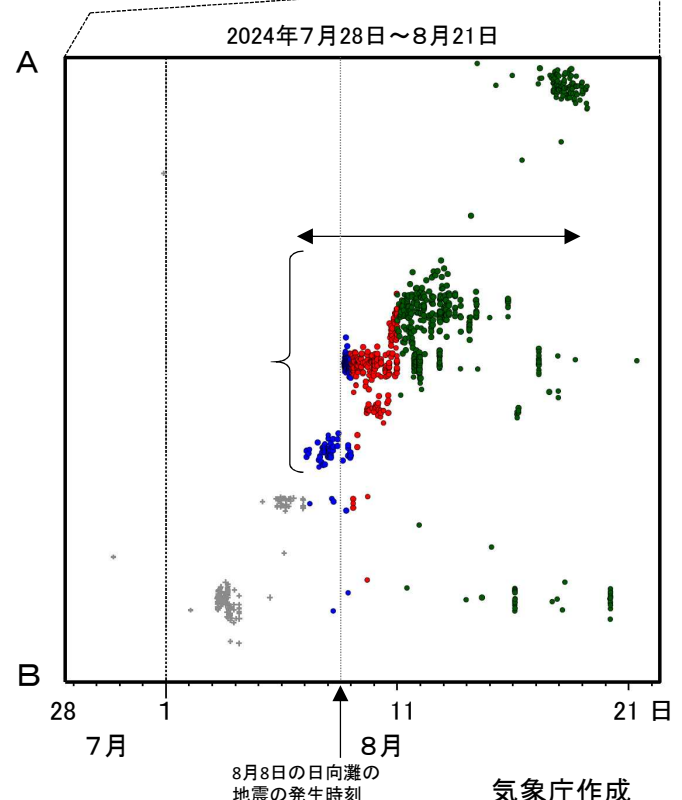
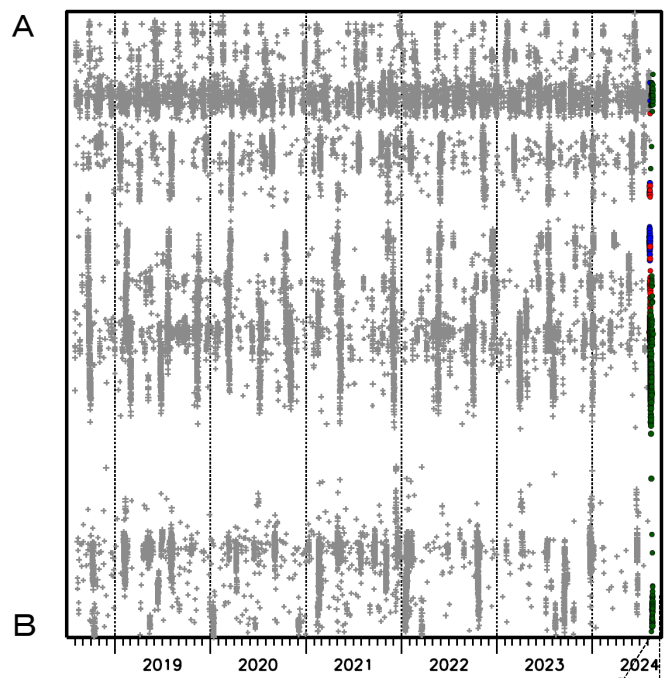
青:2024年8月7日～8日、

赤:2024年8月9日～10日、

緑:2024年8月11日以降



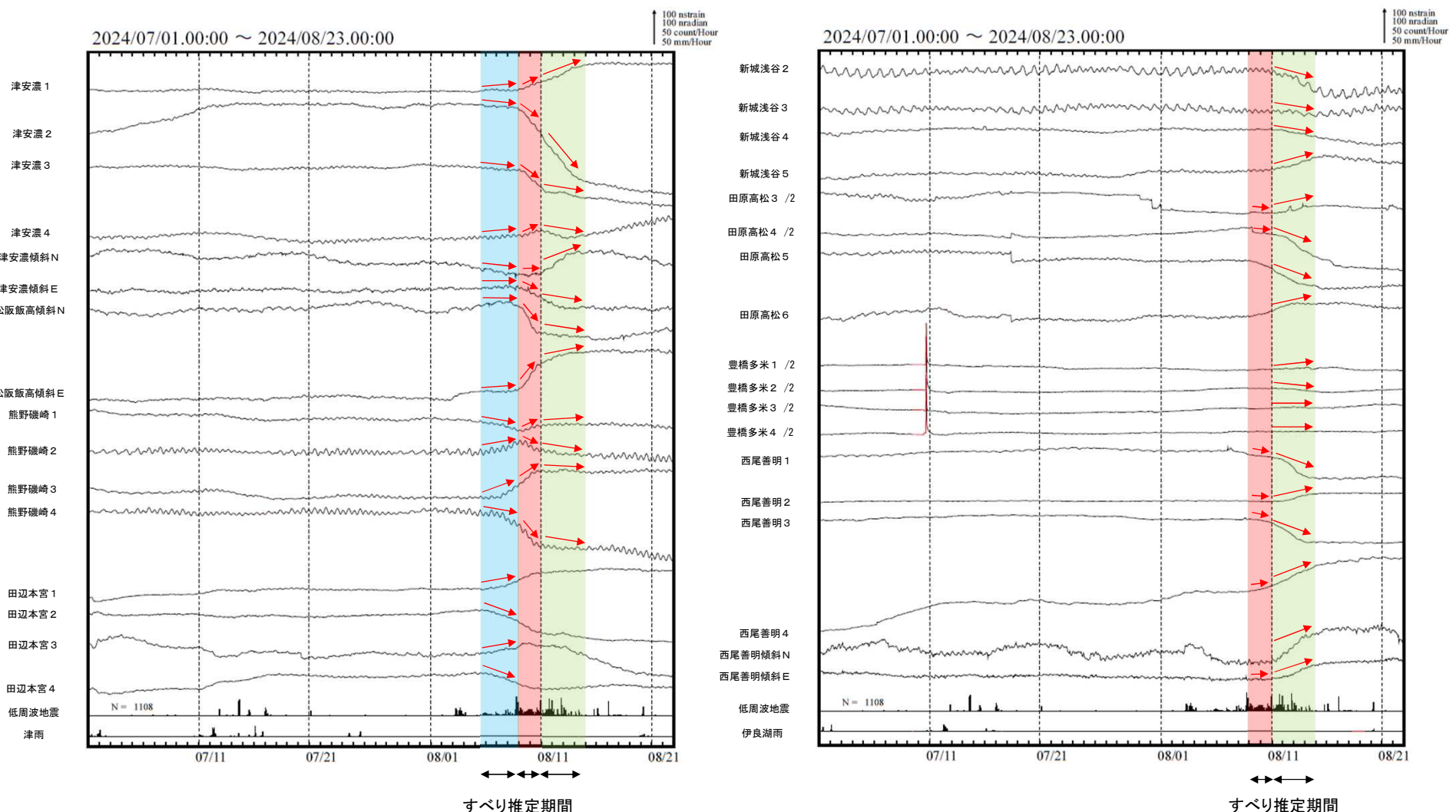
領域a内の時空間分布図(A-B投影)



気象庁作成

紀伊半島北部で観測した短期的ゆっくりすべり(8月5日～14日)

愛知県から和歌山県で観測されたひずみ・傾斜変化

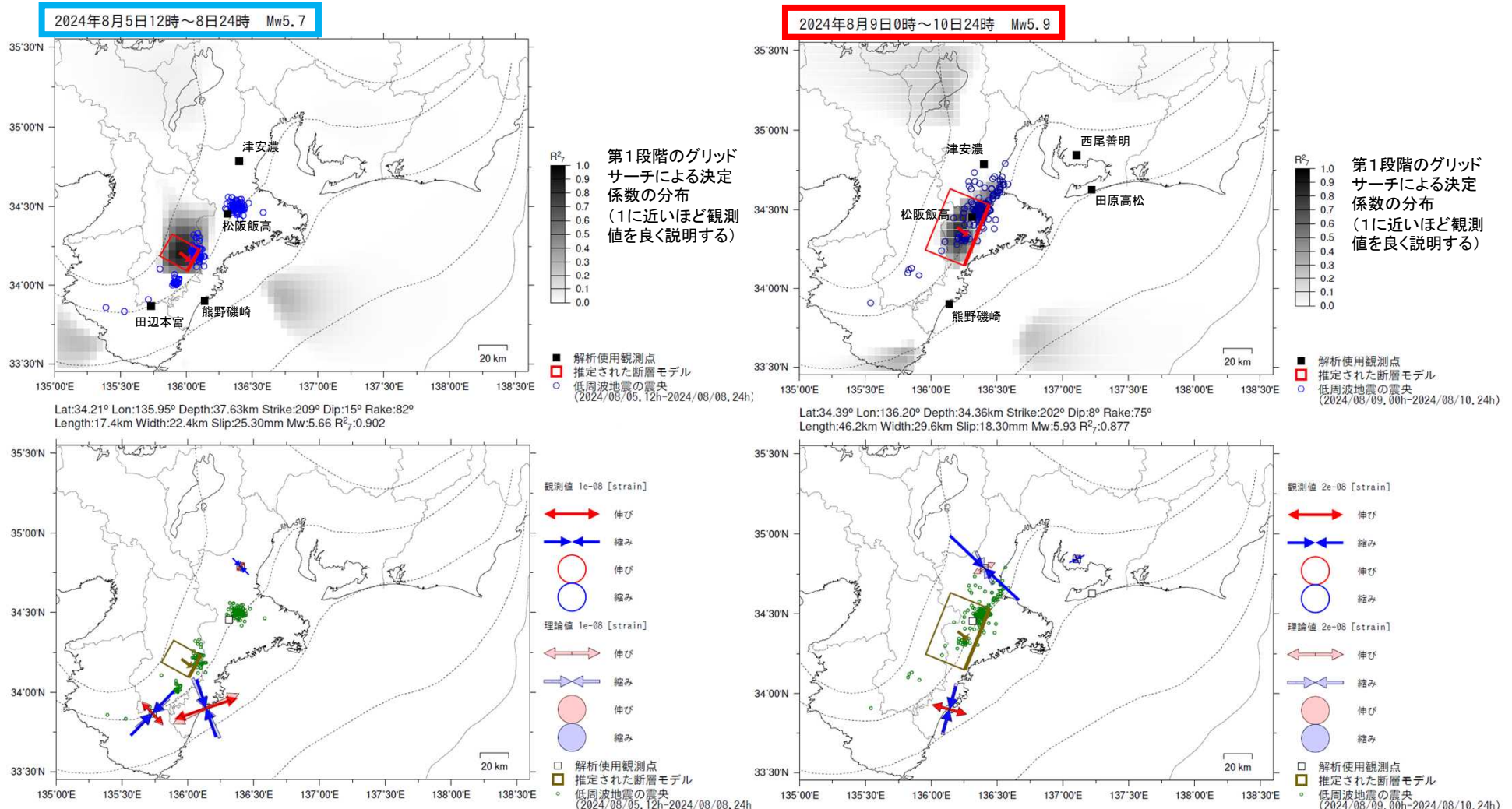


津安濃、松阪飯高、熊野磯崎、及び田辺本宮は産業技術総合研究所のひずみ・傾斜計である。

豊橋多米及び西尾善明は産業技術総合研究所のひずみ・傾斜計である。

気象庁作成

紀伊半島北部で観測した短期的ゆっくりすべり(8月5日～14日)

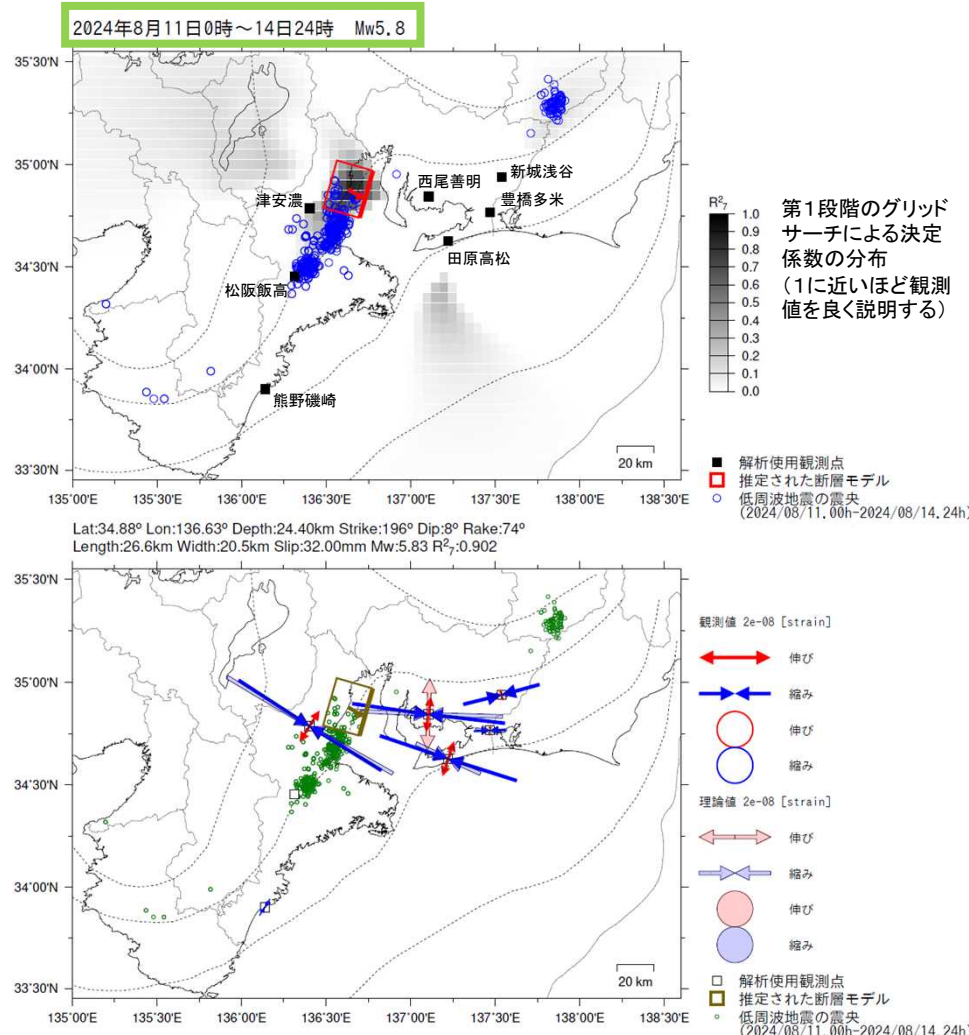


前図に示す観測点での変化量を元にすべり推定を行ったところ、図の場所にすべり域が求まった。

断層モデルの推定は、産総研の解析方法(板場ほか, 2012)を参考に以下の2段階で行う。
 ・断層サイズを20km×20kmに固定し、位置を0.05度単位でグリッドサーチにより推定する。
 ・その位置を中心にして、他の断層パラメータの最適解を求める。

気象庁作成

紀伊半島北部で観測した短期的ゆっくりすべり(8月5日～14日)



前図に示す観測点での変化量を元にすべり推定を行ったところ、図の場所にすべり域が求まった。

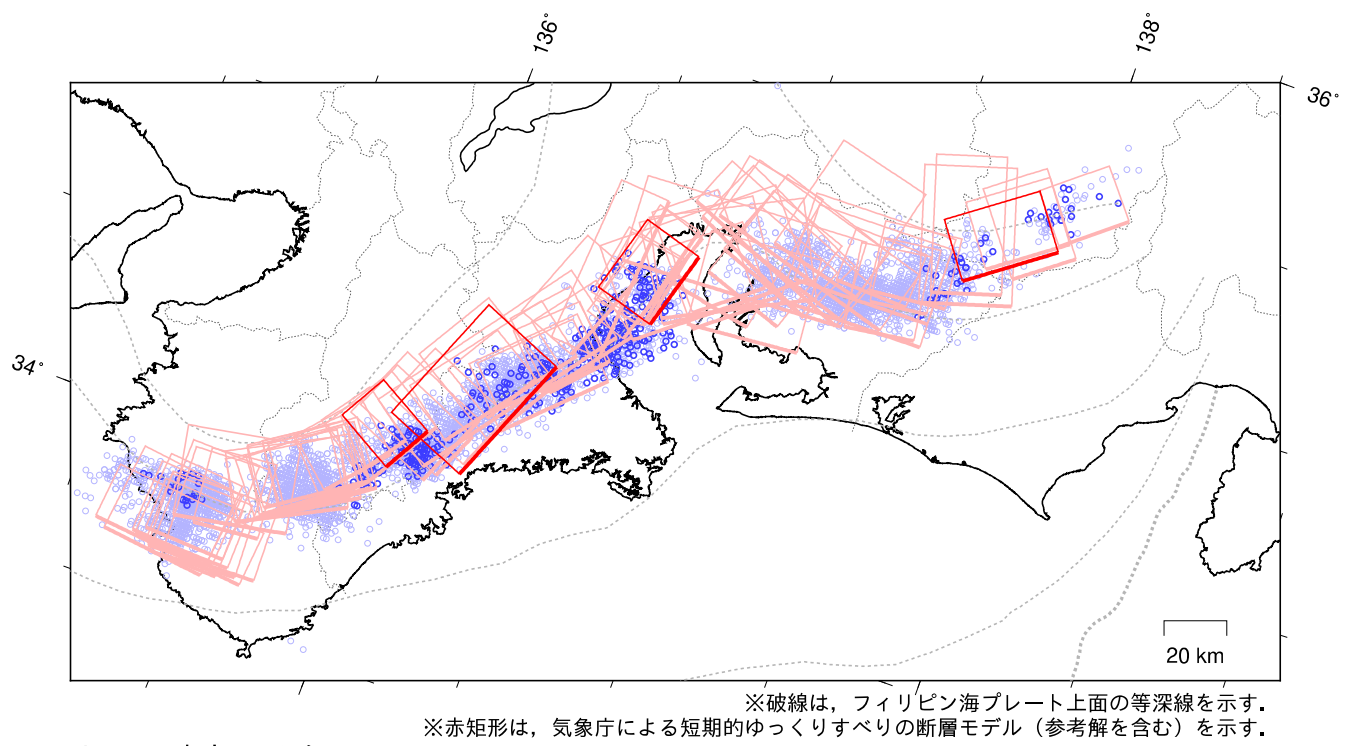
断層モデルの推定は、産総研の解析方法(板場ほか, 2012)を参考に以下の2段階で行う。
・断層サイズを20km×20kmに固定し、位置を0.05度単位でグリッドサーチにより推定する。
・その位置を中心にして、他の断層パラメータの最適解を求める。

気象庁作成

東海～紀伊半島 短期的ゆっくりすべりの活動状況

2021年1月1日～2024年8月31日

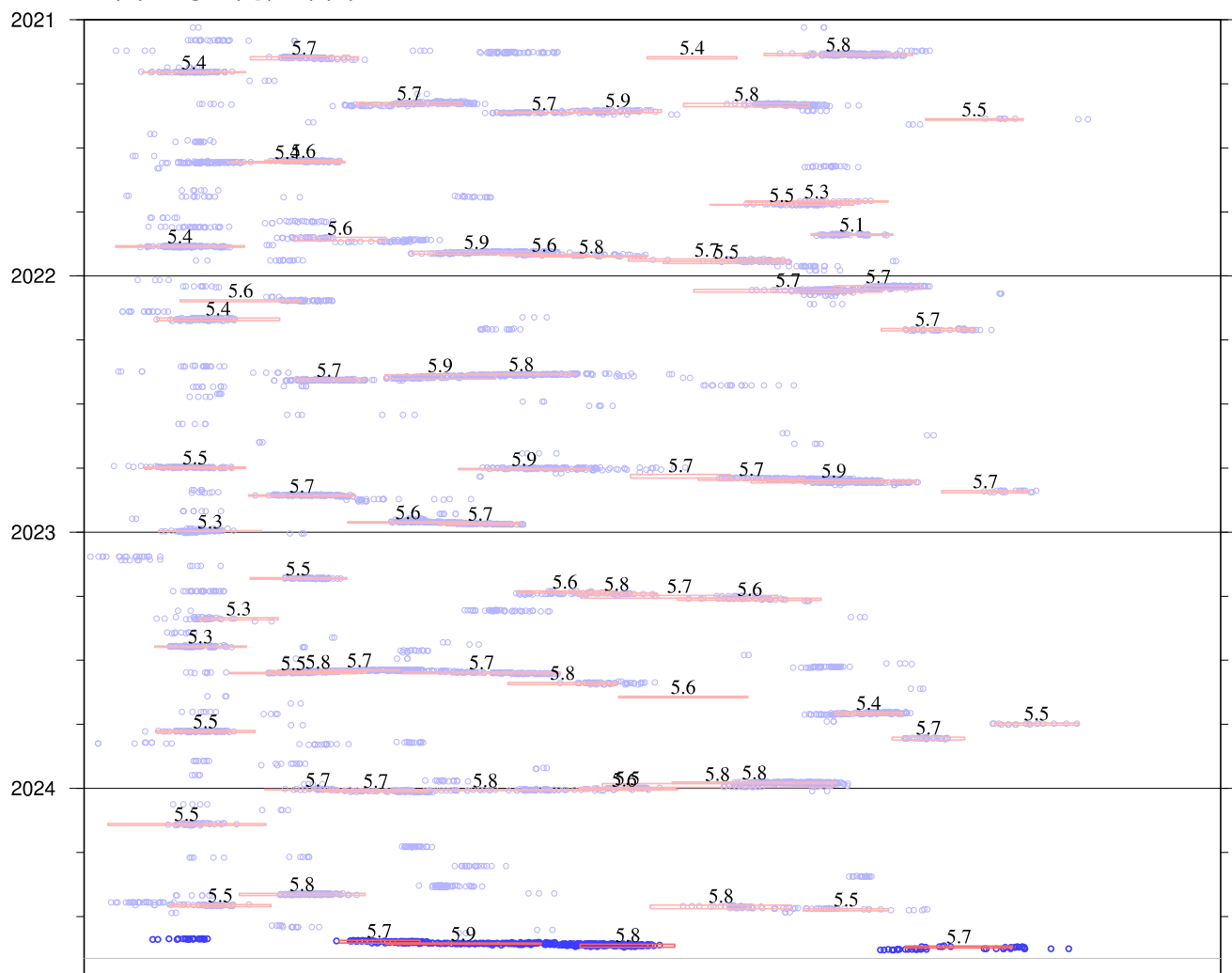
(2024年8月1日以降を濃く表示)



※破線は、フィリピン海プレート上面の等深線を示す。

※赤矩形は、気象庁による短期的ゆっくりすべりの断層モデル（参考解を含む）を示す。

上図の時空間分布図



※短期的ゆっくりすべりの解析には、気象庁、産業技術総合研究所及び静岡県のデータを用いている。
※赤矩形の上に表示されている数字は解析されたMwを示す。

※青丸はエンベロープ相関法（防災科学技術研究所、東京大学地震研究所との共同研究による成果）で得られた低周波微動の震央を示す。

※時空間分布図中の灰色線は最新データ日を示す。

気象庁作成

四国中部の深部低周波地震(微動)活動と短期的ゆっくりすべり

8月16日から19日にかけて、四国中部で深部低周波地震（微動）を観測した。

深部低周波地震（微動）活動とほぼ同期して、周辺に設置されている複数のひずみ・傾斜計で地殻変動を観測している。これらは、短期的ゆっくりすべりに起因すると推定される。

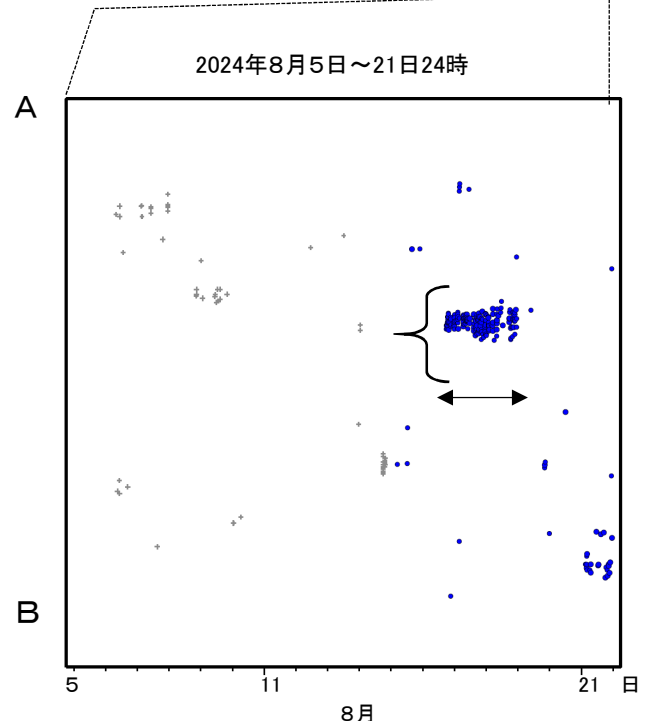
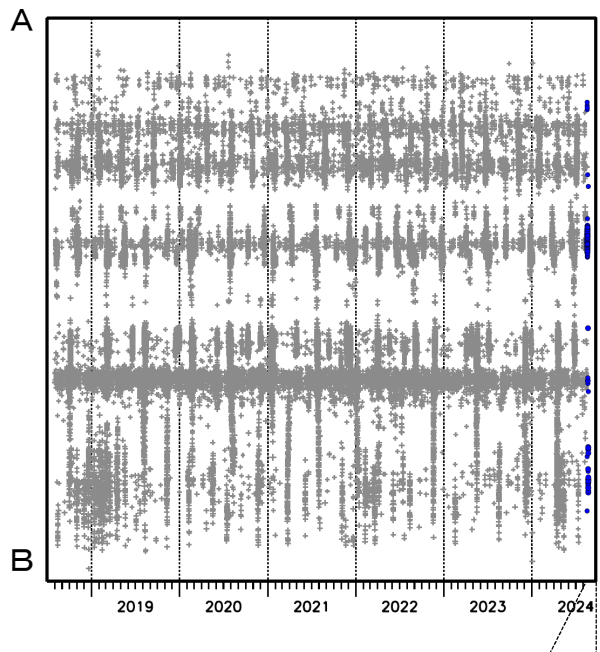
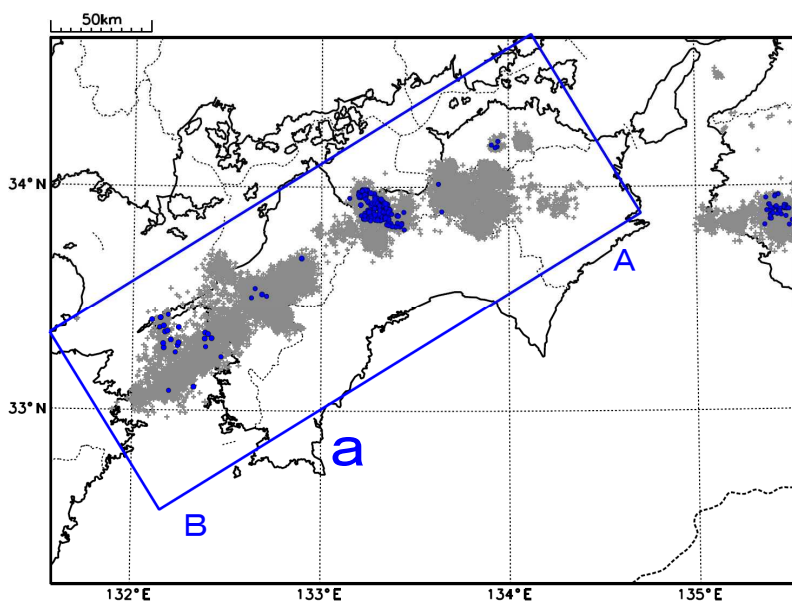
深部低周波地震(微動)活動

震央分布図(2018年8月1日～2024年8月21日24時、

深さ0～60km、Mすべて)

灰:2018年8月1日～2024年8月15日、
青:2024年8月16日以降

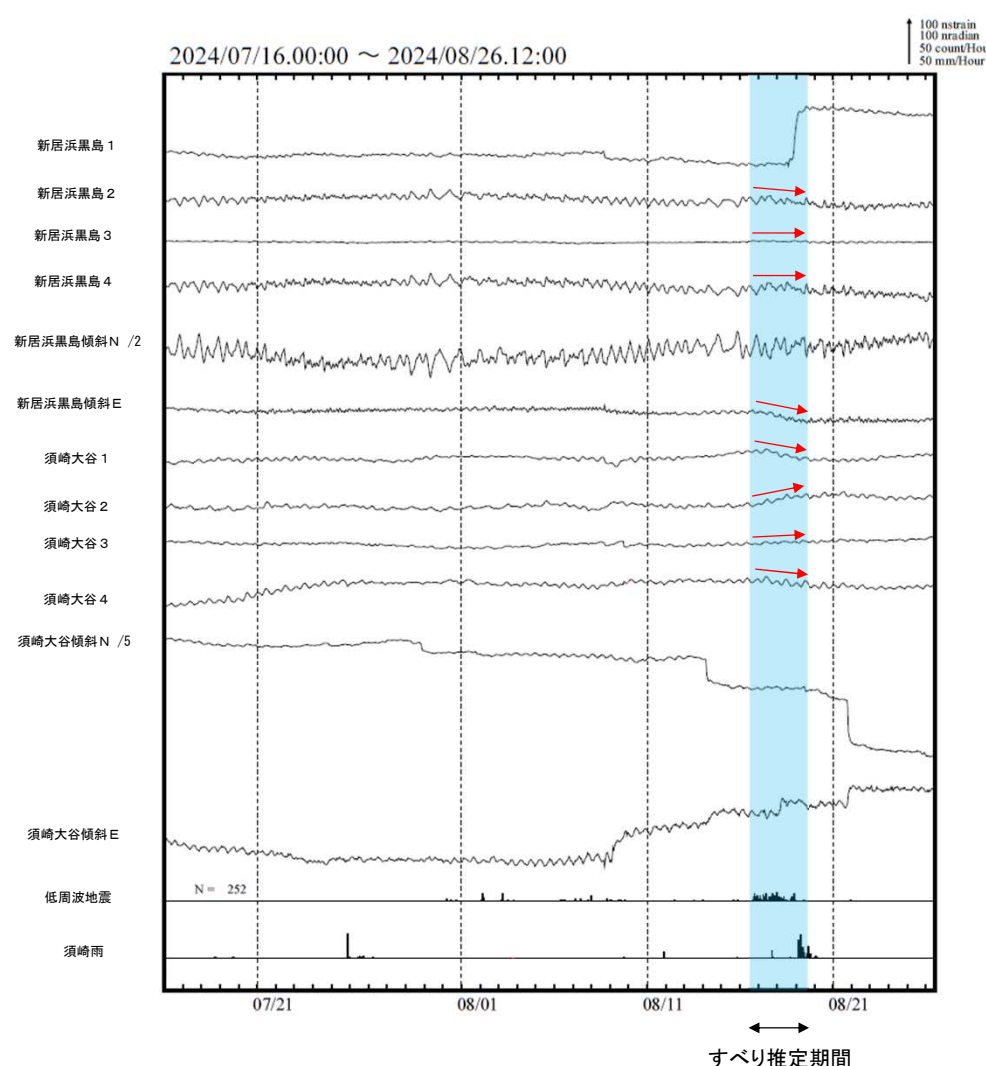
震央分布図の領域a内の時空間分布図(A-B投影)



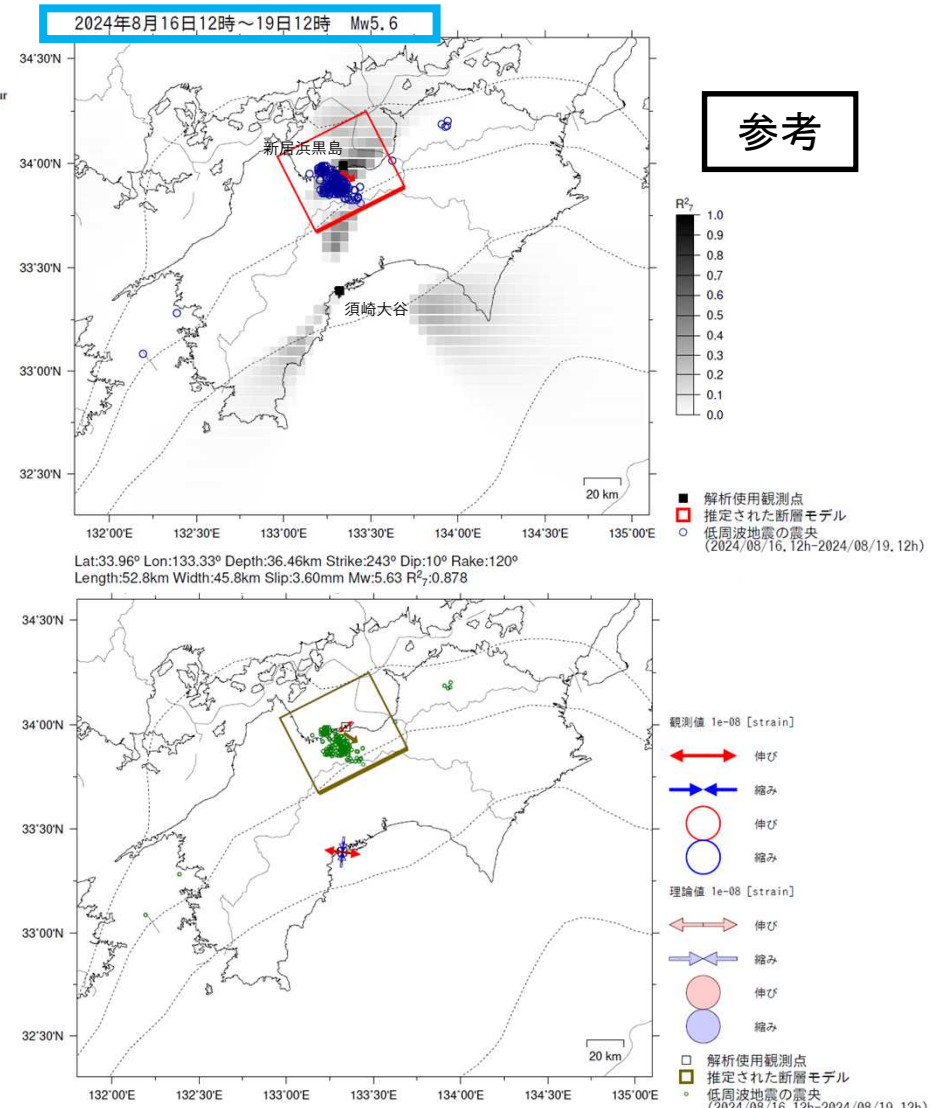
気象庁作成

四国中部で観測した短期的ゆっくりすべり(8月16日～19日)

愛媛県から高知県で観測されたひずみ・傾斜変化



新居浜黒島及び須崎大谷は産業技術総合研究所のひずみ・傾斜計である。



前図に示す観測点での変化量を元にすべり推定を行ったところ、図の場所にすべり域が求まった。

断層モデルの推定は、産総研の解析方法(板場ほか, 2012)を参考に以下の2段階で行う。
・断層サイズを20km × 20kmに固定し、位置を0.05度単位でグリッドサーチにより推定する。
・その位置を中心にして、他の断層パラメータの最適解を求める。

気象庁作成

四国西部の深部低周波地震(微動)活動と短期的ゆっくりすべり

8月19日から24日にかけて、四国西部で深部低周波地震（微動）を観測した。

深部低周波地震（微動）活動とほぼ同期して、周辺に設置されている複数のひずみ計で地殻変動を観測している。これらは、短期的ゆっくりすべりに起因すると推定される。

深部低周波地震(微動)活動

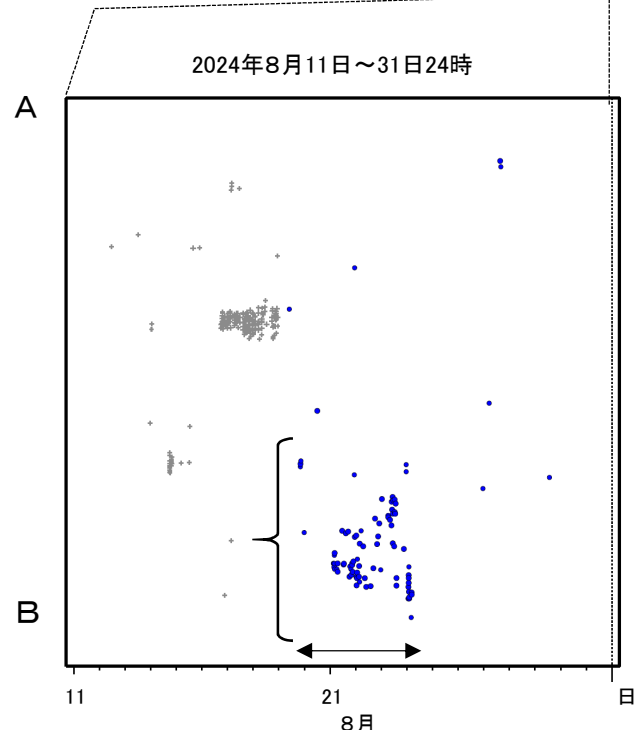
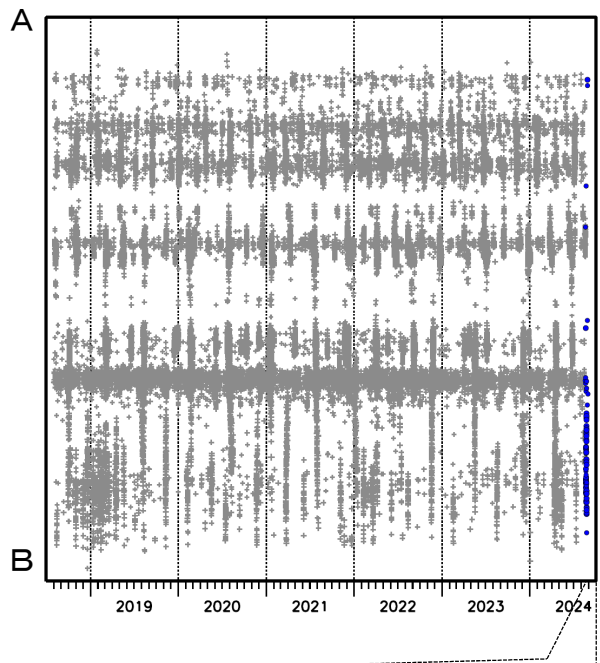
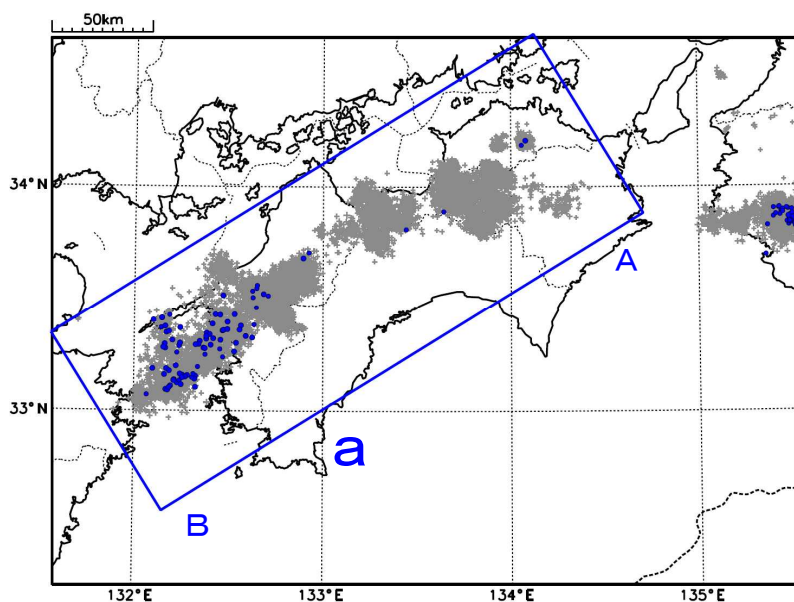
震央分布図(2018年8月1日～2024年8月31日24時、

深さ0～60km、Mすべて)

灰:2018年8月1日～2024年8月18日、

青:2024年8月19日以降

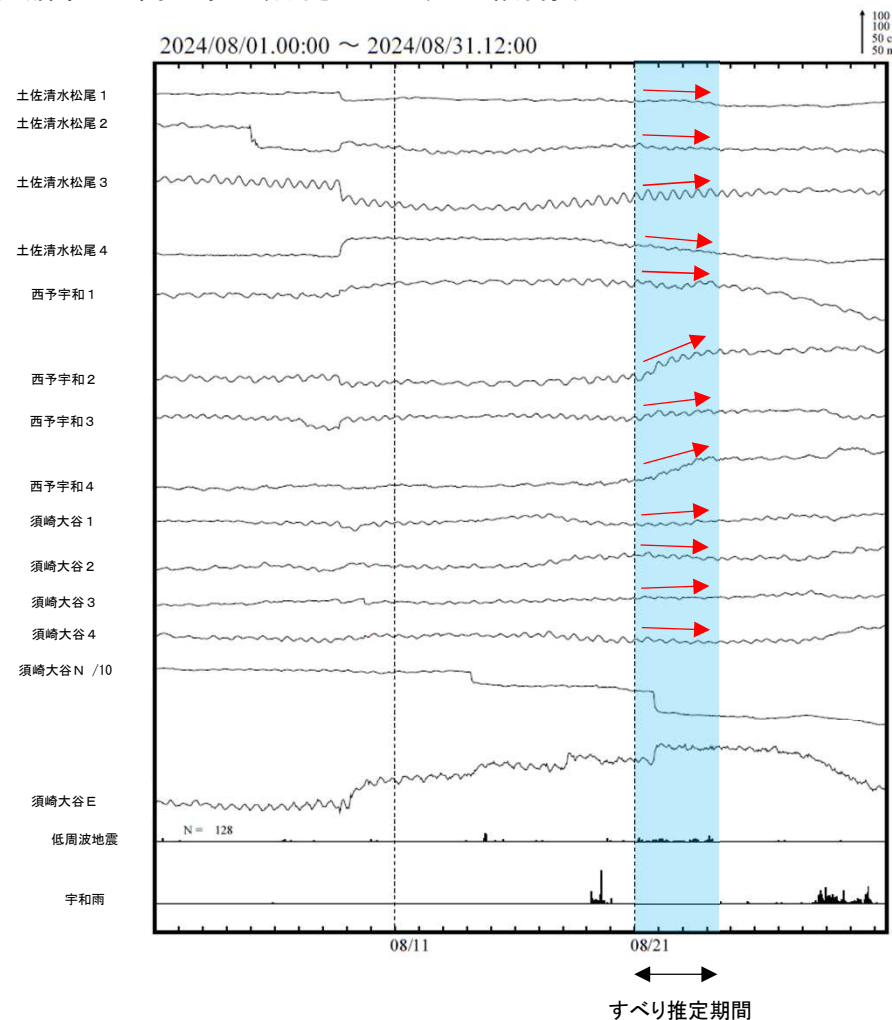
震央分布図の領域a内の時空間分布図(A-B投影)



気象庁作成

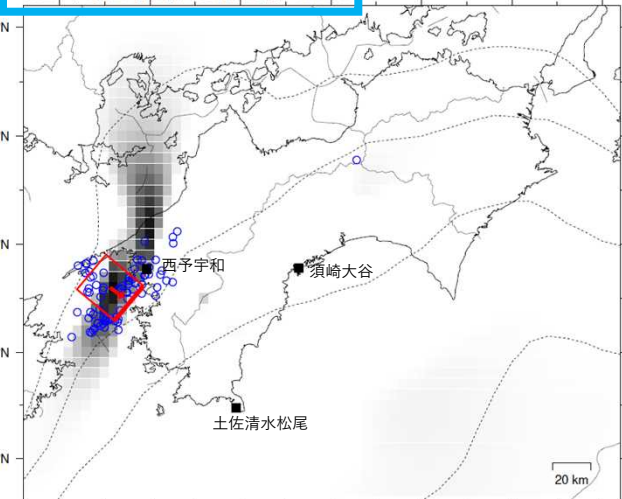
四国西部で観測した短期的ゆっくりすべり(8月21日～24日)

愛媛県から高知県で観測されたひずみ・傾斜変化



土佐清水松尾、西予宇和及び須崎大谷は産業技術総合研究所のひずみ・傾斜計である。

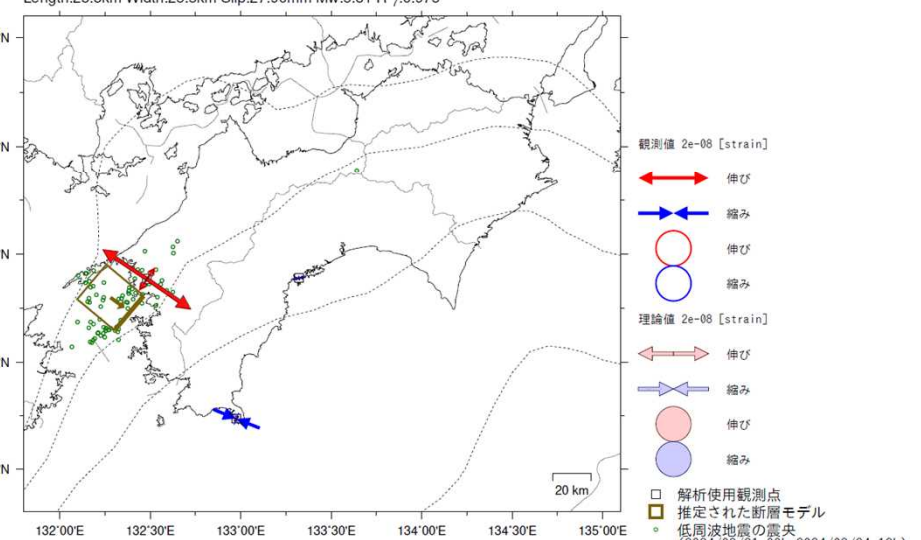
2024年8月21日0時～24日12時 Mw5.8



参考

R²
1.0
0.9
0.8
0.7
0.6
0.5
0.4
0.3
0.2
0.1
0.0

第1段階のグリッド
サーチによる決定
係数の分布
(1に近いほど観測
値を良く説明する)



左図に示す観測点での変化量を元にすべり推定を行ったところ、図の場所にすべり域が求まった。

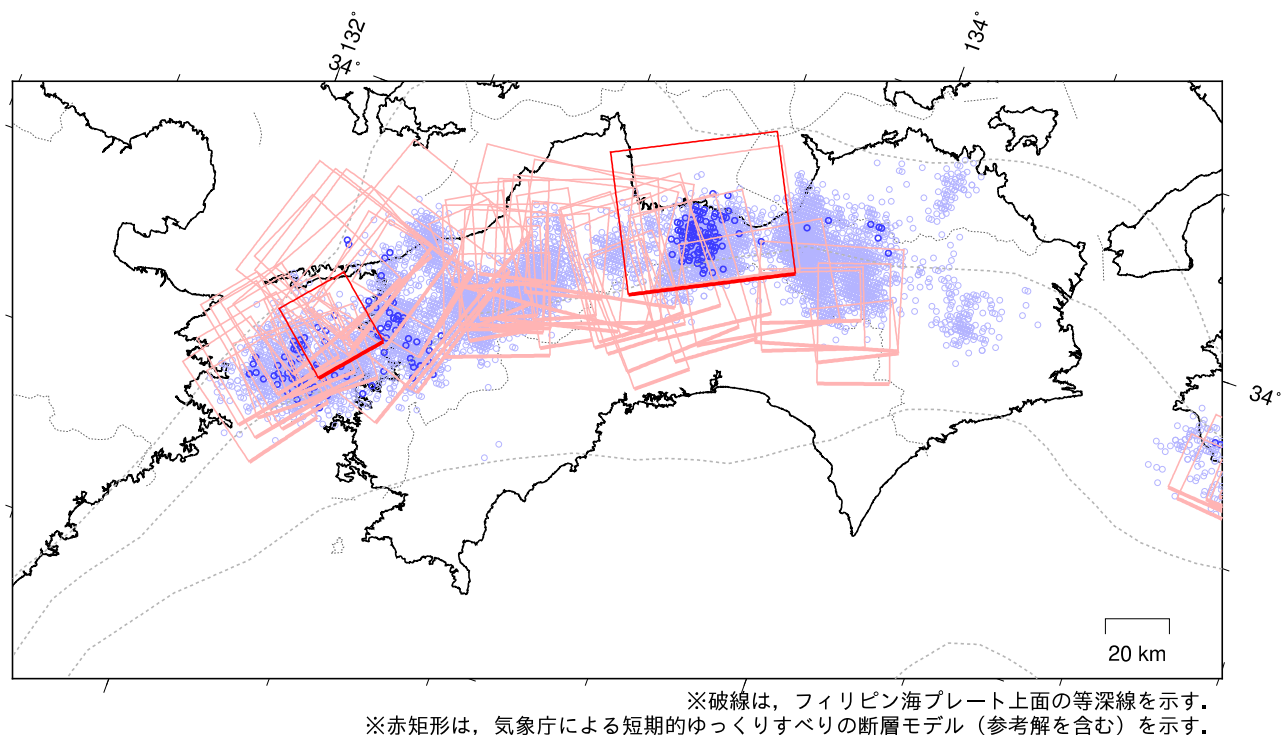
断層モデルの推定は、産総研の解析方法(板場ほか, 2012)を参考に以下の2段階で行う。
・断層サイズを20km × 20kmに固定し、位置を0.05度単位でグリッドサーチにより推定する。
・その位置を中心にして、他の断層パラメータの最適解を求める。

気象庁作成

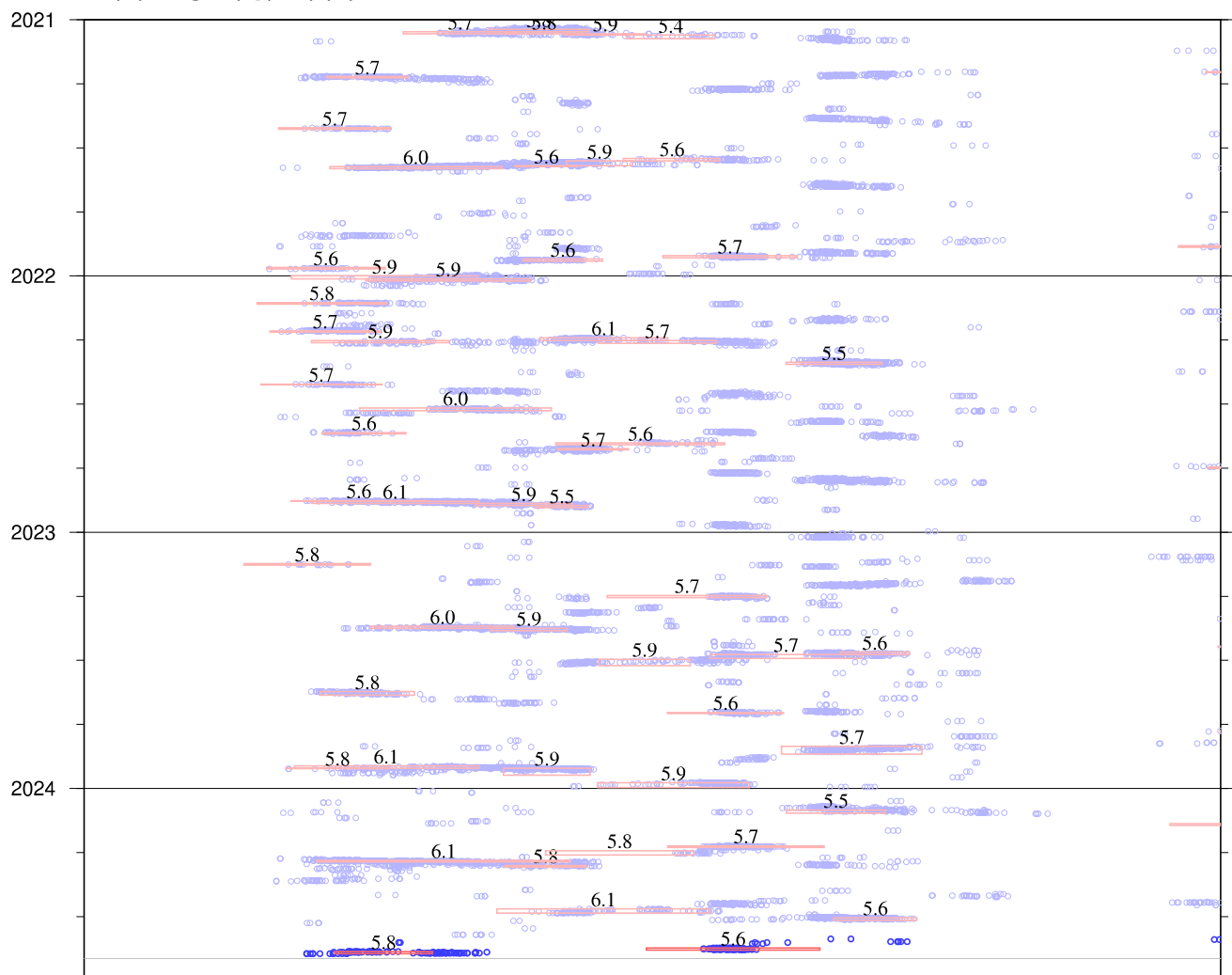
四国 短期的ゆっくりすべりの活動状況

2021年1月1日～2024年8月31日

(2024年8月1日以降を濃く表示)



上図の時空間分布図



※短期的ゆっくりすべりの解析には、産業技術総合研究所のデータを用いている。

※赤矩形の上に表示されている数字は解析されたMwを示す。

※青丸はエンベロープ相関法（防災科学技術研究所、東京大学地震研究所との共同研究による成果）で得られた低周波微動の震央を示す。

※時空間分布図中の灰色線は最新データ日を示す。

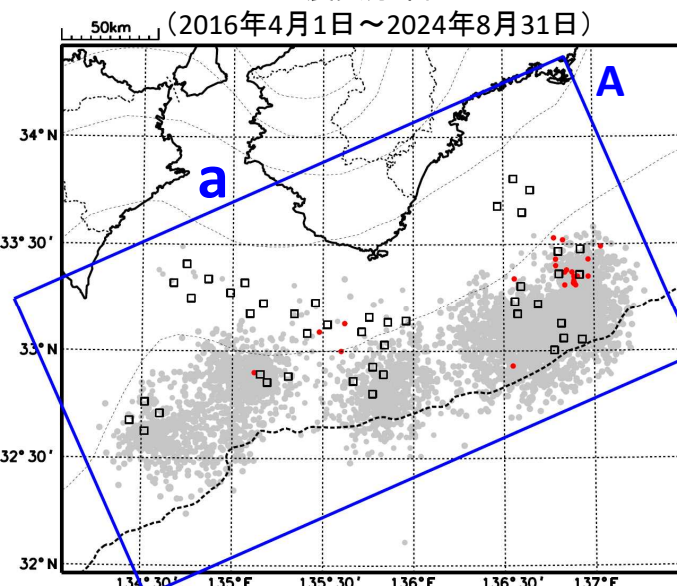
気象庁作成

三重県南東沖から四国沖における浅部低周波地震(微動)活動

試行

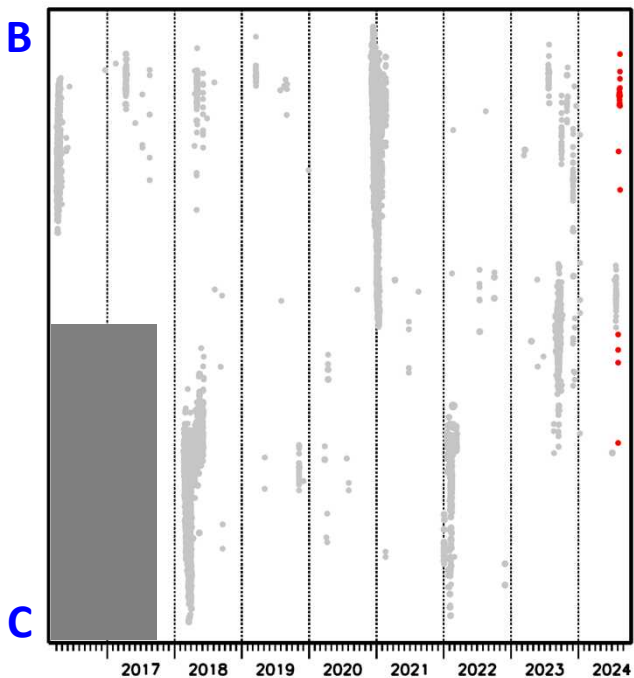
(震源の色)灰色:2016年4月1日～2024年7月31日、赤色:2024年8月1日以降

震央分布図

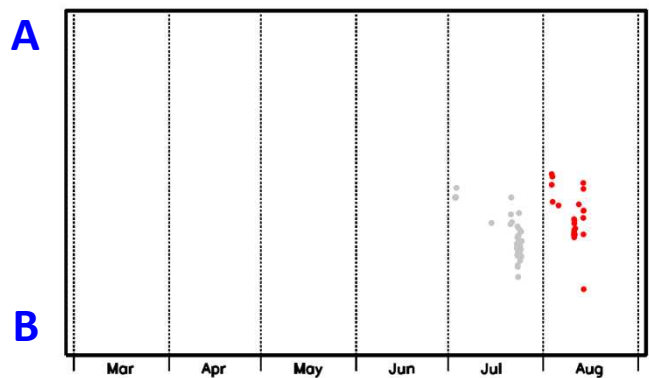


□はDONET1、2の観測点のうち、
解析に使用しているものを示す。

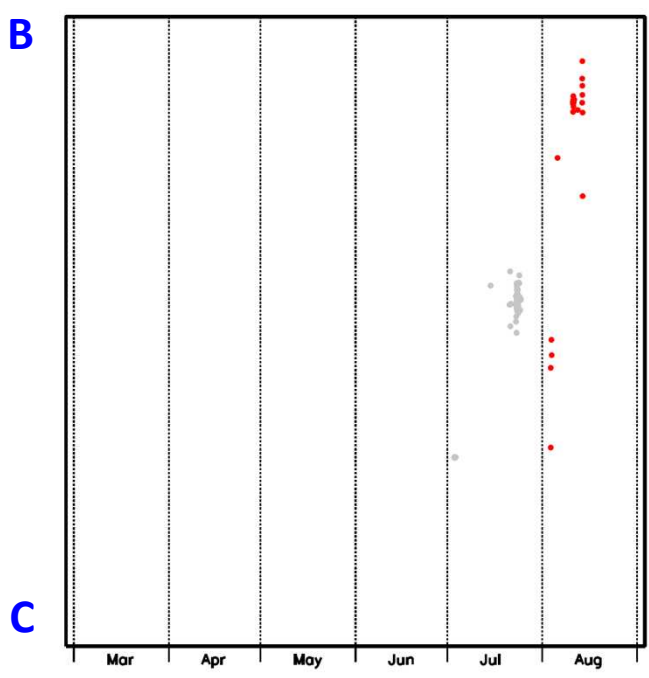
領域a内の時空間分布図(B-C投影)
(2016年4月1日～2024年8月31日)



領域a内の時空間分布図(A-B投影)
(2024年3月1日～2024年8月31日)



領域a内の時空間分布図(B-C投影)
(2024年2月1日～2024年8月31日)



Tamaribuchi et al.(2022)の手法(※)を用いて気象研究所が解析した結果を元に、気象庁が作図した。

灰色のハッチは、DONET2未使用期間(2017年10月4日以前)を示す。

【※手法の概要】

- ・DONETで観測された地震波形(バンドパス帯域2-8Hz)を用いて、ハイブリッド法による解析を行い、浅部低周波地震(微動)を検出した。
- ・検出された地震(微動)に対し、クラスタリング処理(条件:震央距離20km以内かつ12時間以内に4個以上)を施した。

【利用上の留意事項】

- ・この資料は、上記の手法により自動検出された地震(微動)を表示しています。
- ・検出された地震(微動)には、浅部低周波地震(微動)活動以外のものが表示されることがあります。
- ・個々の震源の位置ではなく、震源の分布具合に着目して地震活動の把握にご利用ください。

気象庁・気象研究所作成

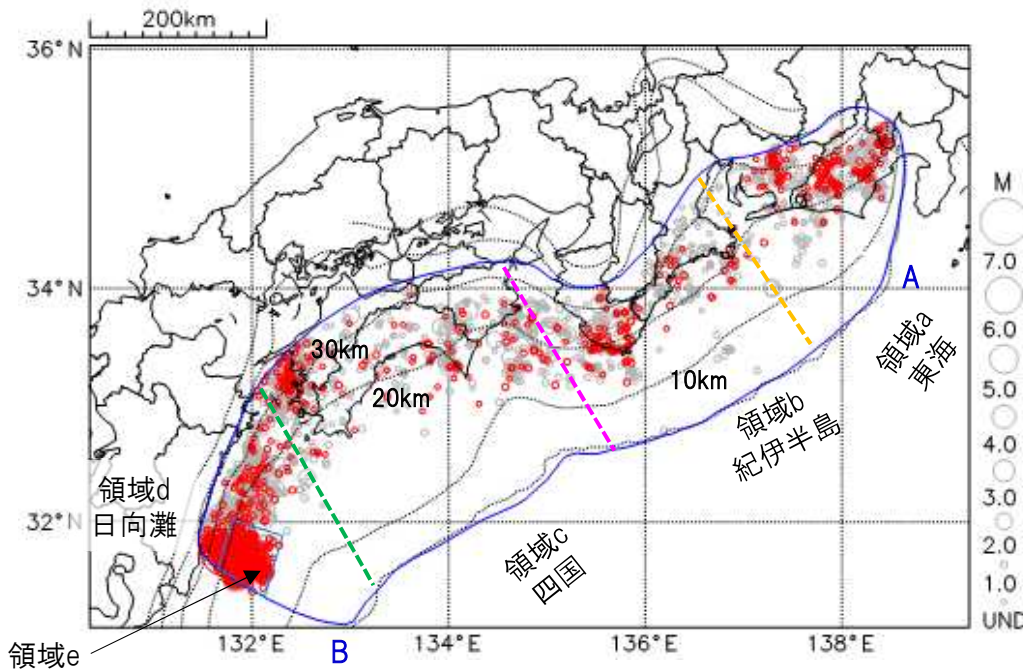
プレート境界とその周辺の地震活動

フィリピン海プレート上面の深さから±8km未満の地震を表示している。

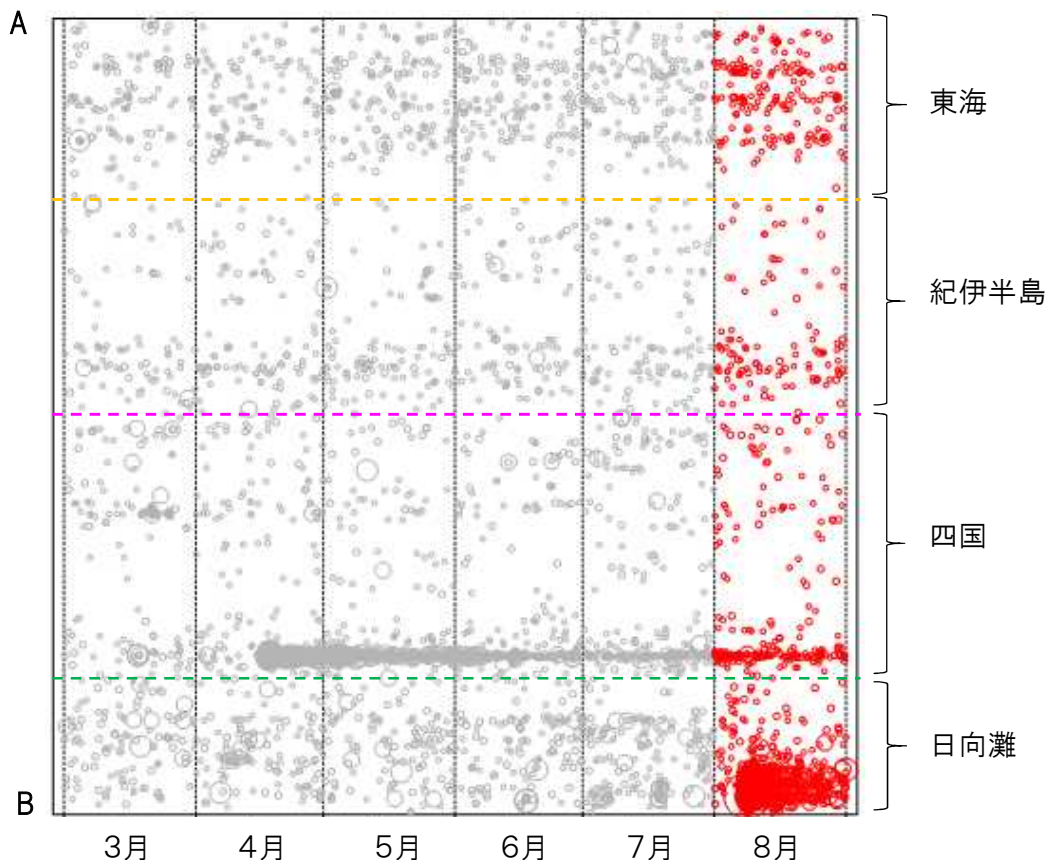
日向灘の領域e内のみ、深さ20km～35kmの地震を追加している。

震央分布図

(2024年3月1日～2024年8月31日、M全て、2024年8月の地震を赤く表示)



南海トラフ巨大地震の想定震源域内の時空間分布図(A-B投影)



・フィリピン海プレート上面の深さは、Baba et al.(2002)、Hirose et al.(2008)、Nakajima and Hasegawa(2007)による。震央分布図中の点線は10kmごとの等深線を示す。

・今期間の地震のうち、M3.2以上の地震で想定南海トラフ地震の発震機構解と類似の型の地震に吹き出しを付している。吹き出しの右下の数値は、フィリピン海プレート上面の深さからの差(+は浅い、-は深い)を示す。

・発震機構解の横に「S」の表記があるものは、精度がやや劣るものである。

気象庁作成

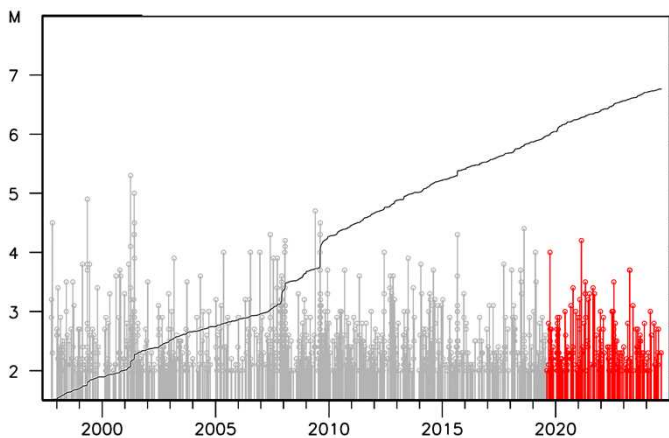
プレート境界とその周辺の地震活動

フィリピン海プレート上面の深さから±8km未満の地震を表示している。

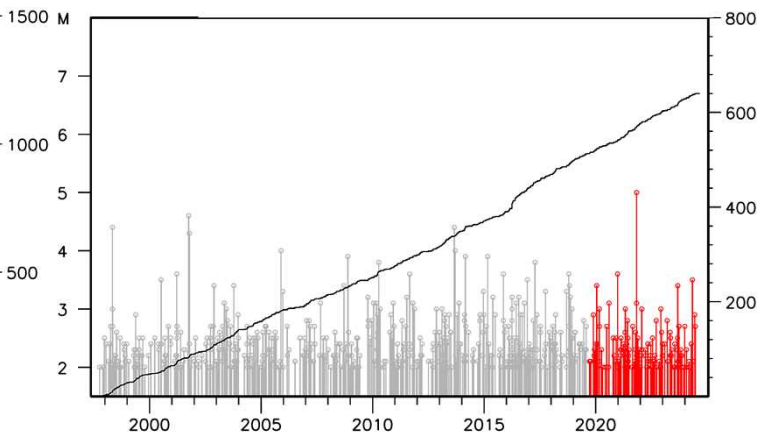
震央分布図の各領域内のMT図・回数積算図

(2024年3月1日～2024年8月31日、M全て、2024年8月の地震を赤く表示)

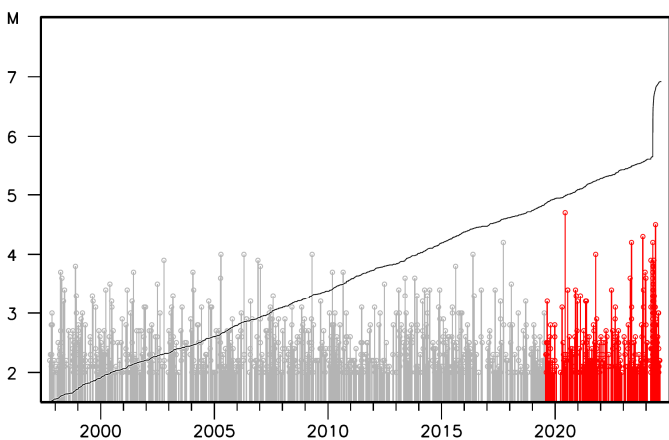
領域a内(東海)



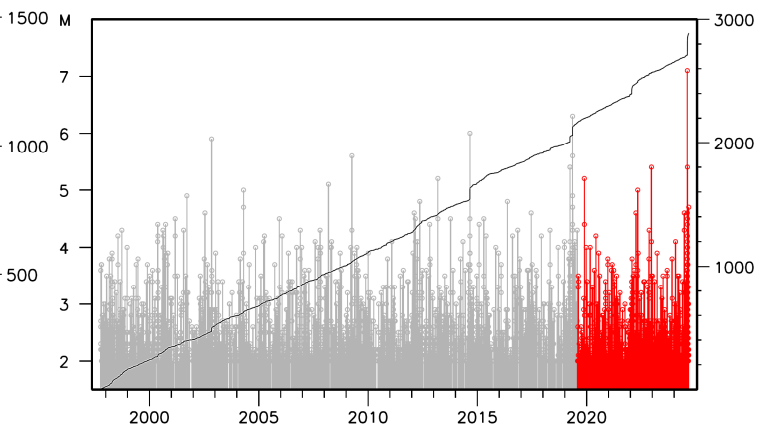
領域b内(紀伊半島)



領域c内(四国)



領域d内(日向灘)

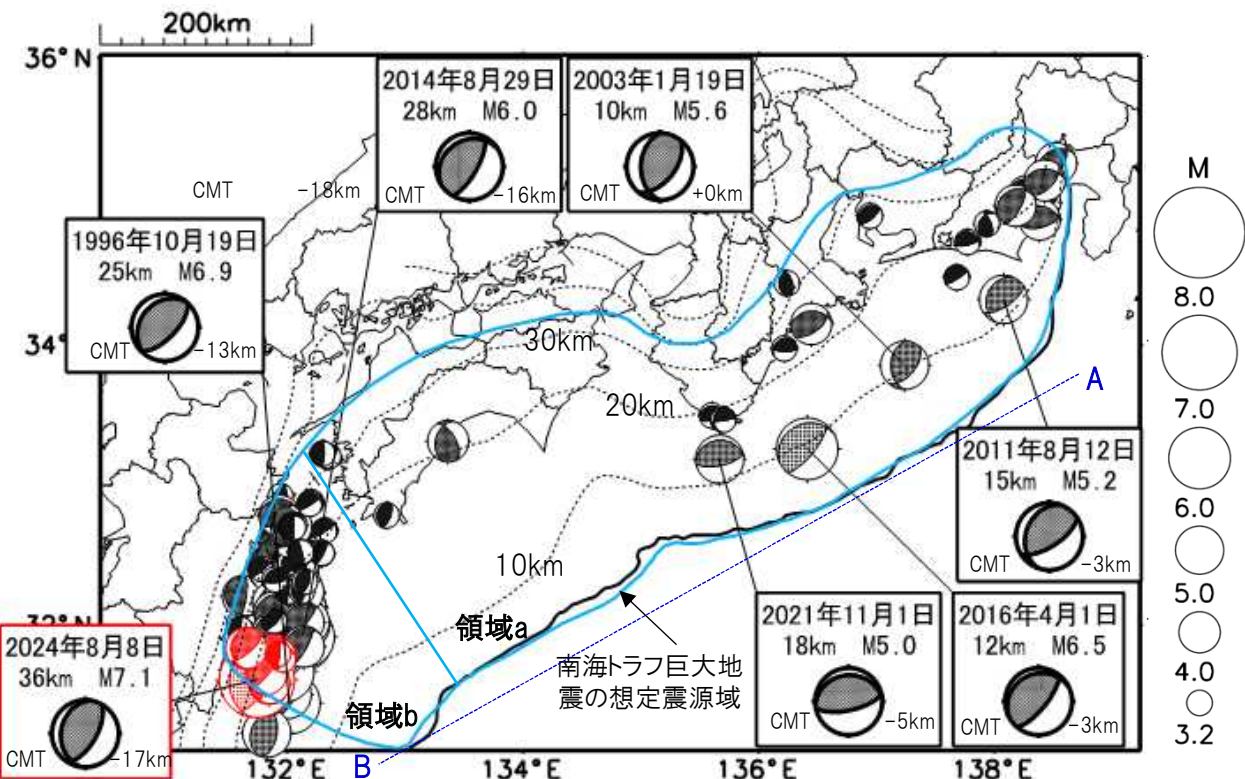


※M全ての地震を表示していることから、検知能力未満の地震も表示しているため、回数積算図は参考として表記している。

気象庁作成

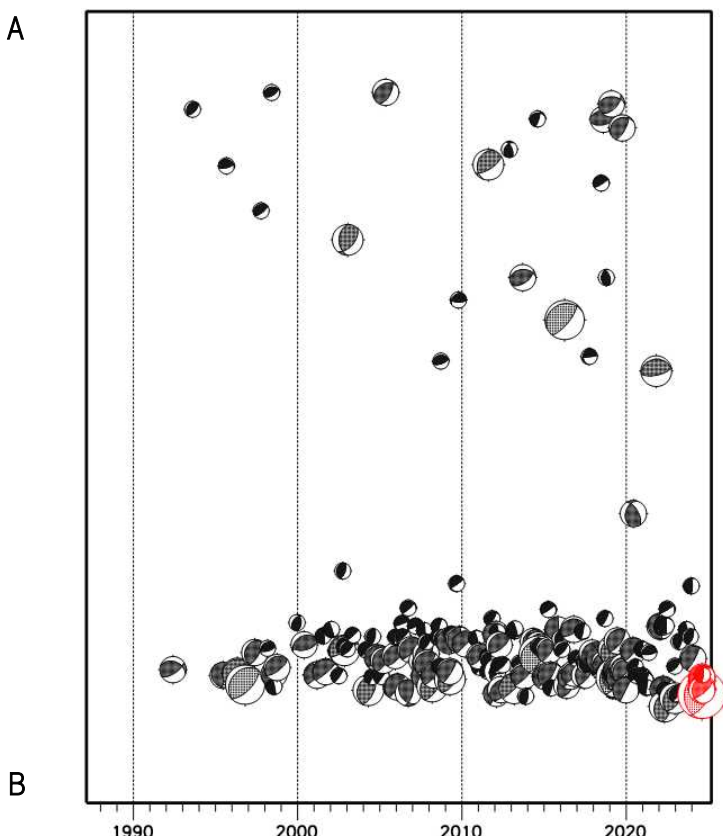
想定南海トラフ地震の発震機構解と類似の型の地震

震央分布図(1987年9月1日～2024年8月31日、M \geq 3.2、2024年8月の地震を赤く表示)



- ・フィリピン海プレート上面の深さは、Hirose et al.(2008)、Baba et al.(2002)による。震央分布図中の点線は10kmごとの等深線を示す。
- ・今期間に発生した地震(赤)、日向灘のM6.0以上、その他の地域のM5.0以上の地震に吹き出しを付けている。
- ・発震機構解の横に「S」の表記があるものは、精度がやや劣るものである。
- ・吹き出しの右下の数値は、フィリピン海プレート上面の深さからの差を示す。+は浅い、-は深いことを示す。
- ・吹き出しに「CMT」と表記した地震は、発震機構解と深さはCMT解による。Mは気象庁マグニチュードを表記している。
- ・発震機構解の解析基準は、解析当時の観測網等に応じて変遷しているため一定ではない。

震央分布図内の時空間分布図



プレート境界型の地震と類似の型の発震機構解を持つ地震は以下の条件で抽出した。

【抽出条件】

- ・M3.2以上の地震
- ・領域a内(南海トラフの想定最大規模の想定震源域内)で発生した地震
- ・発震機構解が以下の条件を全て満たしたもの

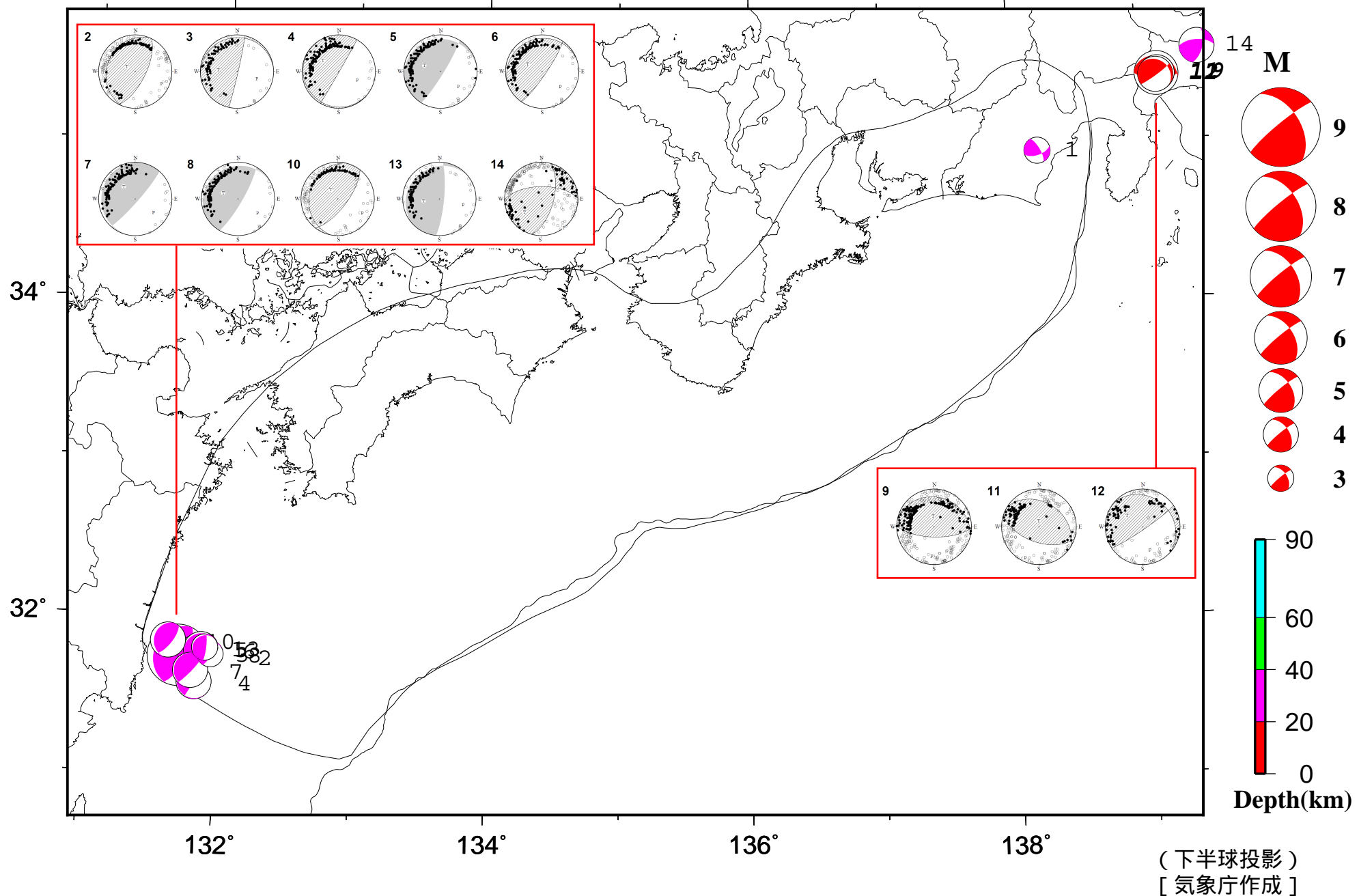
のを抽出した。
P軸の傾斜角が45度以下
P軸の方位角が65度以上180度以下(※)
T軸の傾斜角が45度以上
N軸の傾斜角が30度以下

※以外の条件は、東海地震と類似の型を抽出する条件と同様
・発震機構解は、CMT解と初動解の両方で検索をした。
・同一の地震で、CMT解と初動解の両方がある場合はCMT解を選択している。
・東海地方から四国地方(領域a)は、フィリピン海プレート上面の深さから±10km未満の地震のみ抽出した。日向灘(領域b)は、+10km～-20km未満の震源を抽出した。CMT解はセントロイドの深さを使用した。

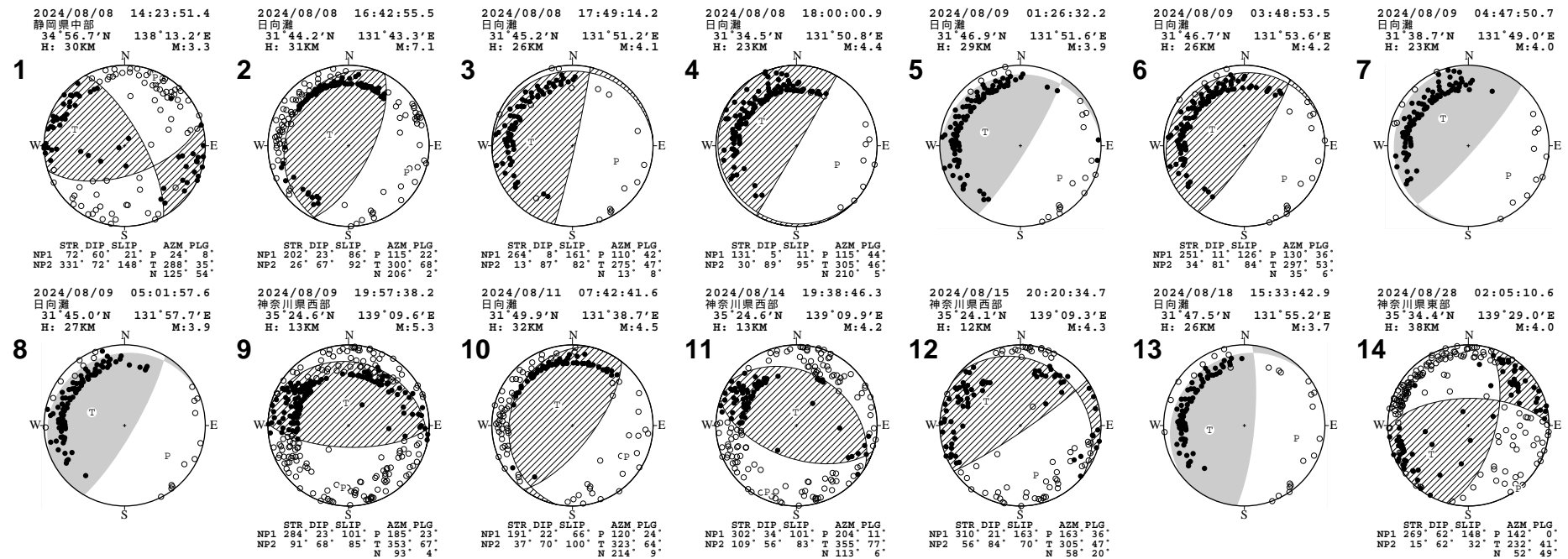
気象庁作成

南海トラフ沿いとその周辺の初動発震機構解

Period:2024/08/01 00:00--2024/08/31 24:00



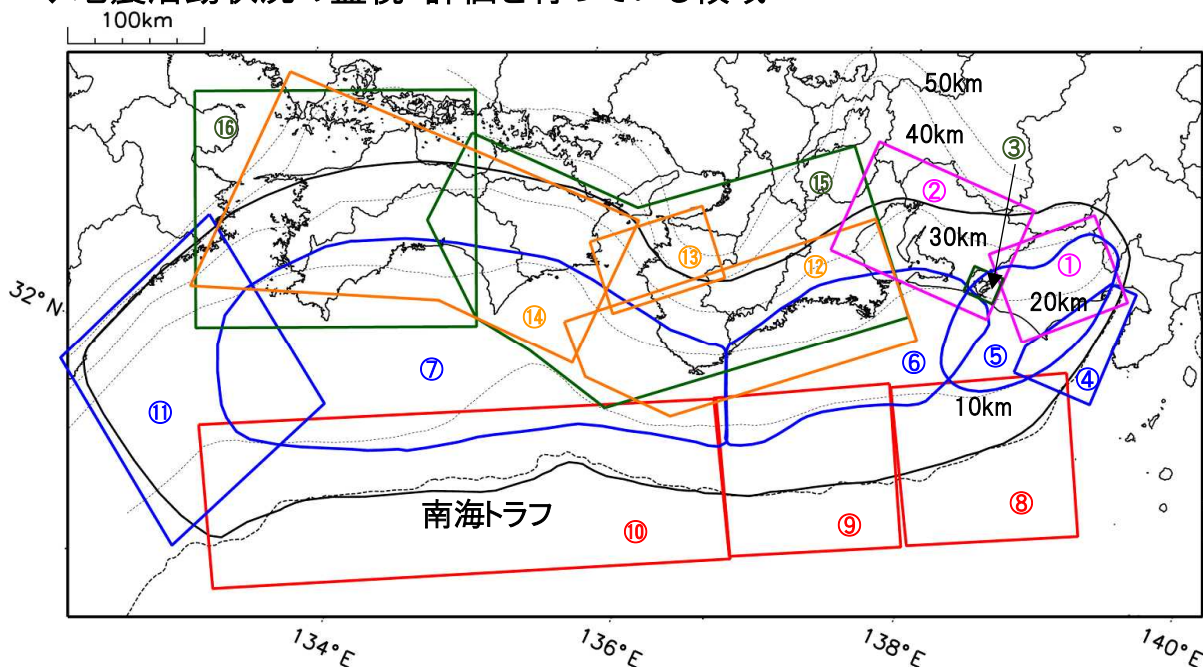
南海トラフ沿いとその周辺の初動発震機構解（2）



(下半球投影)
[気象庁作成]

南海トラフ巨大地震の想定震源域とその周辺の地震活動状況

◆地震活動状況の監視・評価を行っている領域



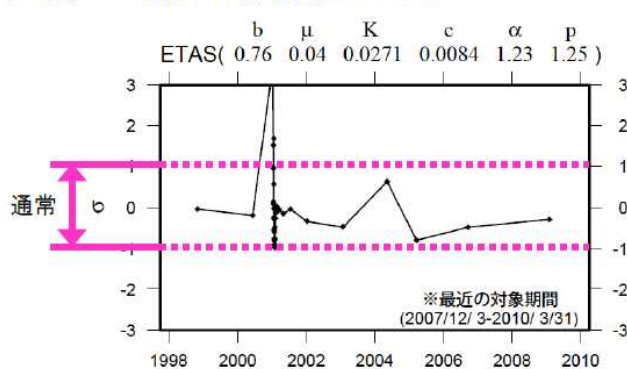
*活動の監視・評価を行っている領域に番号を付している。

*Baba et al.(2002)、Hirose et al.(2008)、Nakajima and Hasegawa(2007)によるプレート境界の等深線を破線で示す。

*黒色実線は、南海トラフ巨大地震の想定震源域を示す。

◆監視・評価に使用している指標等について

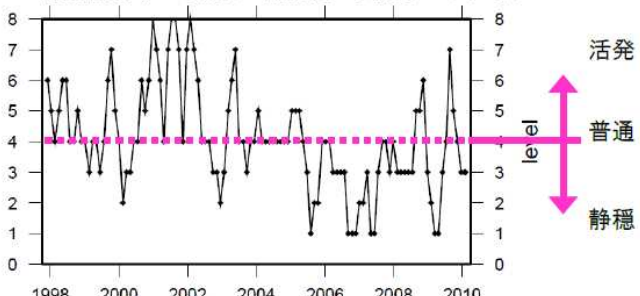
ETAS(σ 値) …理論上の地震活動からのはずれ



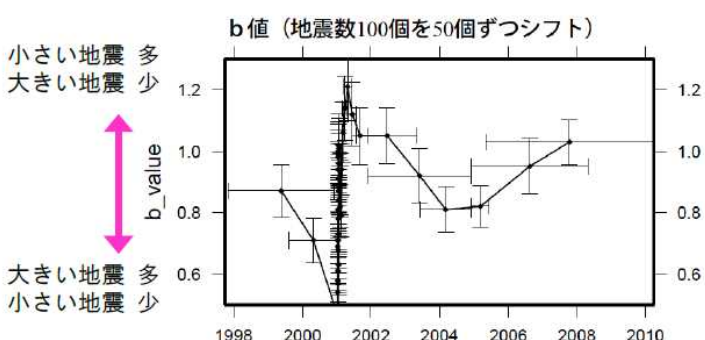
地震活動指数

…基準期間の活動と比較し、活発か静穏かを示す指標

活動指数 (120日間の時間窓を40日間ずつシフト)



b値 …地震の規模(M)の相対分布



地震回数の指数化

指標	確率 (%)	地震数
8	1	多い
7	4	やや多い
6	10	
5	15	
4	40	ほぼ平常
3	15	
2	10	
1	4	やや少ない
0	1	少ない

気象庁作成

南海トラフ巨大地震の想定震源域とその周辺の地震活動指数

2024年8月31日

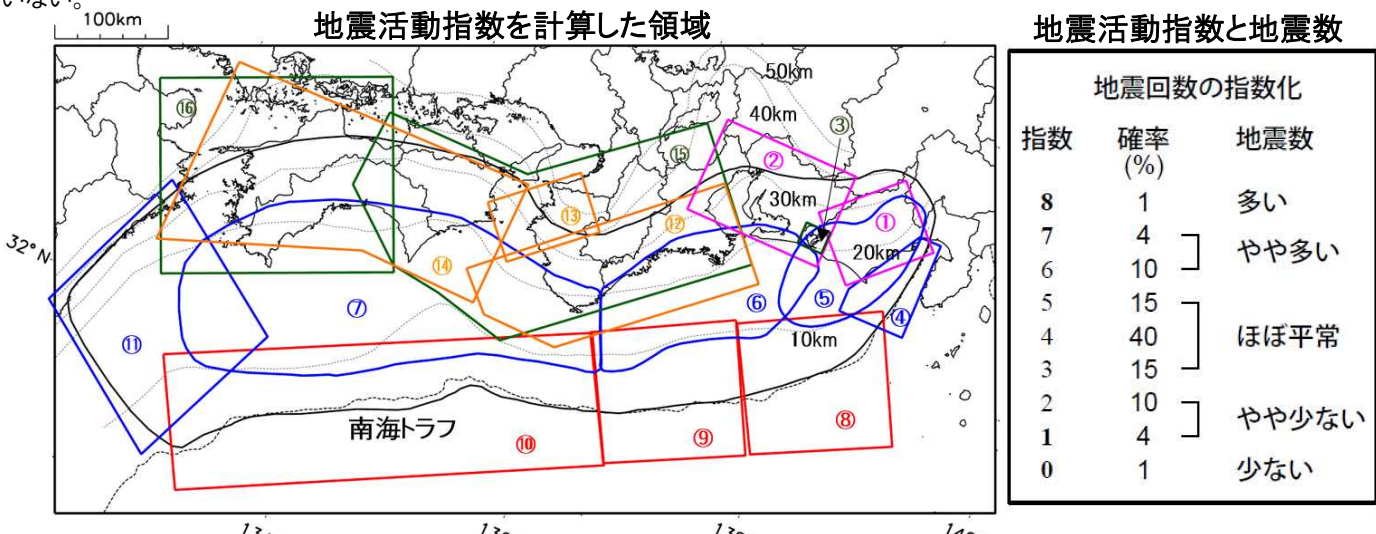
領域	①静岡県 中西部		②愛知県		③浜名湖 周辺	④駿河 湾	⑤東海	⑥東南 海	⑦ 南海
	地	プ	地	プ	プ	全	全	全	全
地震活動指数	4	4	5	1	2	4	3	3	1
平均回数	16.4	18.1	26.8	13.8	12.9	13.2	17.9	19.6	21.6
MJきい値	1.1		1.1		1.1	1.4	1.5	2.0	2.0
クラスタ 除去	距離	3km		3km		3km	10km	10km	10km
	日数	7日		7日		7日	10日	10日	10日
対象期間	60日	90日	60日	30日	360日	180日	90日	360日	90日
深さ	0~ 30km	0~ 60km	0~ 30km	0~ 60km	0~ 60km	0~ 60km	0~ 60km	0~ 100km	0~ 100km

領域	南海トラフ沿い		⑪日向 灘	⑫紀伊 半島	⑬和歌 山	⑭四国	⑮紀伊半 島	⑯四国
	⑧東側	⑩西側						
	全	全	全	地	地	地	プ	プ
地震活動指数	6	5	8	5	4	7	4	5
平均回数	12.9	14.5	21.1	22.8	41.3	31.4	27.9	28.5
MJきい値	2.5	2.5	2.0	1.5	1.5	1.5	1.5	1.5
クラスタ 除去	距離	10km	10km	10km	3km	3km	3km	3km
	日数	10日	10日	10日	7日	7日	7日	7日
対象期間	720日	360日	60日	120日	60日	90日	30日	30日
深さ	0~ 100km	0~ 100km	0~ 100km	0~ 20km	0~ 20km	0~ 20km	20~ 100km	20~ 100km

* 基準期間は、全領域1997年10月1日～2024年8月31日

* 領域欄の「地」は地殻内、「プ」はフィリピン海プレート内で発生した地震であることを示す。ただし、震源の深さから便宜的に分類しただけであり、厳密に分離できていない場合もある。「全」は浅い地震から深い地震まで全ての深さの地震を含む。

* ⑨の領域(三重県南東沖)は、2004年9月5日以降の地震活動の影響で、地震活動指数を正確に計算できないため、掲載していない。



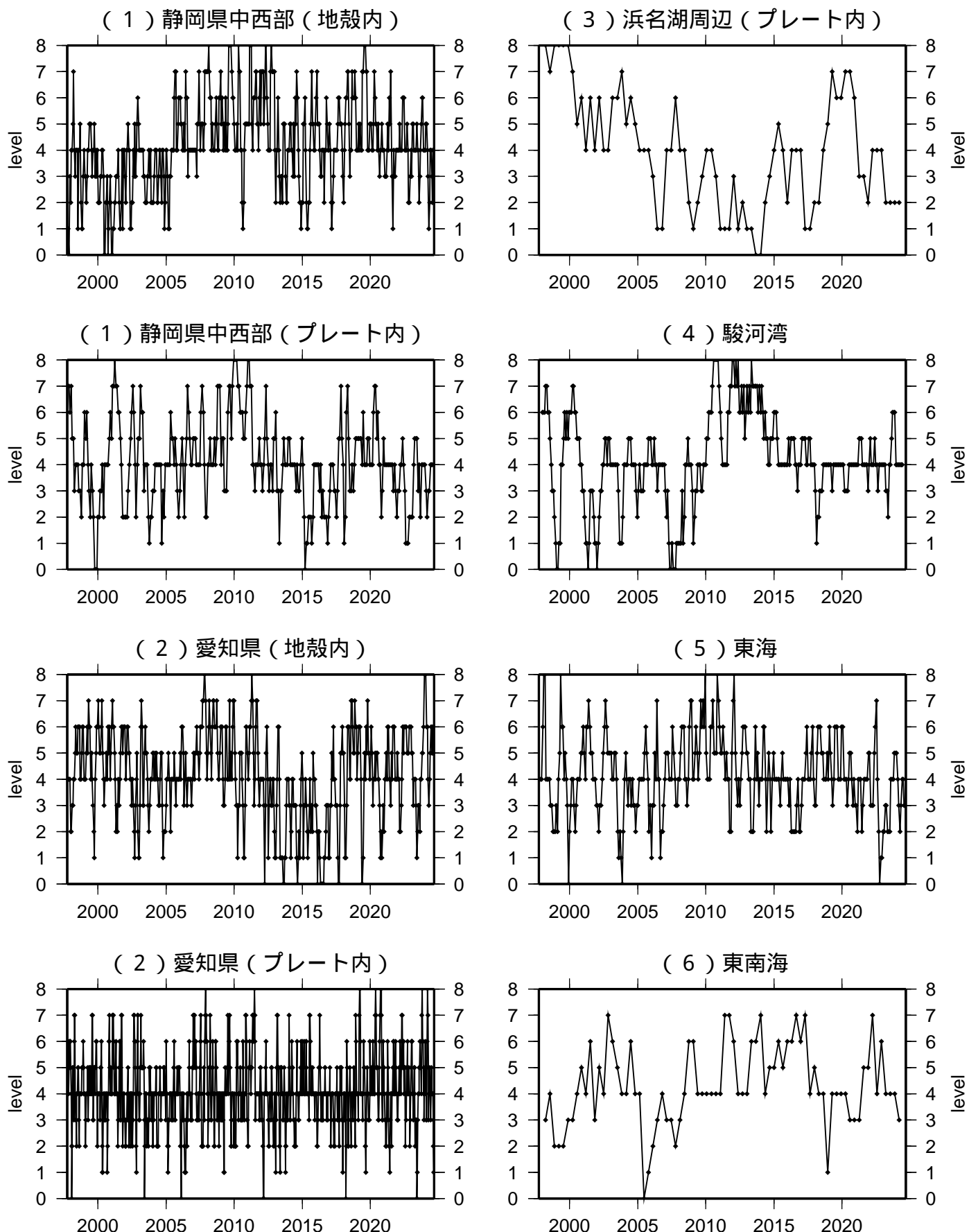
* 黒色実線は、南海トラフ巨大地震の想定震源域を示す。

* Baba et al.(2002), Hirose et al.(2008), Nakajima and Hasegawa(2007)によるプレート境界の等深線を破線で示す。

気象庁作成

地震活動指數一覧

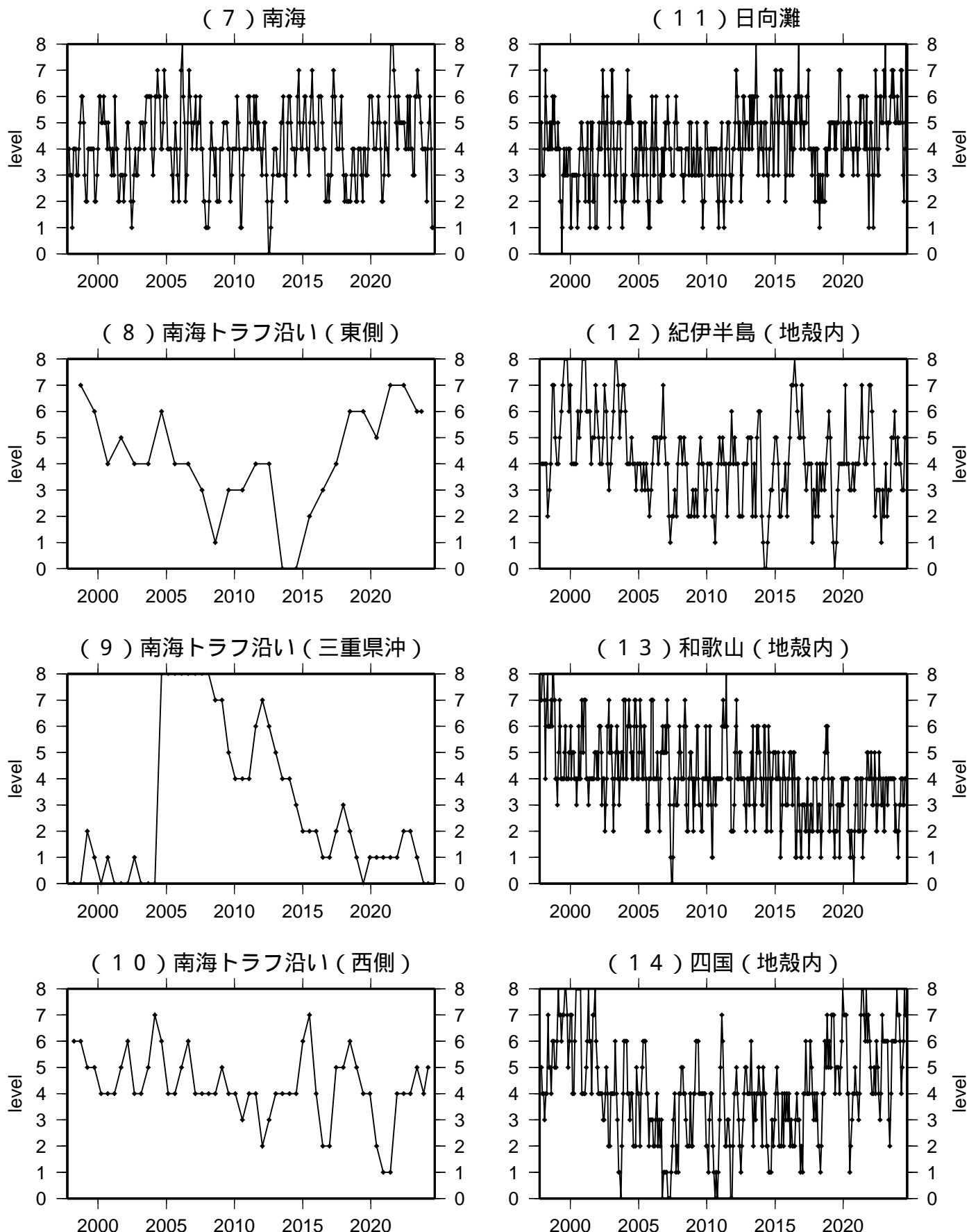
2024年08月31日



活動指數	0	1	2	3	4	5	6	7	8
確率 (%)	1	4	10	15	40	15	10	4	1
地震数	少	平常	多						

地震活動指數一覧

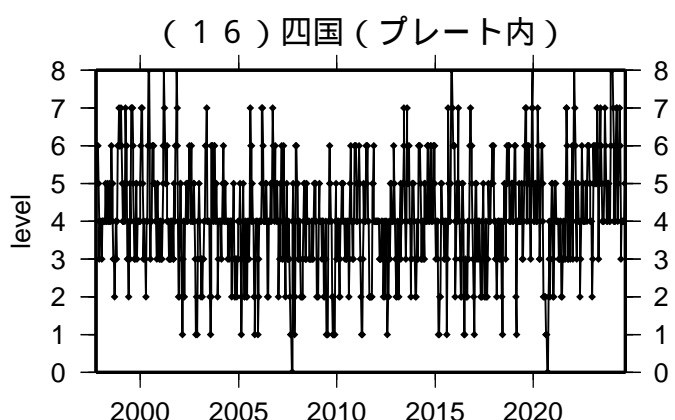
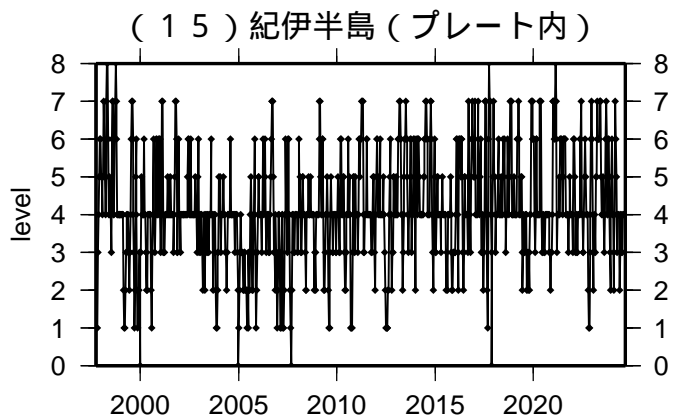
2024年08月31日



活動指數	0	1	2	3	4	5	6	7	8
確率 (%)	1	4	10	15	40	15	10	4	1
地震数	少	平常	多						

地震活動指數一覧

2024年08月31日



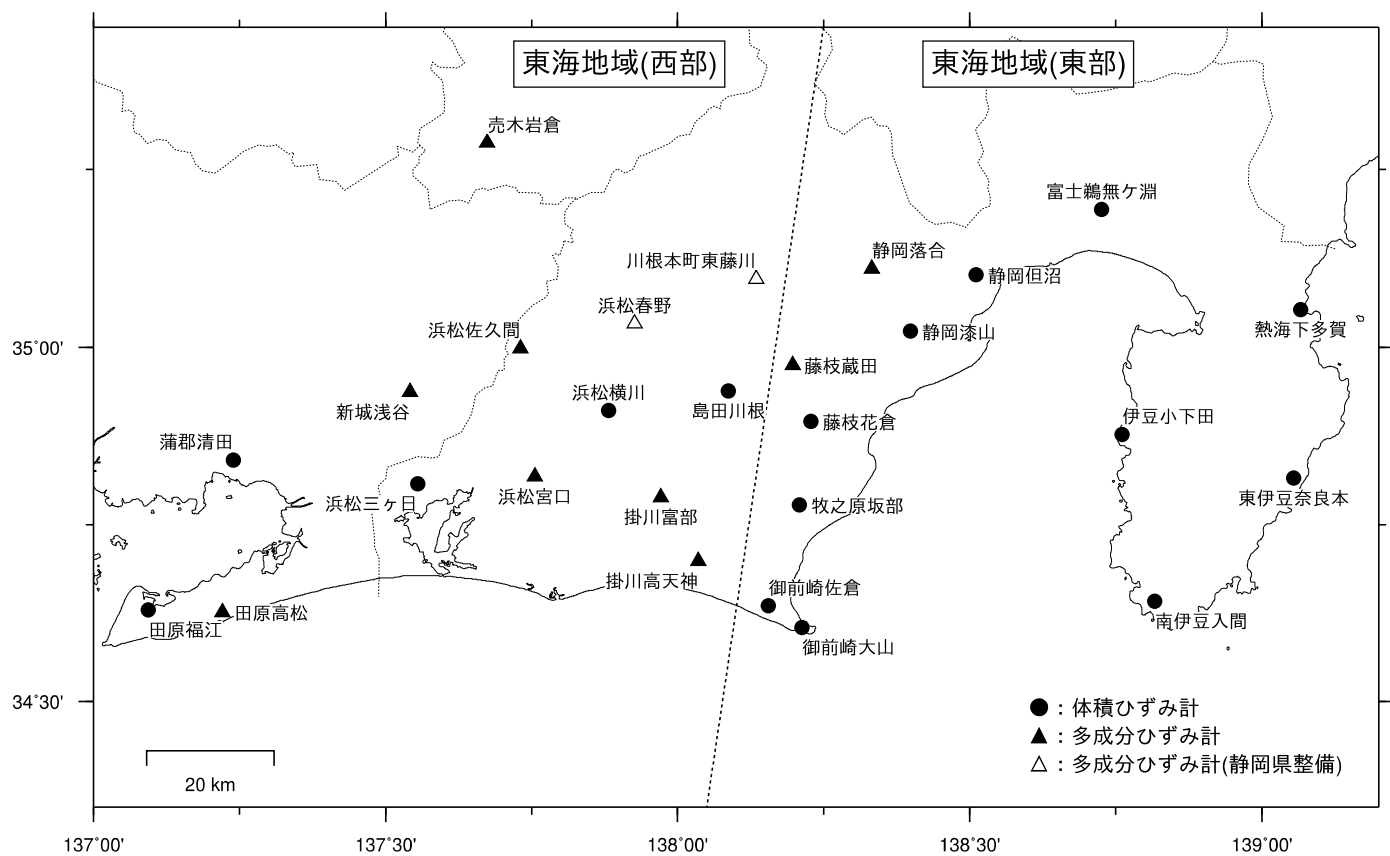
活動指數	0	1	2	3	4	5	6	7	8
確率 (%)	1	4	10	15	40	15	10	4	1
地震数	少	←	平常	→	多				

ひずみ計による観測結果（2024年3月1日～2024年8月31日）

短期的ゆっくりすべりに起因すると見られる次の地殻変動がひずみ計で観測された。

- SSE1：2024年6月16日から20日にかけて観測された。（第81回評価検討会資料参照）
SSE2：2024年6月21日から24日にかけて観測された。（第81回評価検討会資料参照）
SSE3：2024年8月9日から10日にかけて観測された。（第84回評価検討会資料参照）
SSE4：2024年8月11日から14日にかけて観測された。（第84回評価検討会資料参照）
SSE5：2024年8月13日から16日にかけて観測された。（第84回評価検討会資料参照）

ひずみ計の配置図



※観測点名の記号Vは体積ひずみを、Sは多成分ひずみ計で観測した線ひずみより計算した面積ひずみを示す。

※観測点名の下の「D/day (/M)」は、一日あたりのトレンド変化量をDとして補正していること

及び縮尺を1/M倍にして表示していることを示す。

※観測点名、観測成分名右側の縦棒は、平常時における24時間階差の99.9%タイル値を示す。

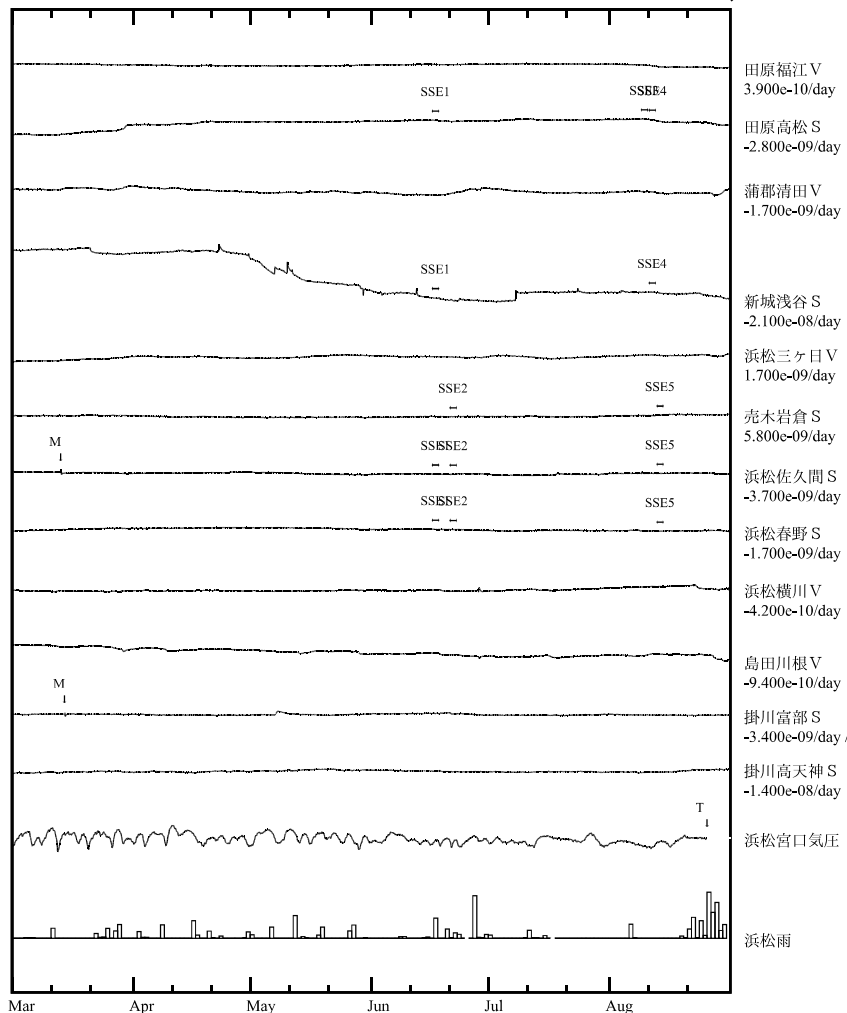
※多成分ひずみ計成分名の()内は測定方位、[]内は面積ひずみ計算に用いた成分を示す。

※多成分ひずみ計の最大剪断ひずみ、面積ひずみ及び主軸方向は、広域のひずみに換算して算出している。

東海地域（西部）ひずみ変化 時間値

・気圧、潮汐、降水、地磁気（面積ひずみ）補正データ

Exp.
300 nstrain
30 hPa
100 mm/day

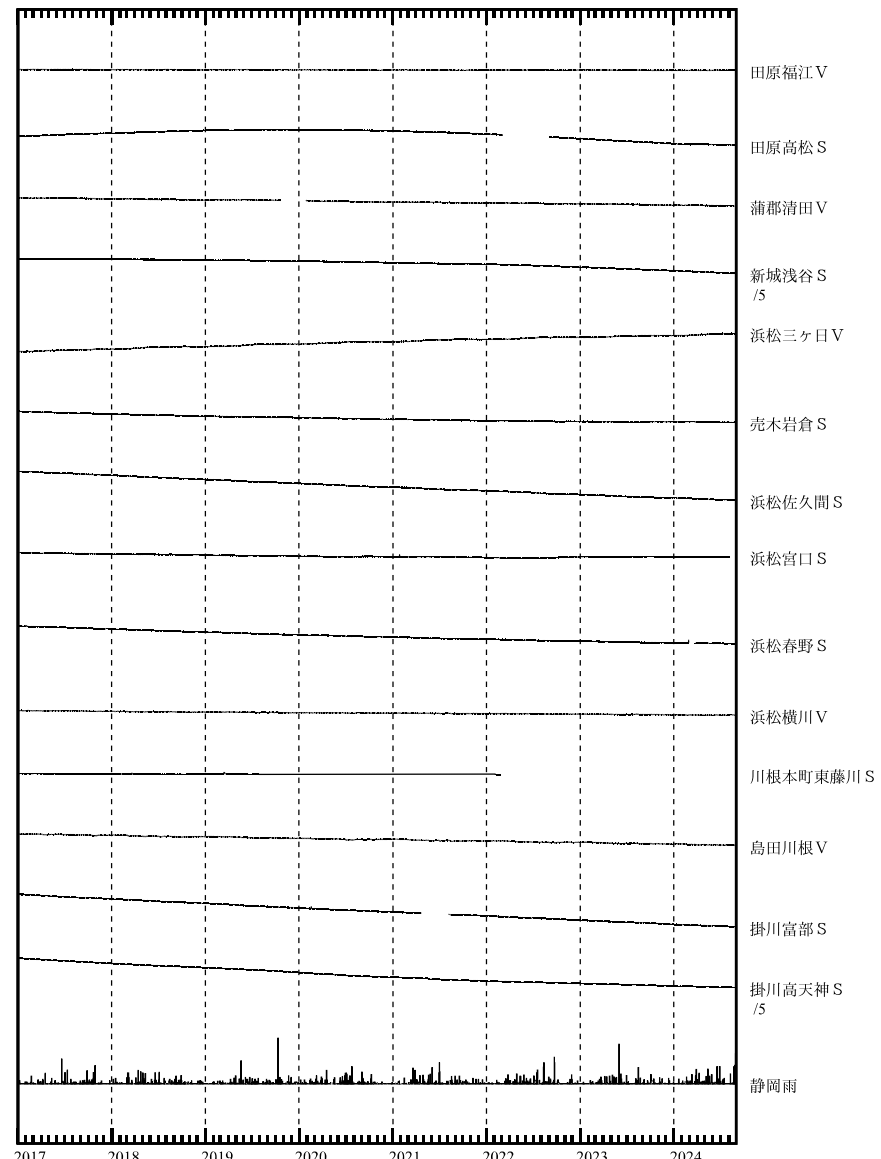


SSE1 : 短期的ゆっくりすべり 2024.06.16-06.20
SSE2 : 短期的ゆっくりすべり 2024.06.21-06.24
SSE3 : 短期的ゆっくりすべり 2024.08.09-08.10
SSE4 : 短期的ゆっくりすべり 2024.08.11-08.14
SSE5 : 短期的ゆっくりすべり 2024.08.13-08.16

C : 地震に伴うステップ状の変化
L : 局所的な変化
S : 例年見られる変化
M : 調整
T : 障害

東海地域（西部）ひずみ変化 日値

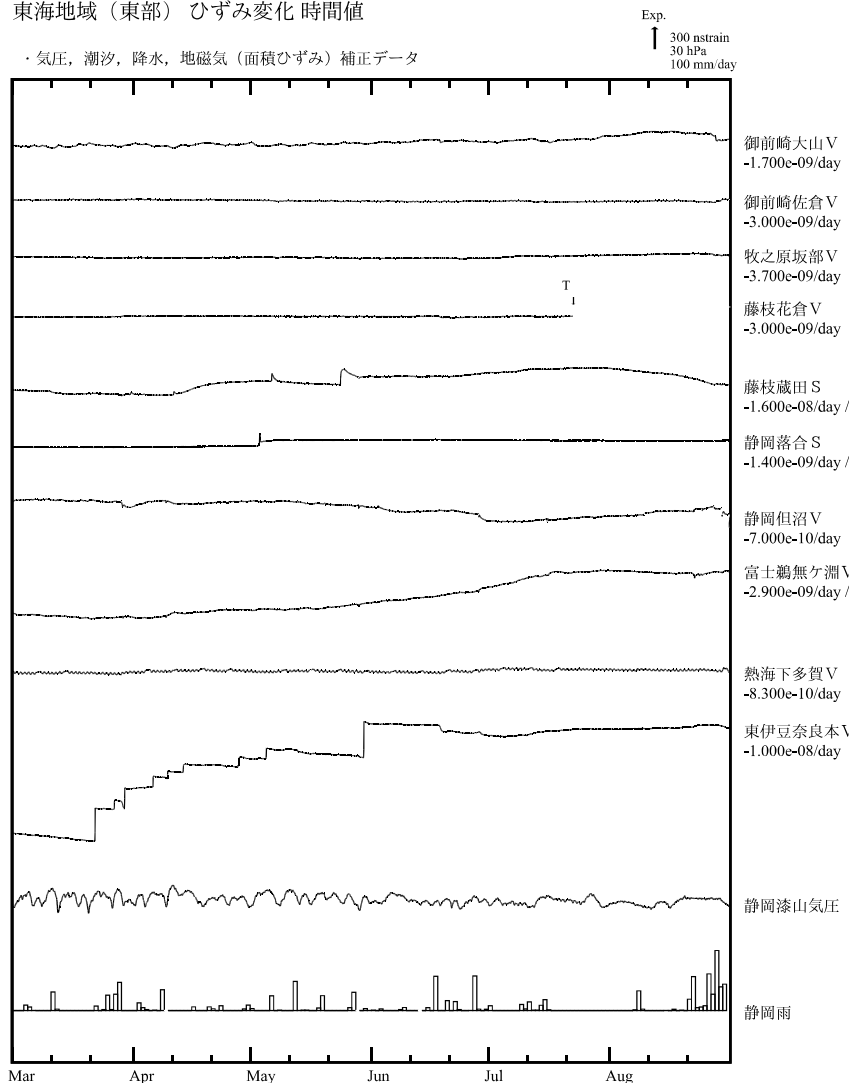
Exp.
10000 nstrain
200 mm



気象庁作成

東海地域（東部）ひずみ変化 時間値

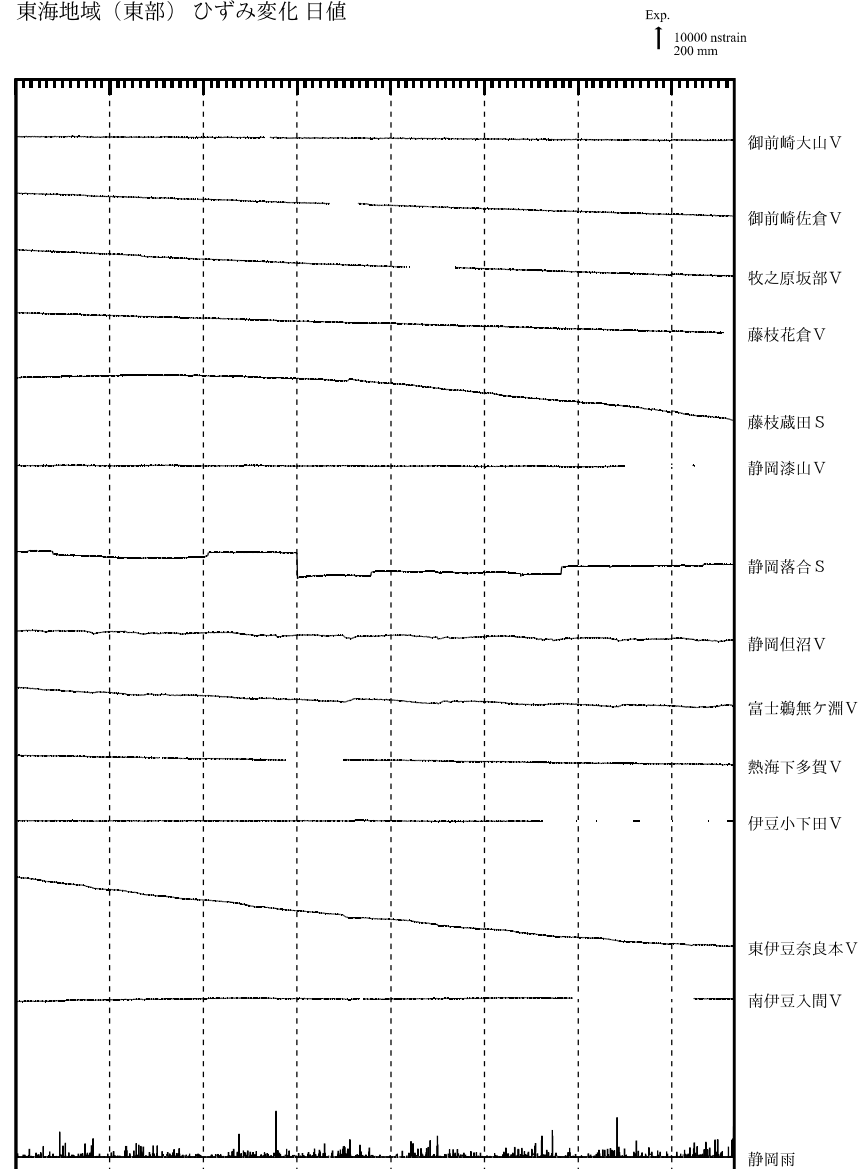
・気圧、潮汐、降水、地磁気（面積ひずみ）補正データ



・特記事項なし。

C : 地震に伴うステップ状の変化
L : 局所的な変化
S : 例年見られる変化
M : 調整
T : 障害

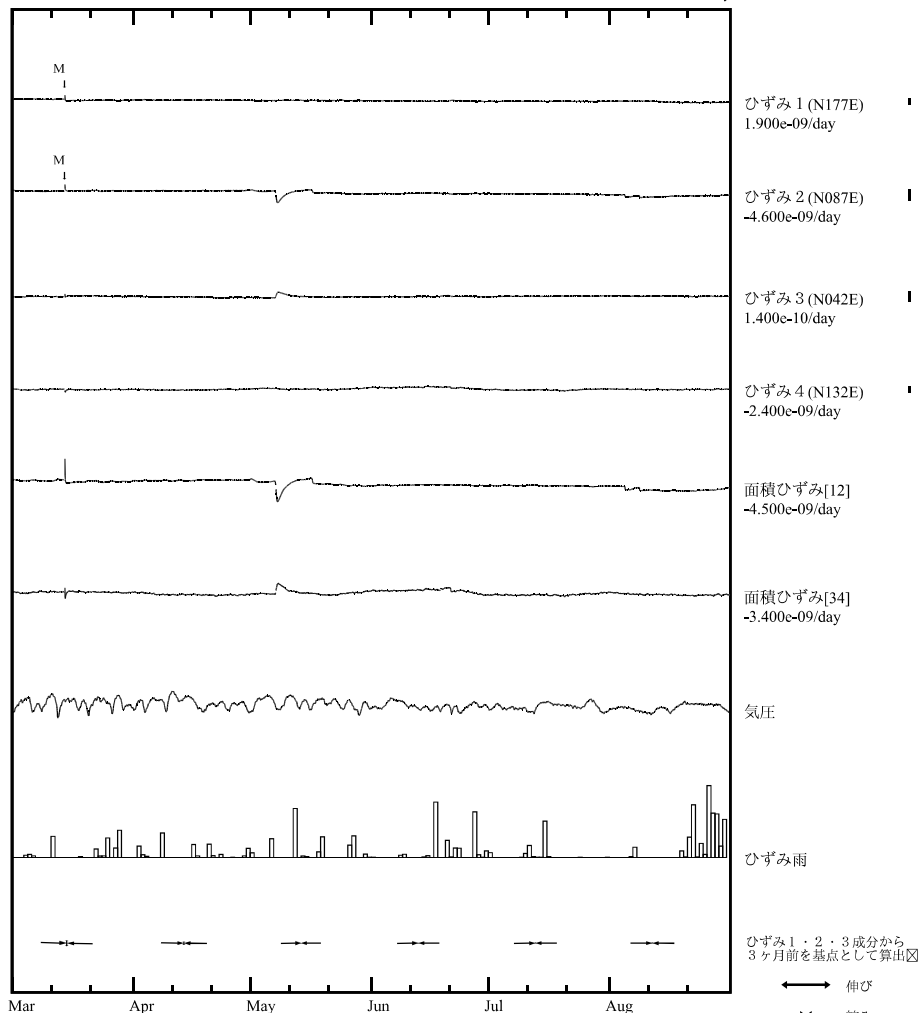
東海地域（東部）ひずみ変化 日値



※面積ひずみは、地震に伴うステップ状の変化を除去して計算している。

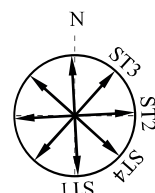
掛川富部ひずみ変化時間値

・気圧、潮汐、降水、地磁気補正データ



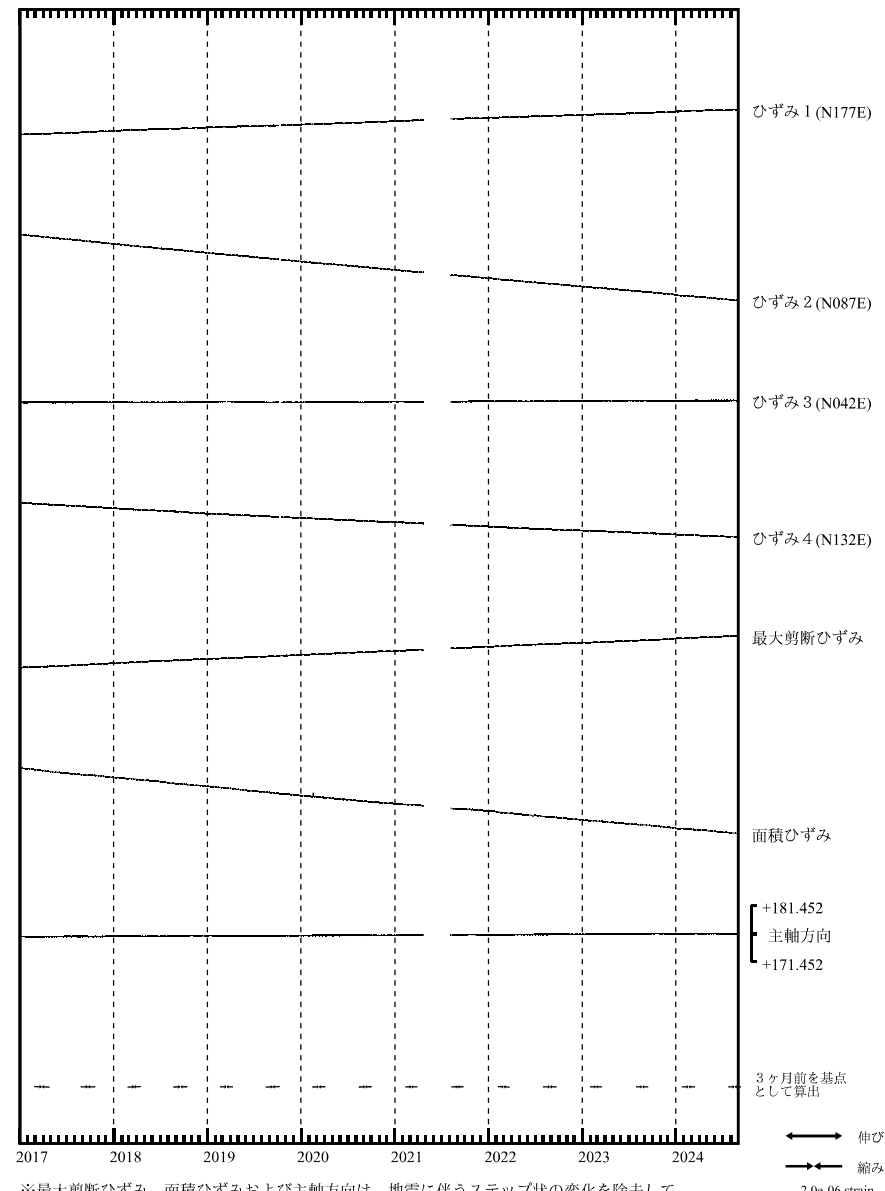
・特記事項なし。

- C : 地震に伴うステップ状の変化
- L : 局所的な変化
- S : 例年見られる変化
- M : 調整
- T : 障害



掛川富部ひずみ変化日値

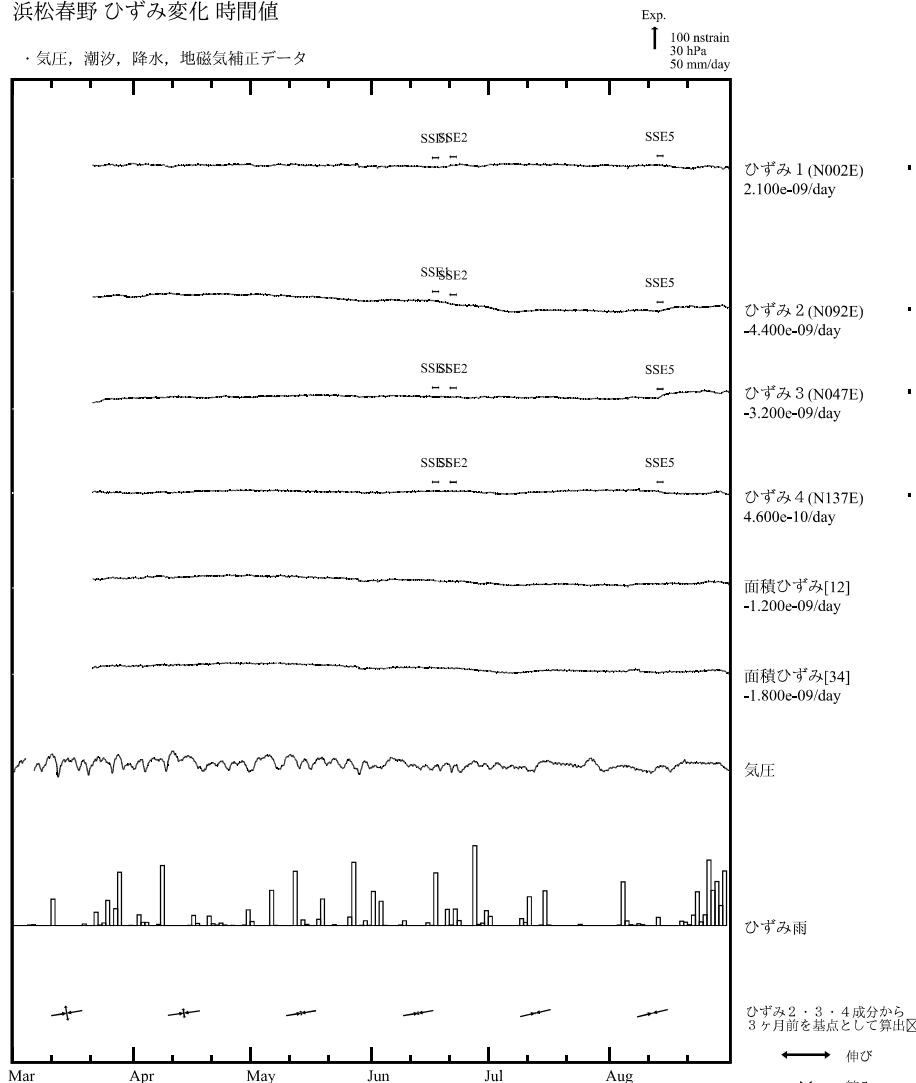
・最大剪断ひずみ、面積ひずみおよび主軸方向は
ひずみ 1・2・3 の各方向成分から1999年7月1日を基点として算出



気象庁作成

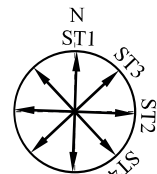
浜松春野 ひずみ変化 時間値

・気圧、潮汐、降水、地磁気補正データ



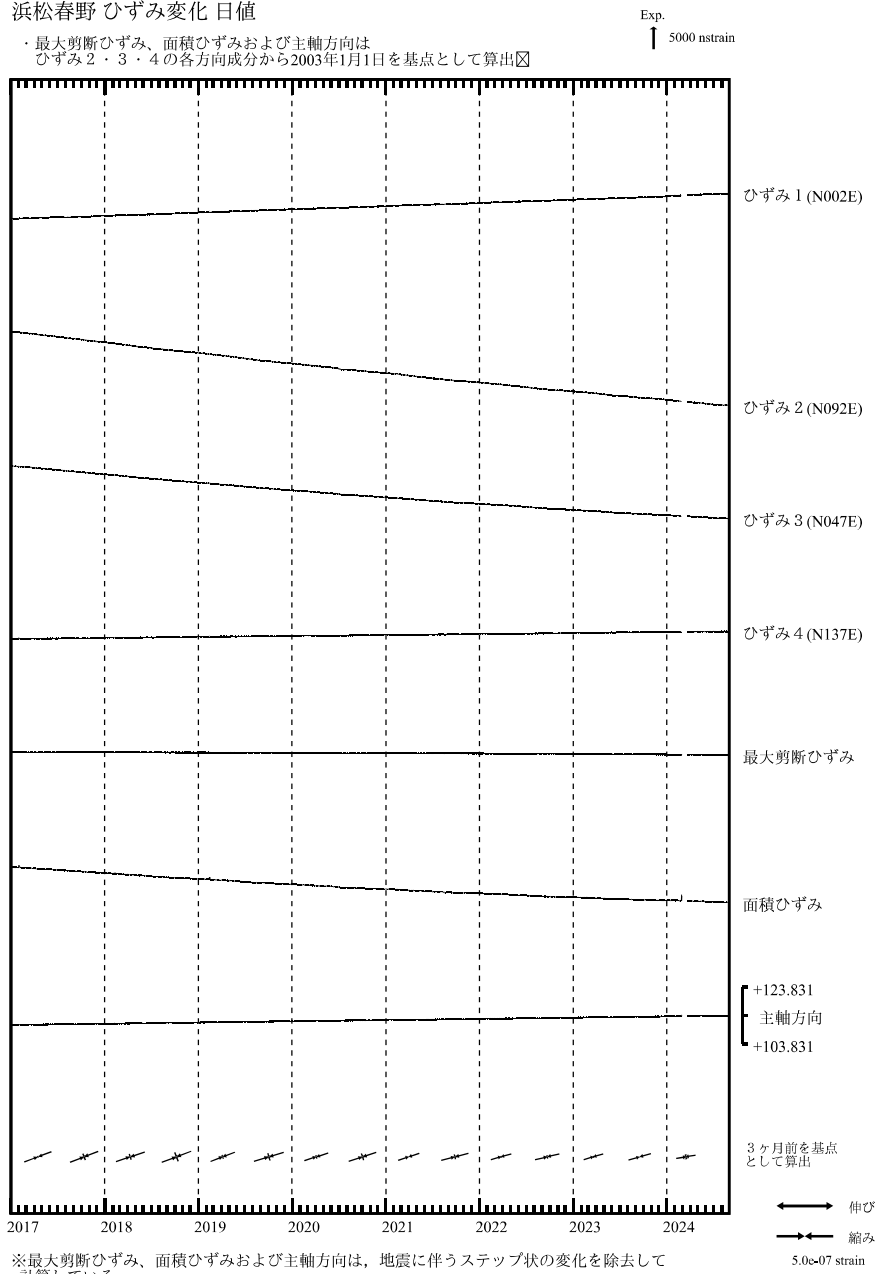
SSE1 : 短期的ゆっくりすべり 2024.06.16-06.20
SSE2 : 短期的ゆっくりすべり 2024.06.21-06.24
SSE5 : 短期的ゆっくりすべり 2024.08.13-08.16

C : 地震に伴うステップ状の変化
L : 局所的な変化
S : 例年見られる変化
M : 調整
T : 障害



浜松春野 ひずみ変化 日値

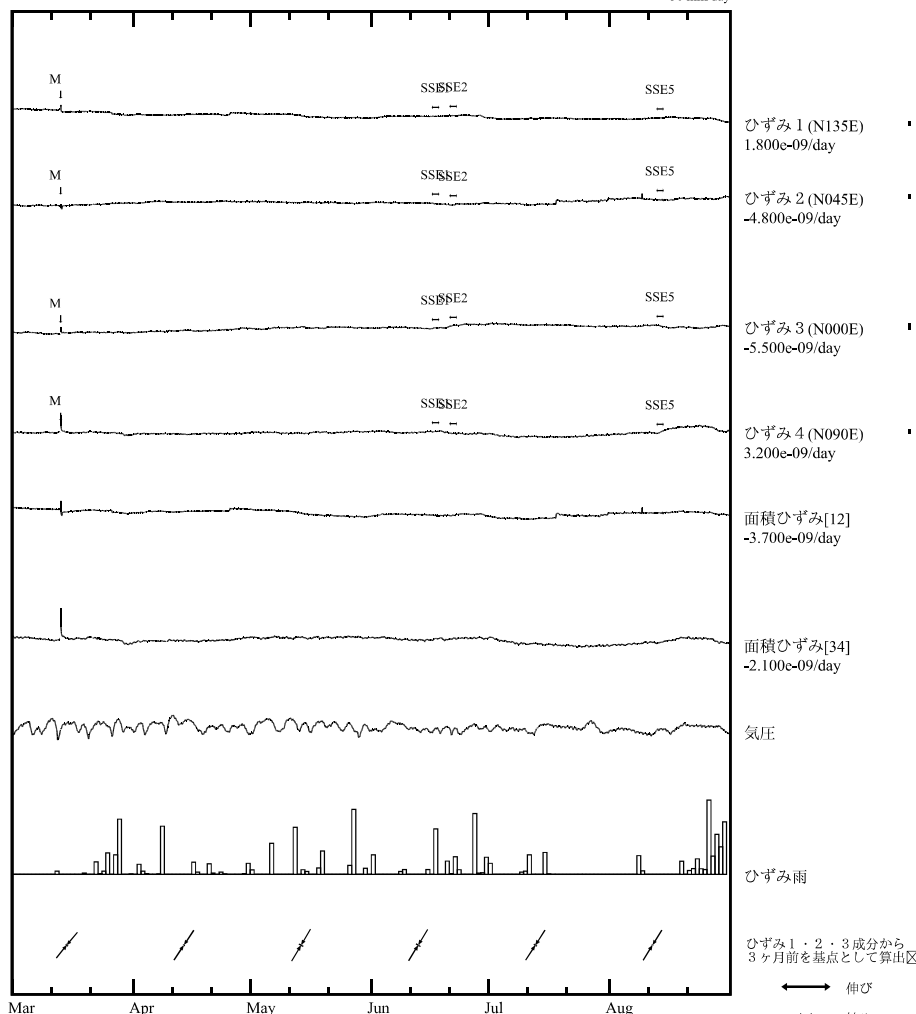
・最大剪断ひずみ、面積ひずみおよび主軸方向は
ひずみ 2・3・4 の各方向成分から2003年1月1日を基点として算出



気象庁作成

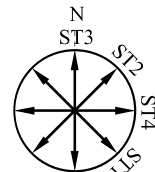
浜松佐久間 ひずみ変化 時間値

・気圧、潮汐、降水、地磁気補正データ



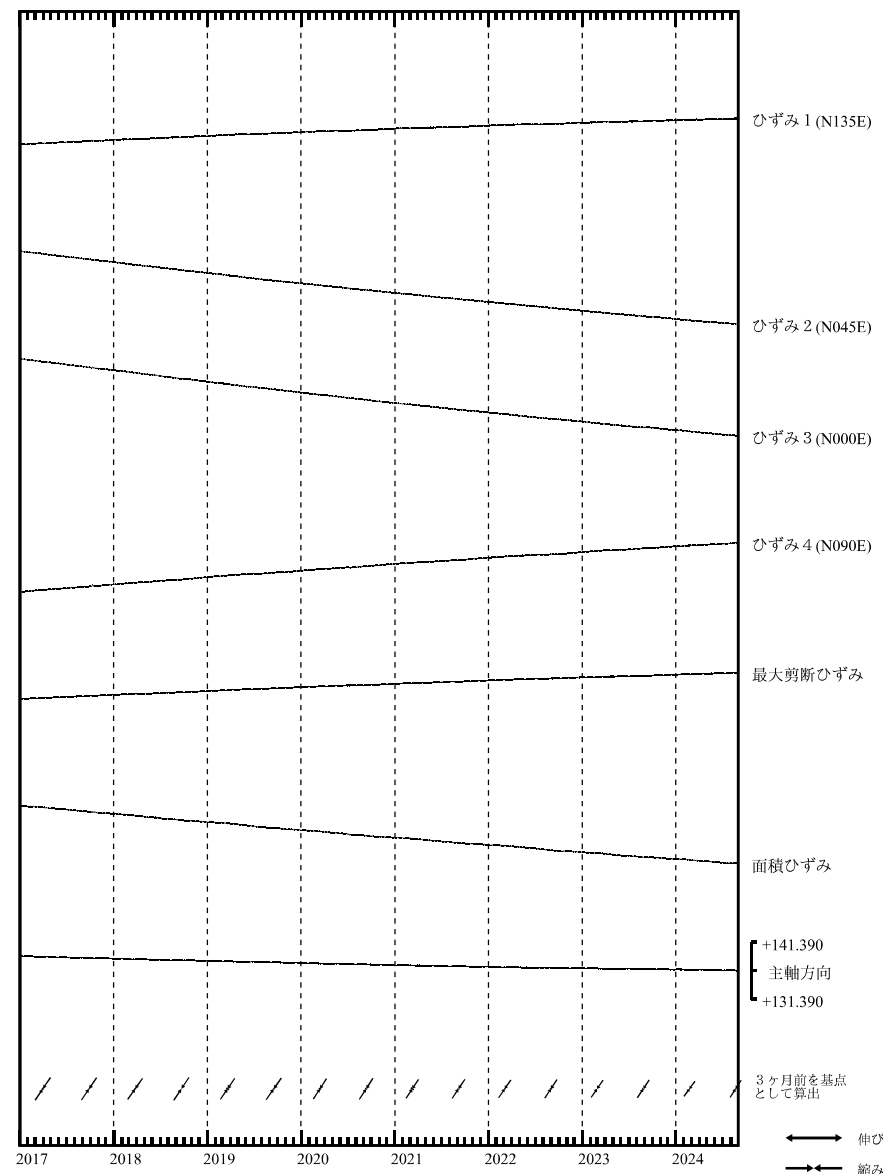
SSE1 : 短期的ゆっくりすべり 2024.06.16-06.20
SSE2 : 短期的ゆっくりすべり 2024.06.21-06.24
SSE5 : 短期的ゆっくりすべり 2024.08.13-08.16

C : 地震に伴うステップ状の変化
L : 局所的な変化
S : 例年見られる変化
M : 調整
T : 障害



浜松佐久間 ひずみ変化 日値

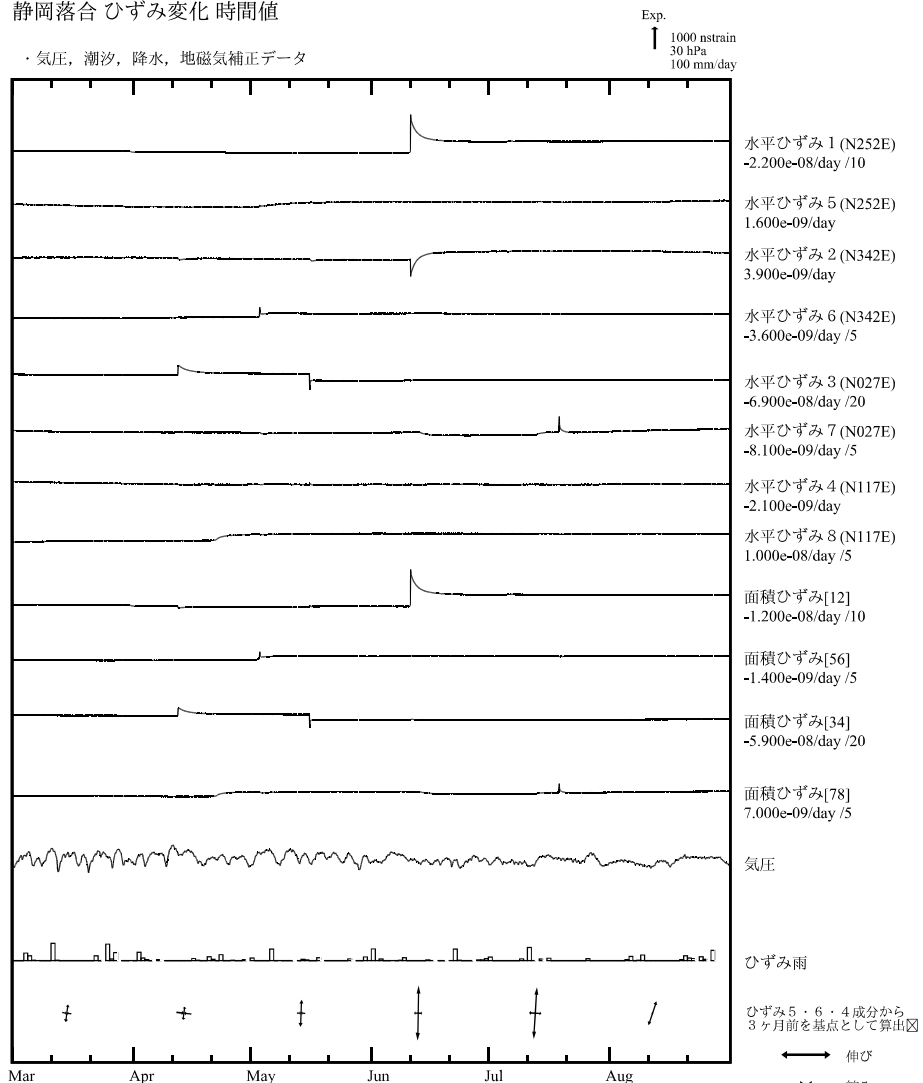
・最大剪断ひずみ、面積ひずみおよび主軸方向は
ひずみ 1・2・3 の各方向成分から2000年1月1日を基点として算出



※最大剪断ひずみ、面積ひずみおよび主軸方向は、地震に伴うステップ状の変化を除去して計算している。

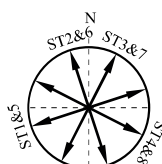
静岡落合ひずみ変化時間値

・気圧、潮汐、降水、地磁気補正データ



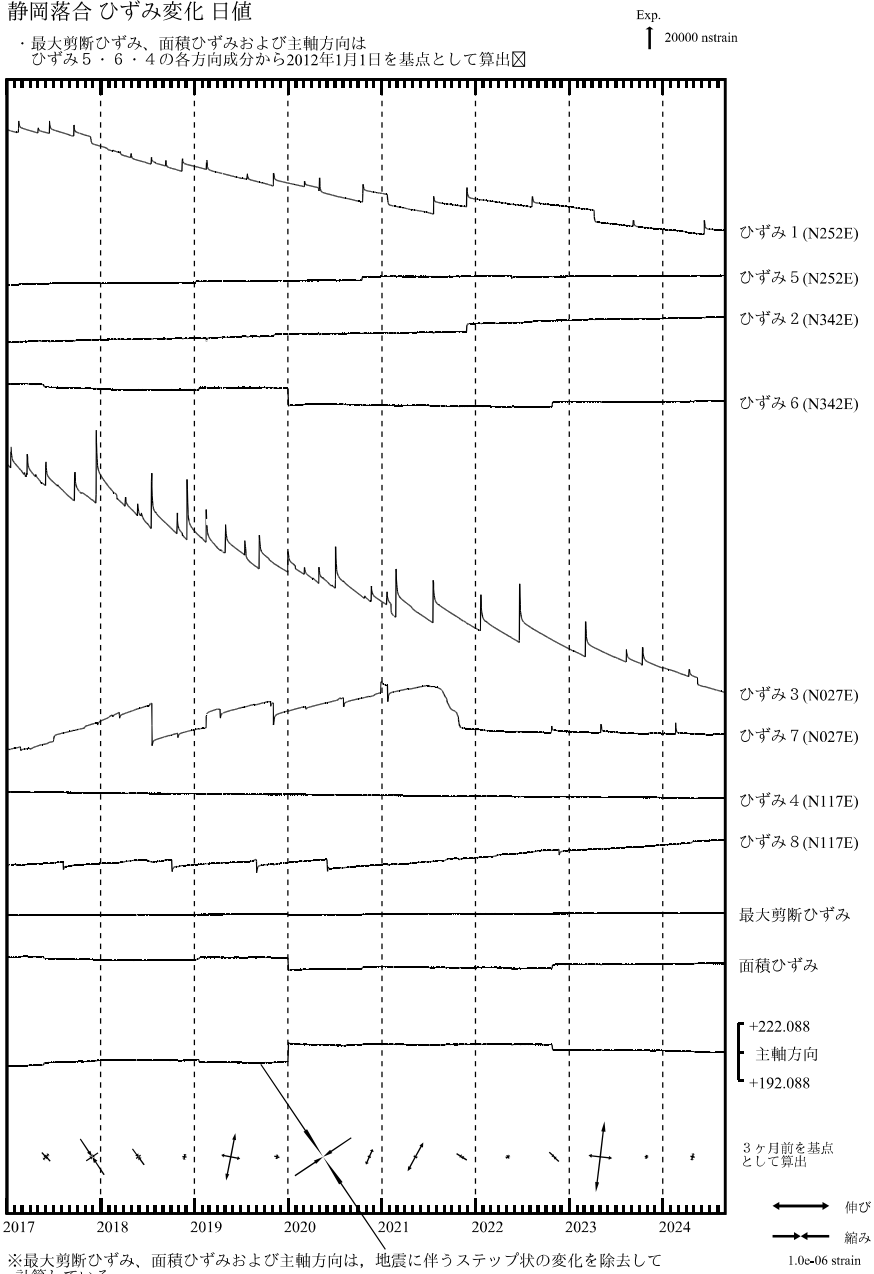
・特記事項なし。

- C : 地震に伴うステップ状の変化
- L : 局所的な変化
- S : 例年見られる変化
- M : 調整
- T : 障害



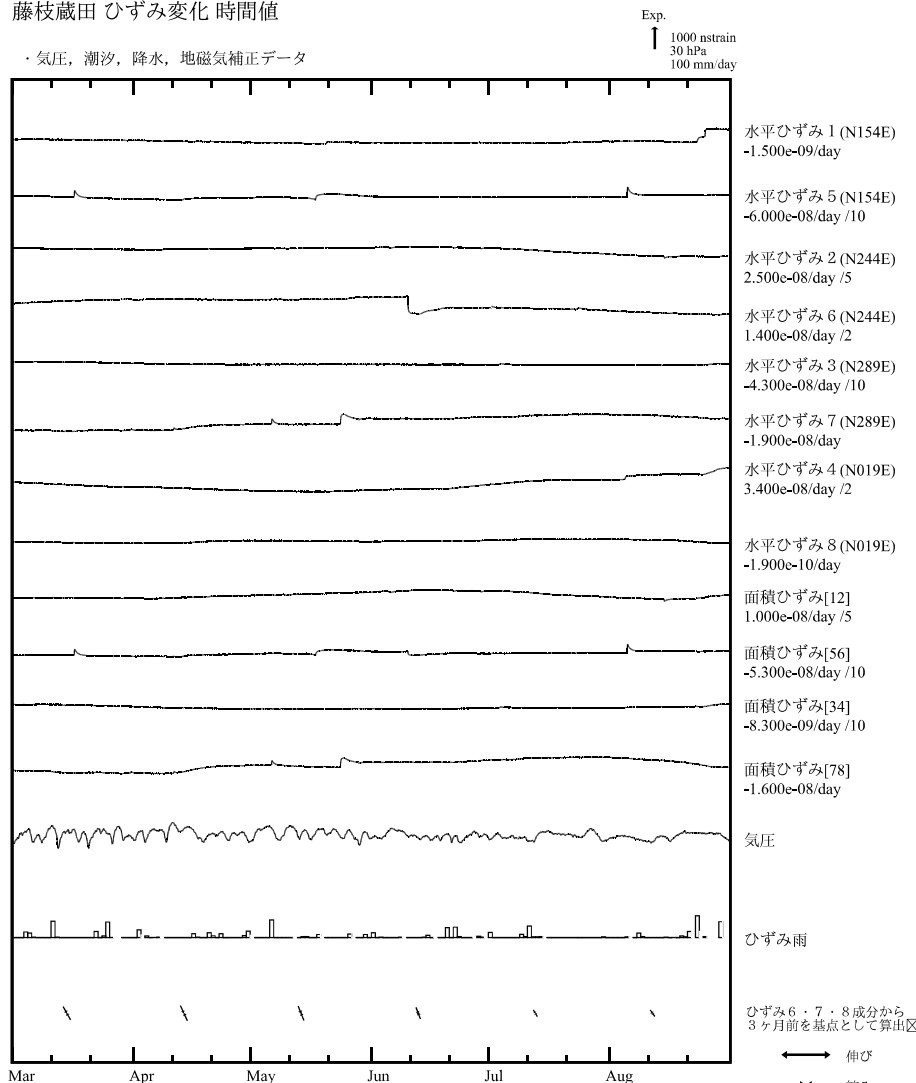
静岡落合ひずみ変化日値

・最大剪断ひずみ、面積ひずみおよび主軸方向は
ひずみ 5・6・4 の各方向成分から2012年1月1日を基点として算出



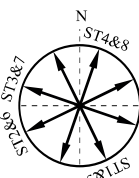
藤枝蔵田ひずみ変化時間値

・気圧、潮汐、降水、地磁気補正データ



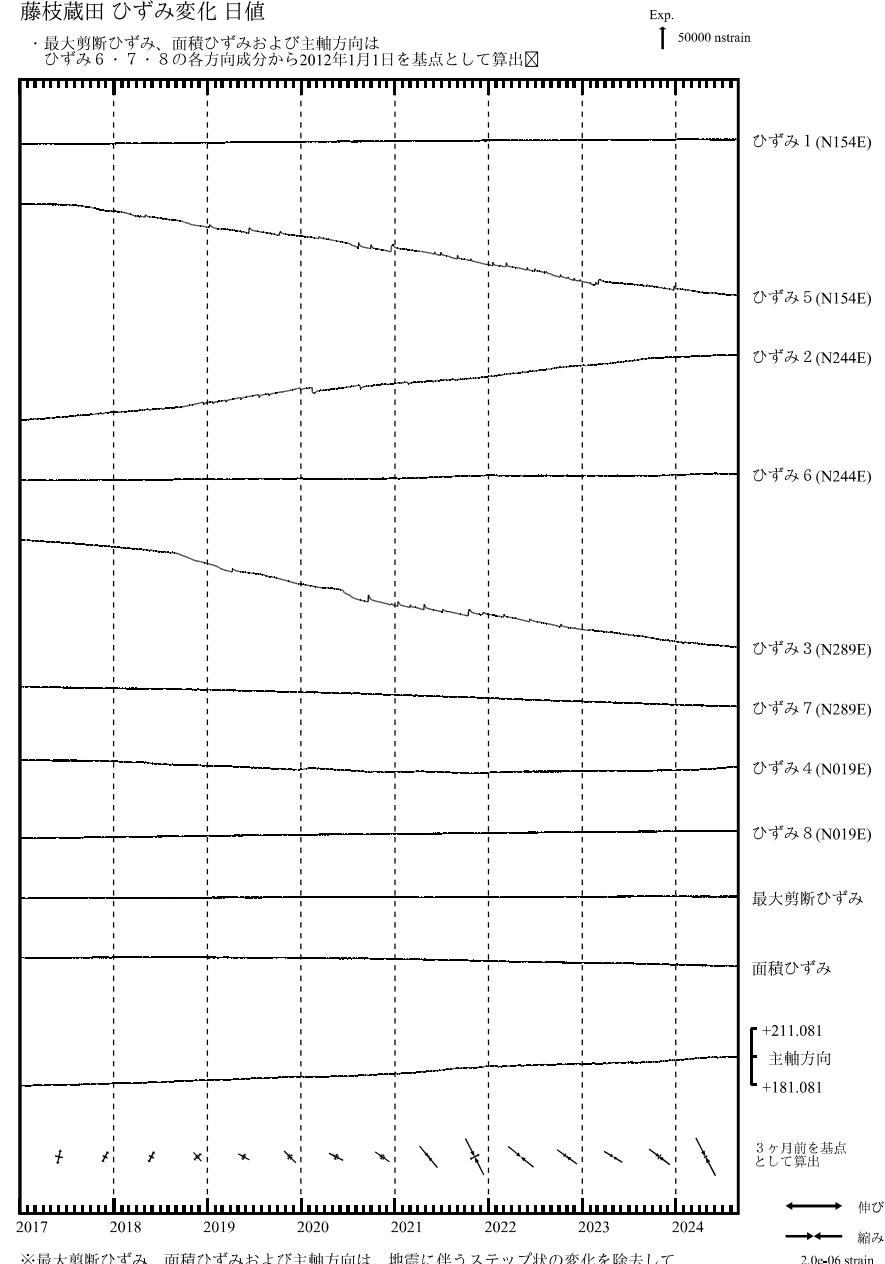
・特記事項なし。

- C : 地震に伴うステップ状の変化
- L : 局所的な変化
- S : 例年見られる変化
- M : 調整
- T : 障害



藤枝蔵田ひずみ変化日値

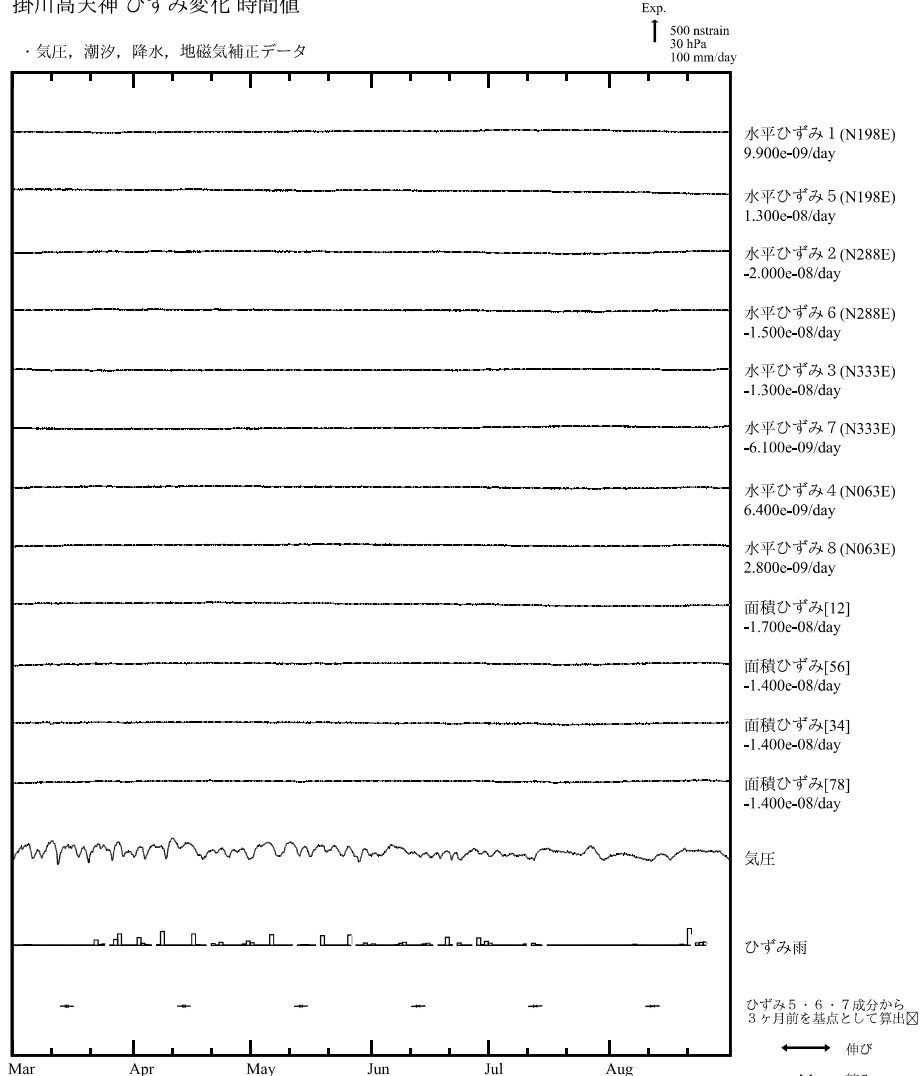
・最大剪断ひずみ、面積ひずみおよび主軸方向は
ひずみ 6・7・8の各方向成分から2012年1月1日を基点として算出



気象庁作成

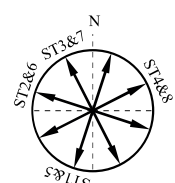
掛川高天神 ひずみ変化 時間値

・気圧、潮汐、降水、地磁気補正データ



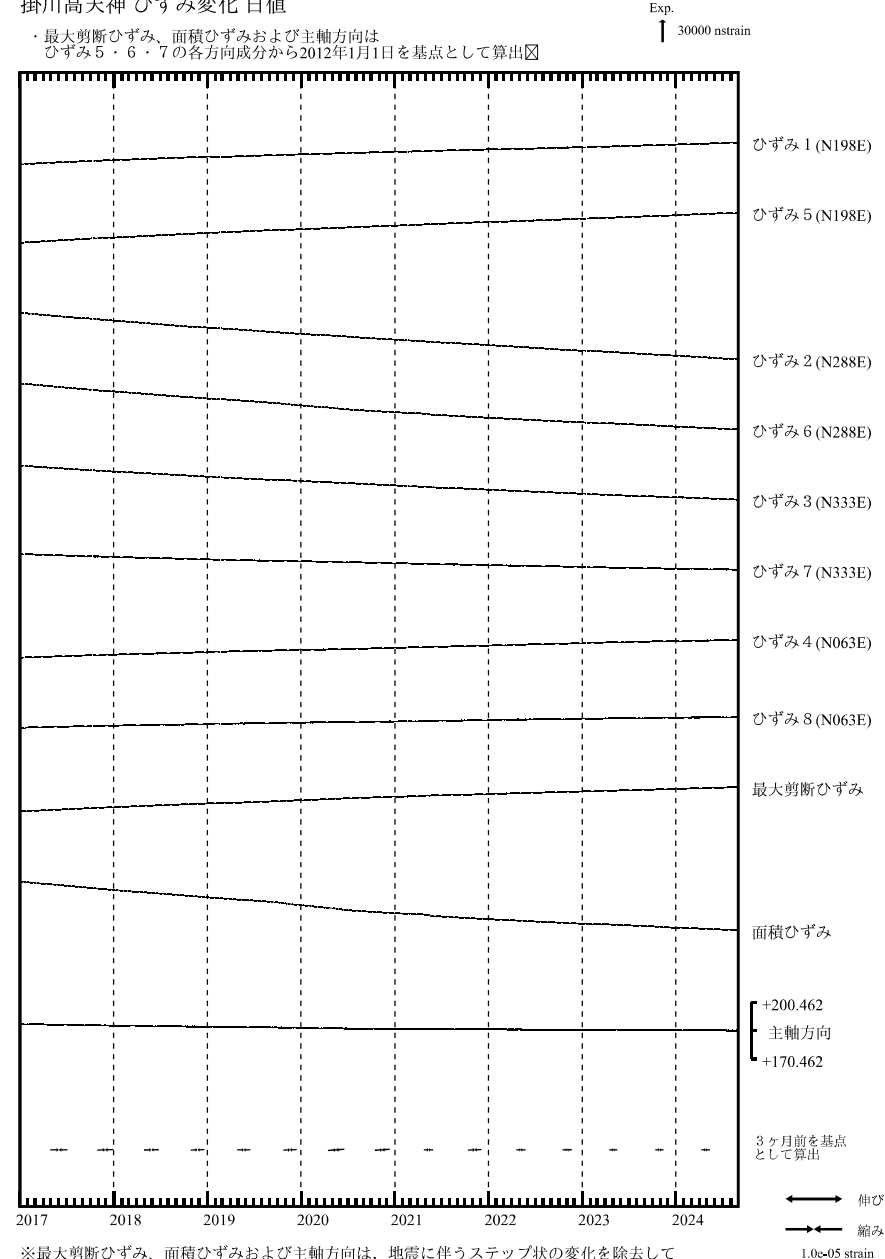
・特記事項なし。

- C : 地震に伴うステップ状の変化
- L : 局所的な変化
- S : 年々見られる変化
- M : 調整
- T : 障害



掛川高天神 ひずみ変化 日値

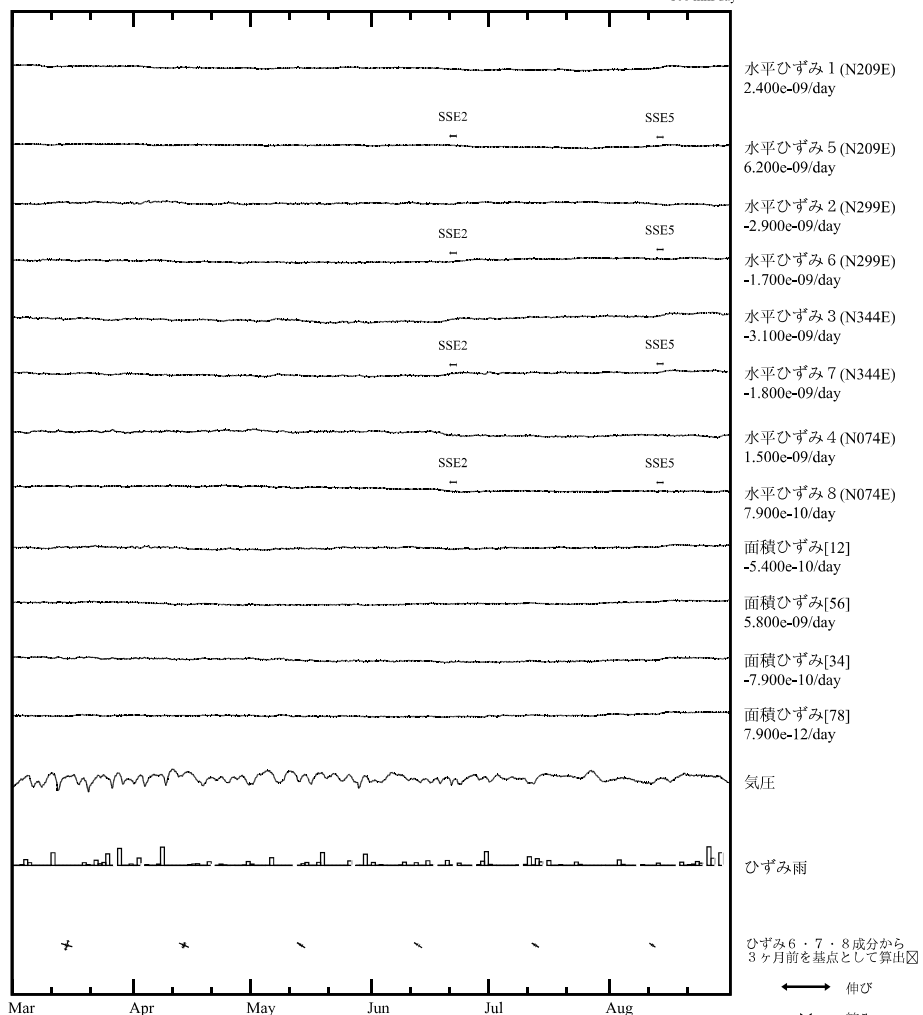
・最大剪断ひずみ、面積ひずみおよび主軸方向は
ひずみ 5・6・7 の各方向成分から2012年1月1日を基点として算出



※最大剪断ひずみ、面積ひずみおよび主軸方向は、地震に伴うステップ状の変化を除去して計算している。

壳木岩倉ひずみ変化時間値

・気圧、潮汐、降水、地磁気補正データ



SSE2 : 短期的ゆっくりすべり 2024.06.21-06.24
SSE5 : 短期的ゆっくりすべり 2024.08.13-08.16

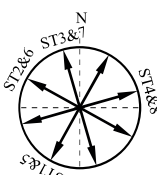
C : 地震に伴うステップ状の変化

L : 局所的な変化

S : 例年見られる変化

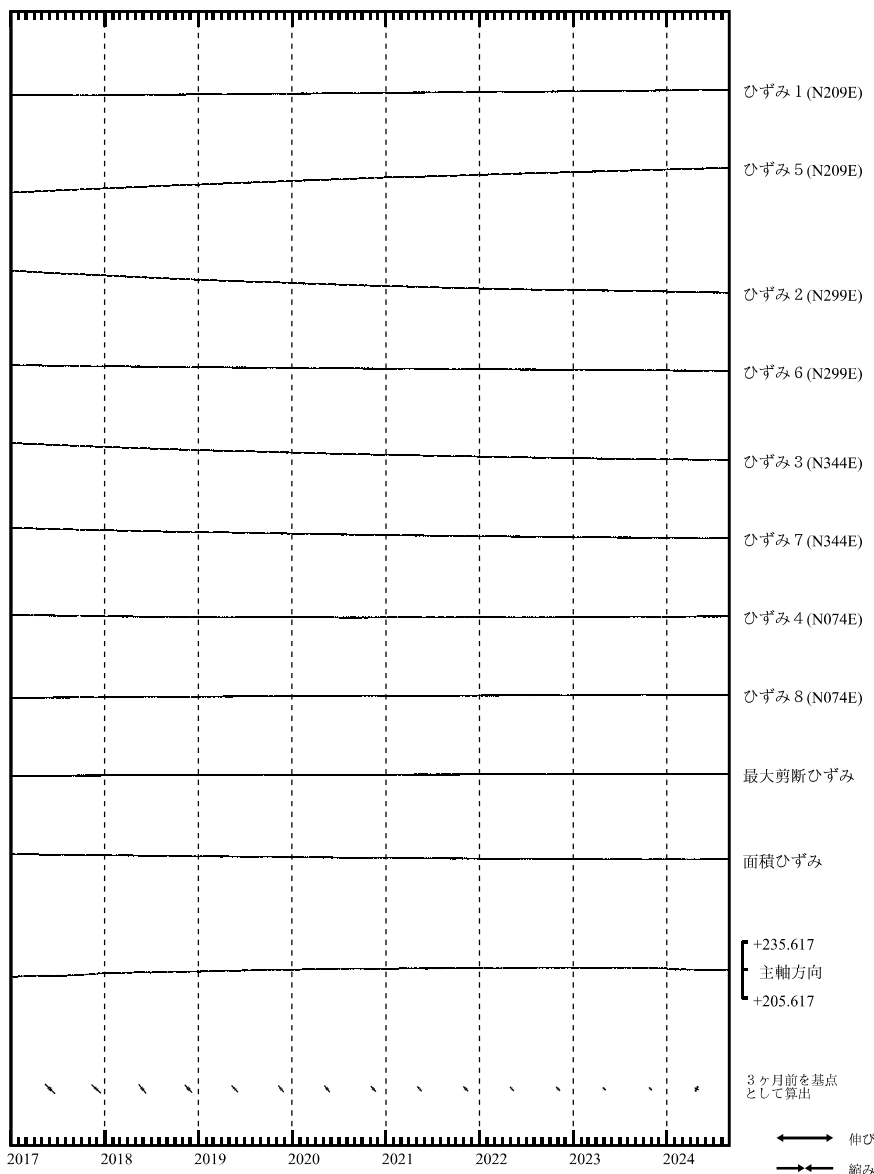
M : 調整

T : 障害

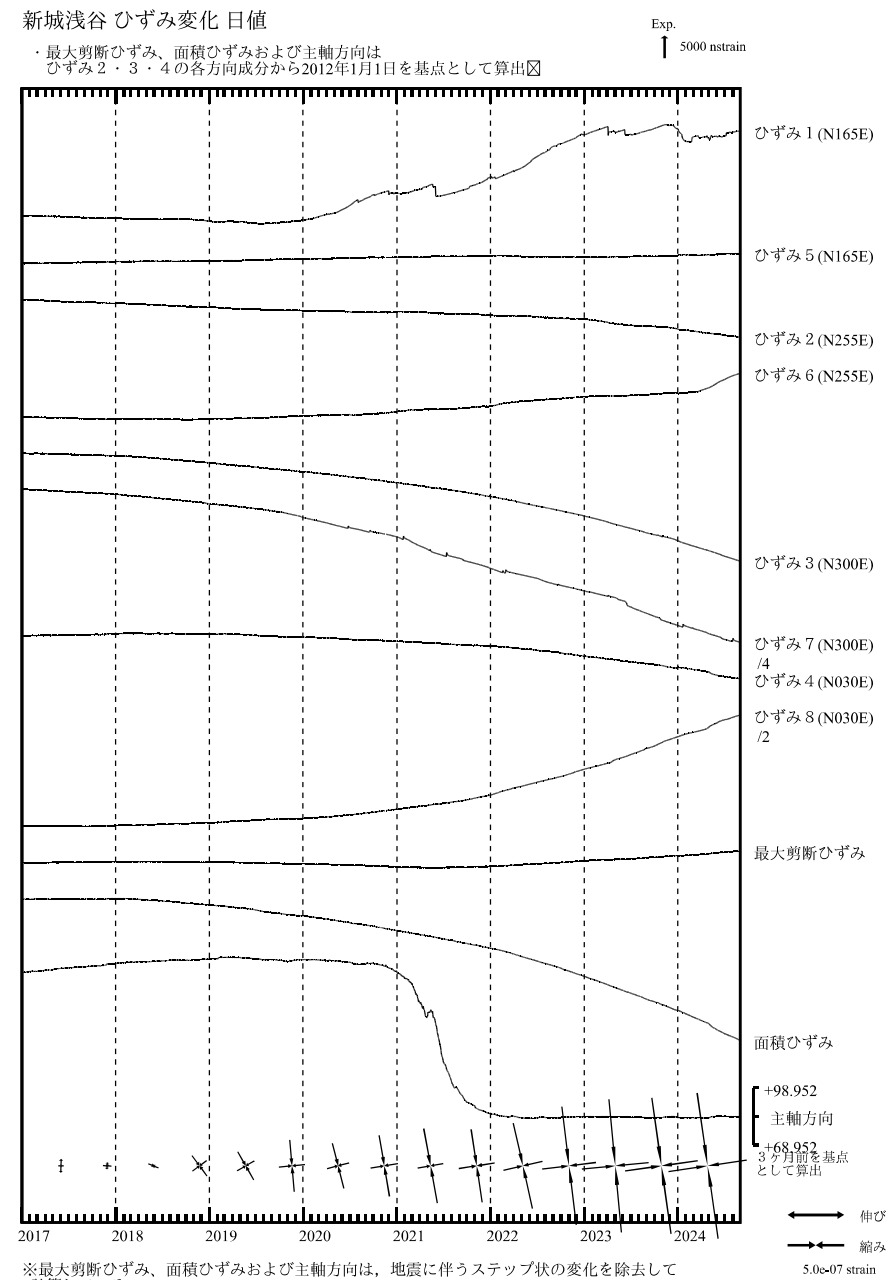
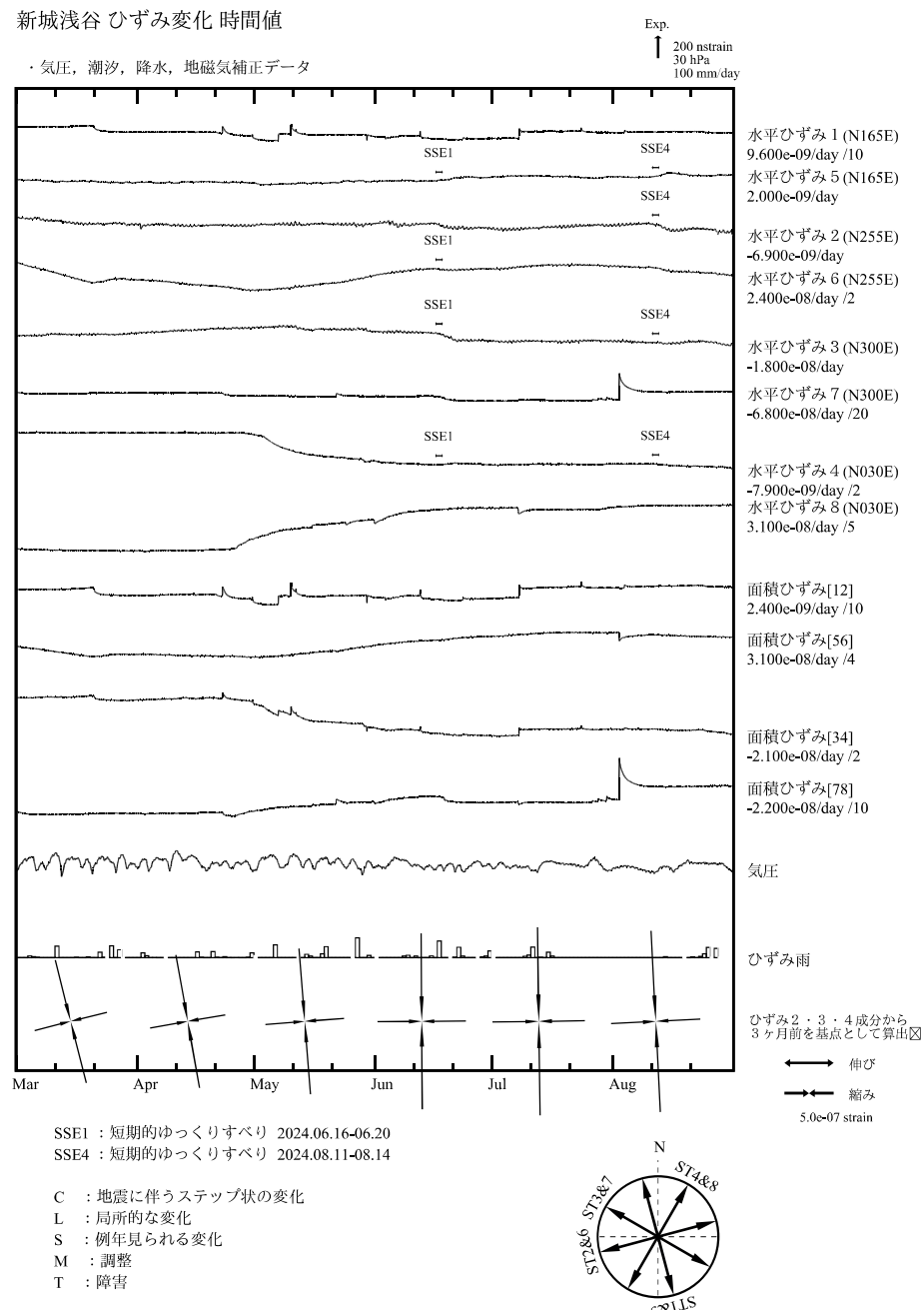


壳木岩倉ひずみ変化日値

・最大剪断ひずみ、面積ひずみおよび主軸方向は
ひずみ 6・7・8の各方向成分から2012年1月1日を基点として算出

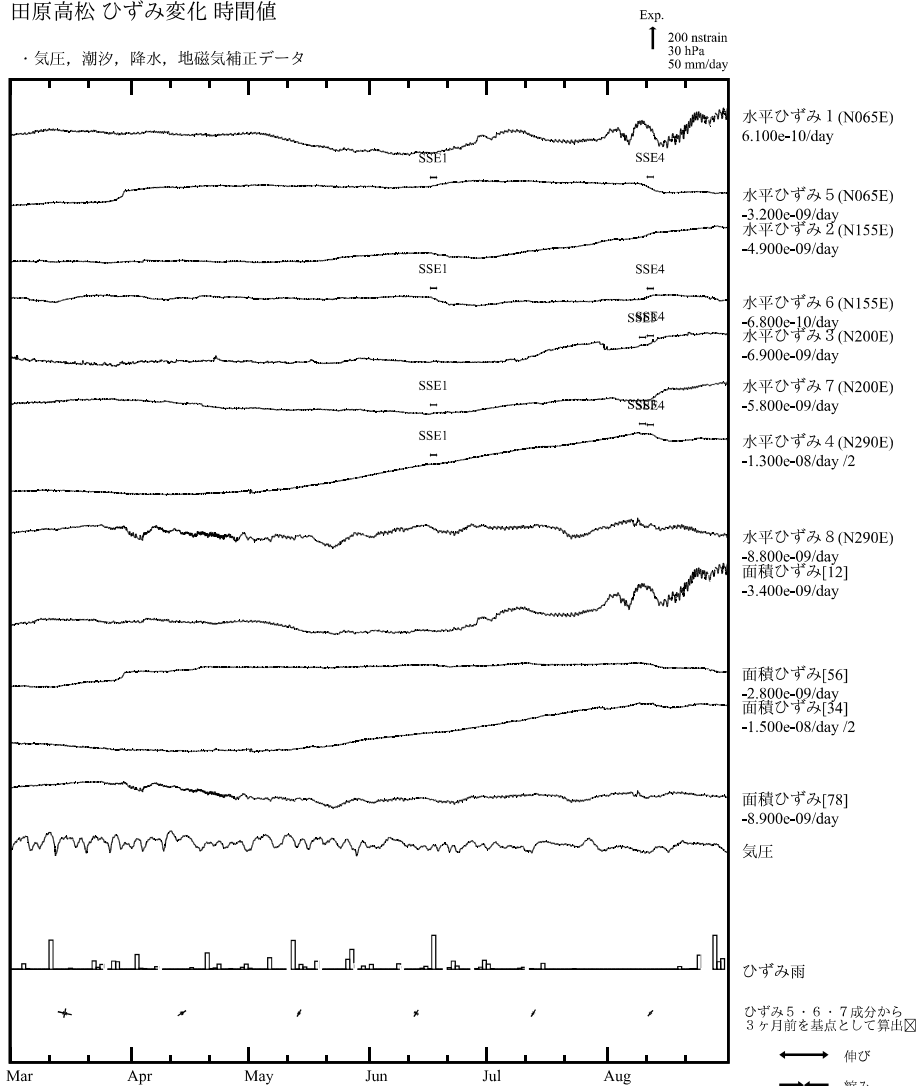


※最大剪断ひずみ、面積ひずみおよび主軸方向は、地震に伴うステップ状の変化を除去して
計算している。

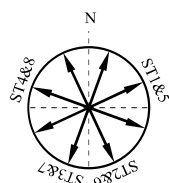


田原高松 ひずみ変化 時間値

・気圧、潮汐、降水、地磁気補正データ

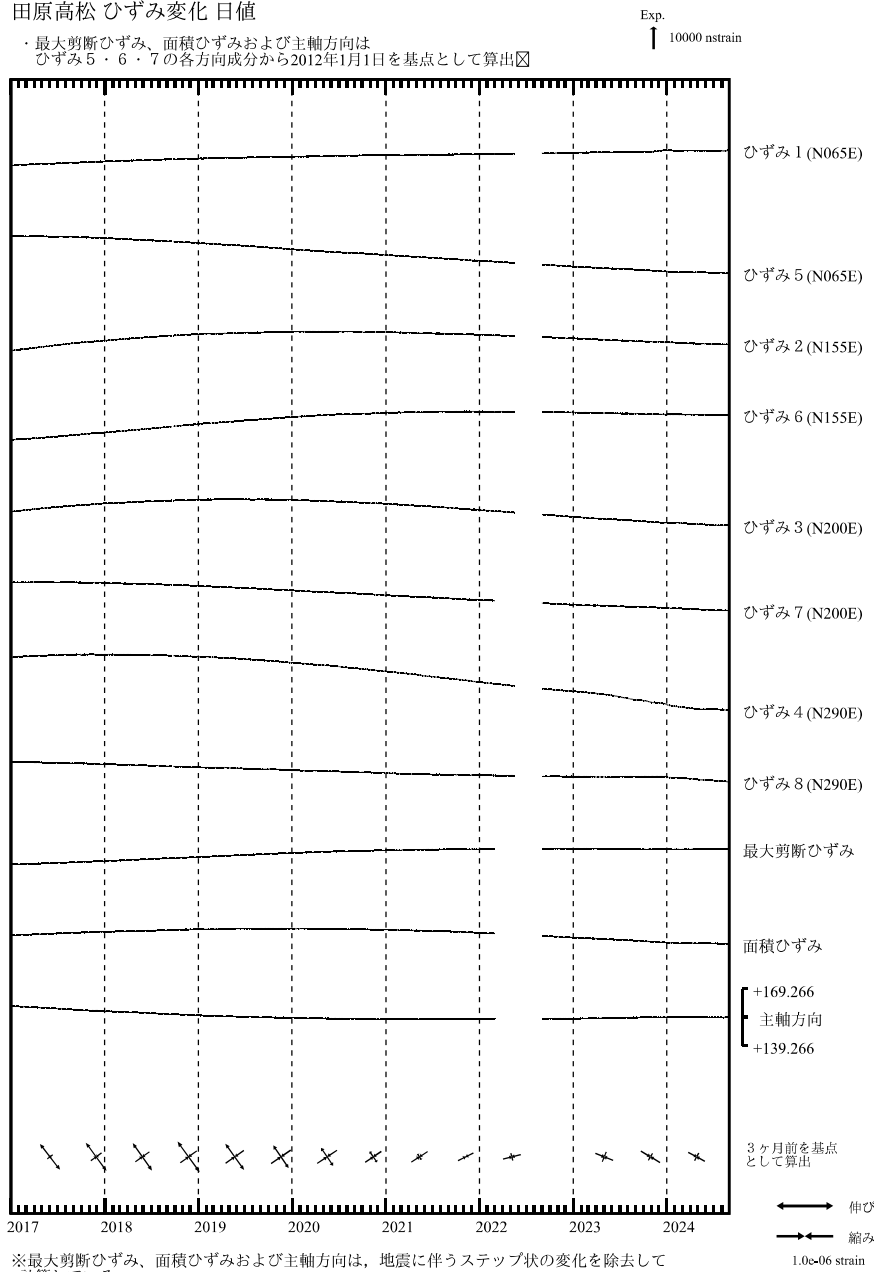


C : 地震に伴うステップ状の変化
L : 局所的な変化
S : 例年見られる変化
M : 調整
T : 障害



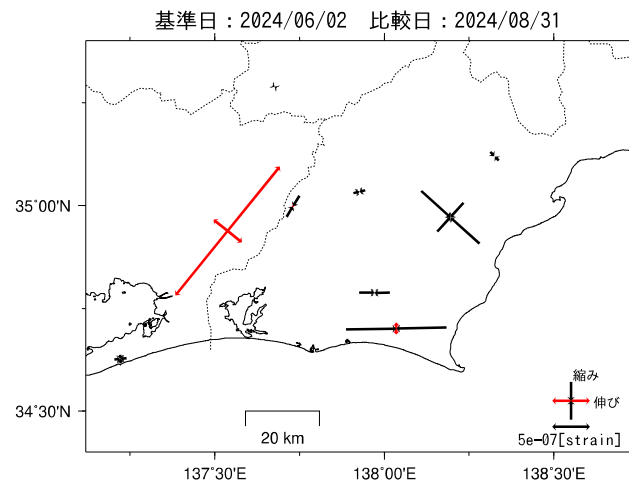
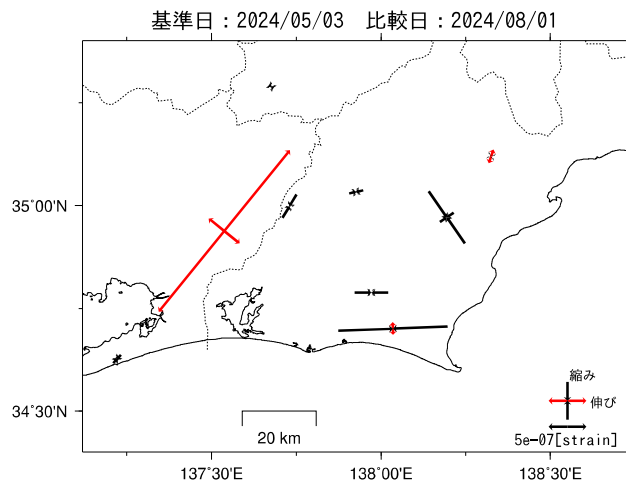
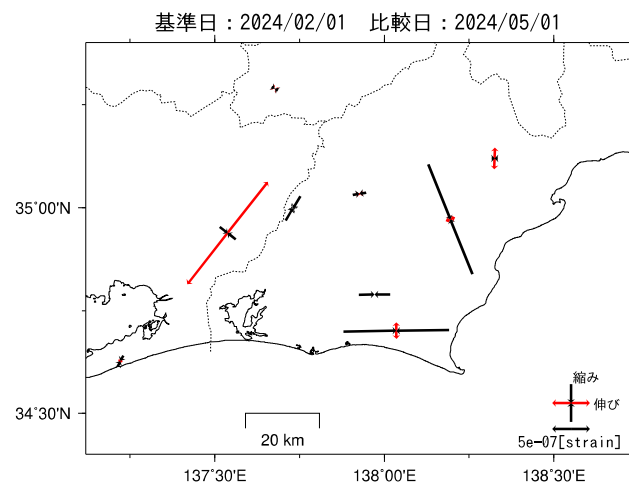
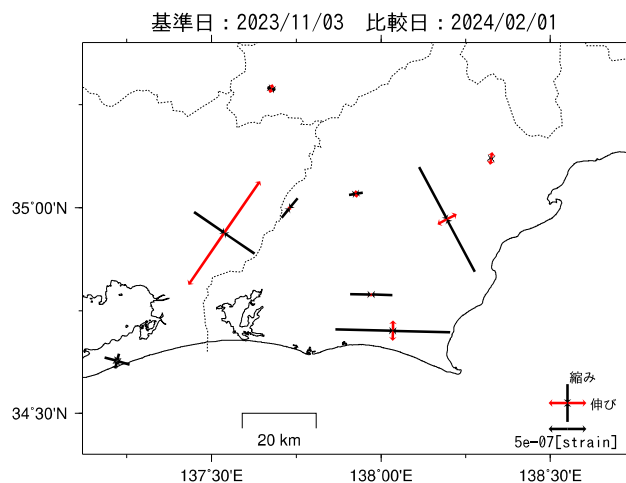
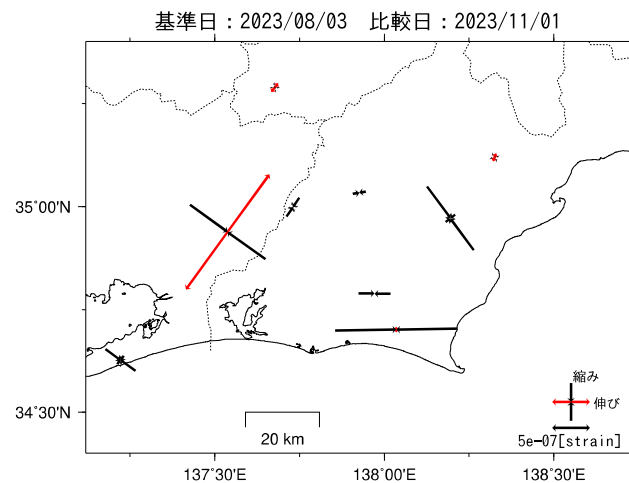
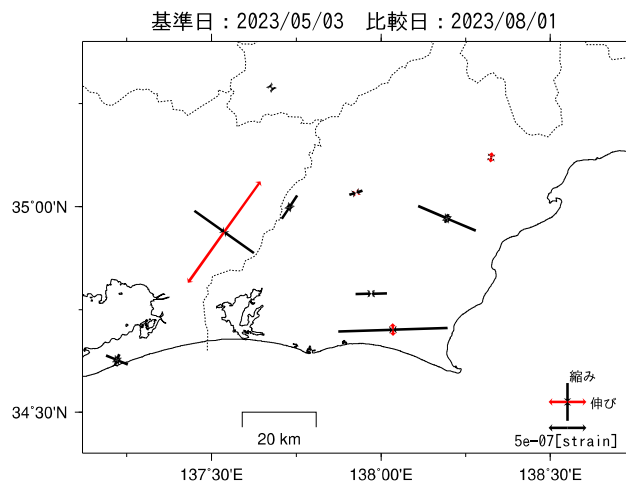
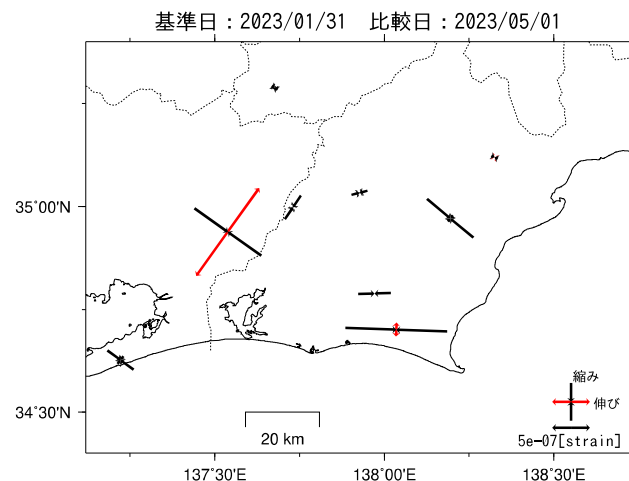
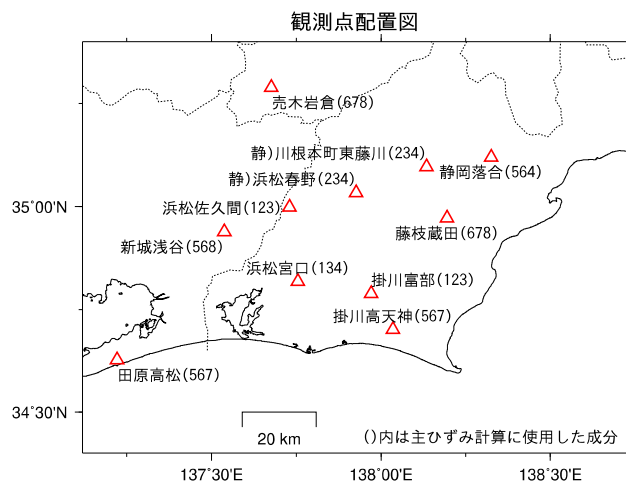
田原高松 ひずみ変化 日値

・最大剪断ひずみ、面積ひずみおよび主軸方向は
ひずみ 5・6・7 の各方向成分から2012年1月1日を基点として算出



多成分ひずみ計日値による主ひずみ解析結果

(90日間の変化量から算出)



気象庁

南海トラフ沿いの長期的スロースリップの客観検知

客観検知手法 (Kobayashi, 2017¹⁾) は、国土地理院GEONETのGNSS座標値F5解を用いて、長期的スロースリップに伴う変位を南海トラフに沿った経度・緯度別に以下の手順により検出したものである。

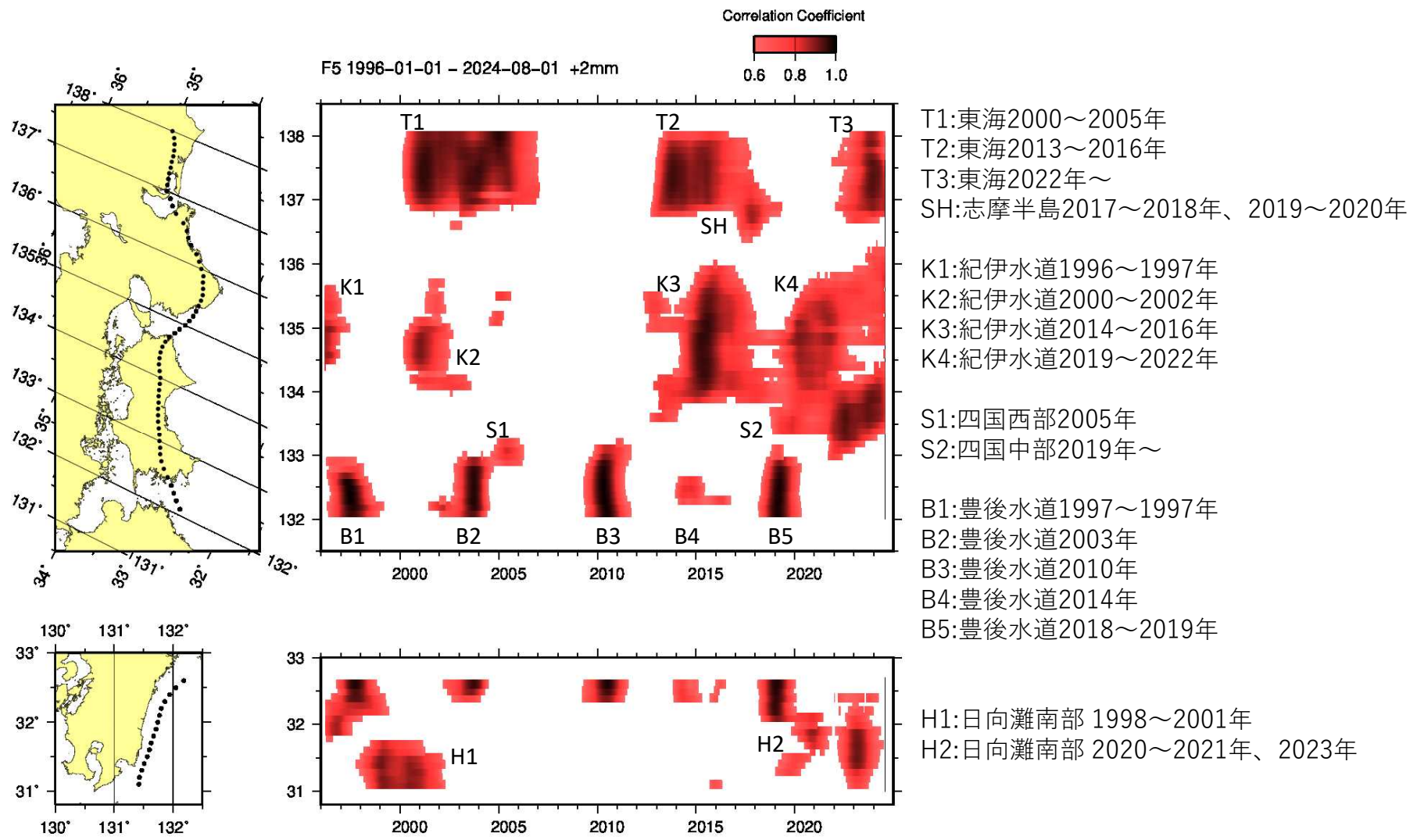
- (1) 観測点の成分ごとに直線トレンド、アンテナ交換などに伴うオフセットと主な地震に伴うオフセット、年周・半年周成分を除去する。
 - (2) 長期的SSEの影響がほぼ見られない中国地方（九州沿いは九州北西部）の観測点の共通ノイズを全点から引き去り、領域全体を固定する。
 - (3) 各観測点の水平成分からフィリピン海プレート沈み込みと逆方向 (S55E) の成分を計算し、南海トラフ沿いのプレート等深線25kmに沿って設定した経度または緯度0.1度間隔の地点を中心（九州は南東端）とする50×100kmの矩形範囲内の各観測点の成分の平均値を求める。
 - (4) 主な地震の余効変動を除去する。
 - (5) 地点ごとの時系列と1年の傾斜期間を持つランプ関数との相互相関と、対象期間前後の2年間変化量を求める。
- なお処理の仕様上、最新期間については、今後データ追加に伴い解析結果が変わる可能性がある。図に示された高相関の時空間分布は、変動源の位置自体ではなく変化が見られた範囲を意味している。

また、プレート境界上に置いた矩形断層でのすべりによる理論変位と比較することにより、以下の手順で長期的スロースリップの規模を推定した（小林、2021²⁾）。

- (6) 南海トラフ沿いのプレート等深線25kmに沿って設定した経度または緯度0.1度間隔の地点を中心とする30×30kmの矩形断層上に100mmのすべりを与える、理論変位をOkada (1992)により計算する。
- (7) 計算地点を中心（九州は南東端）とする地表上の50×100 kmの矩形範囲内の観測点における、(6)の理論変位の沈み込み方向と逆方向に投影した成分の理論平均変位を求める。
- (8) 手順(5)で求めた2年間の観測変位量と、手順(7)で求めた一定のすべり量を与えた場合の理論変位値とを比較する。このとき、2年間の観測変位量が大きい/小さい場合でも、単純化のためすべりの範囲は(6)で設定した矩形断層上にあると仮定する。矩形断層上のすべり量と地表変位量とは比例関係にあるため、2年間の観測変位量から2年間あたりのすべり量を求めることができ、対応するMwを算出する。

1) Kobayashi, A., 2017, Objective detection of long-term slow slip events along the Nankai Trough using GNSS data (1996–2016), *Earth Planets Space*, 69:171, doi:10.1186/s40623-017-0755-7.

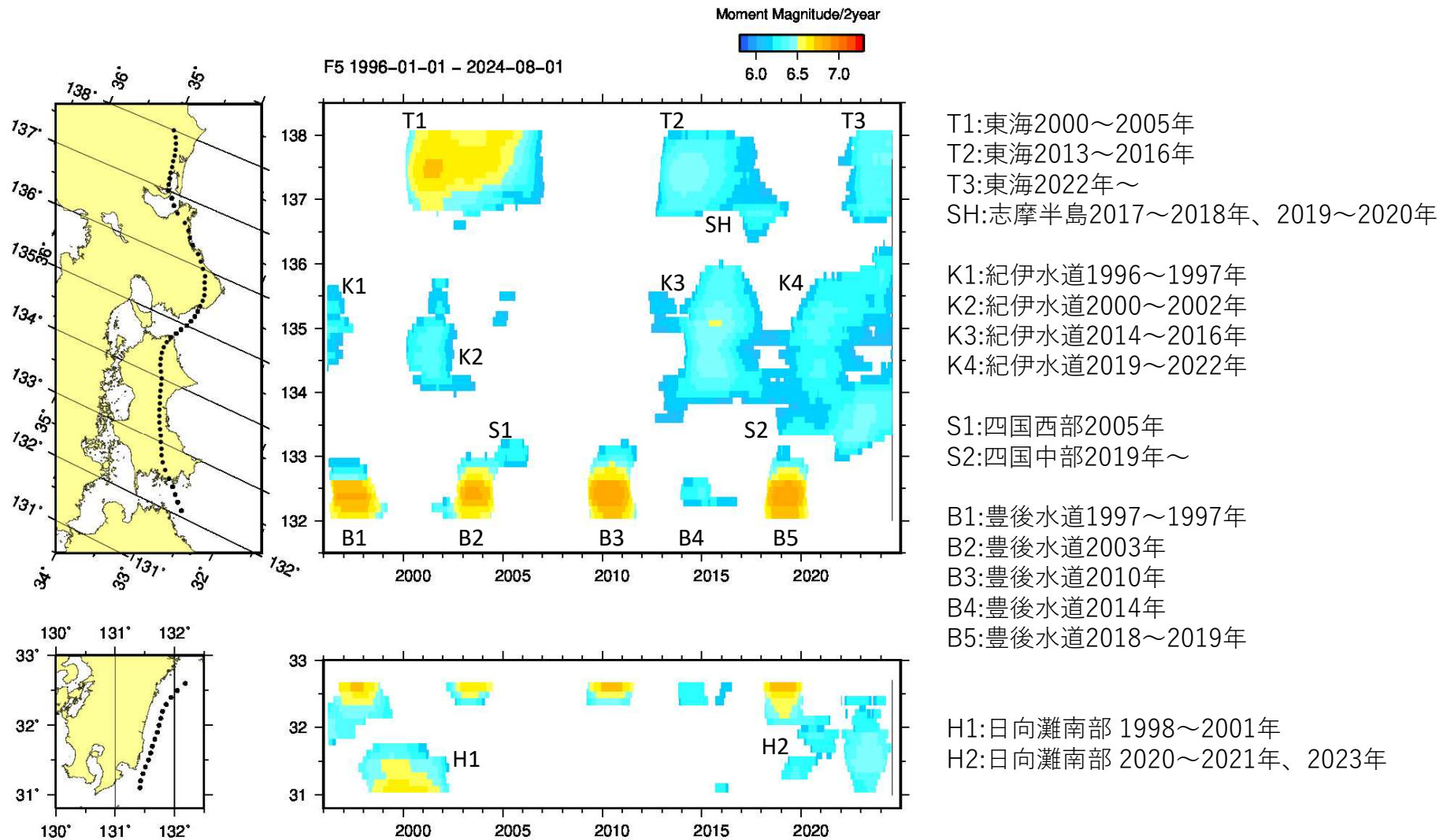
2) 小林昭夫, 2021, GNSSによる長期的スロースリップ客観検出手法の応用—短期的スロースリップの検出と長期的スロースリップの規模推定—, 気象研究所研究報告, 69, 1-14.



第1図 長期的スロースリップ客観検知図（1996年～2024年8月）

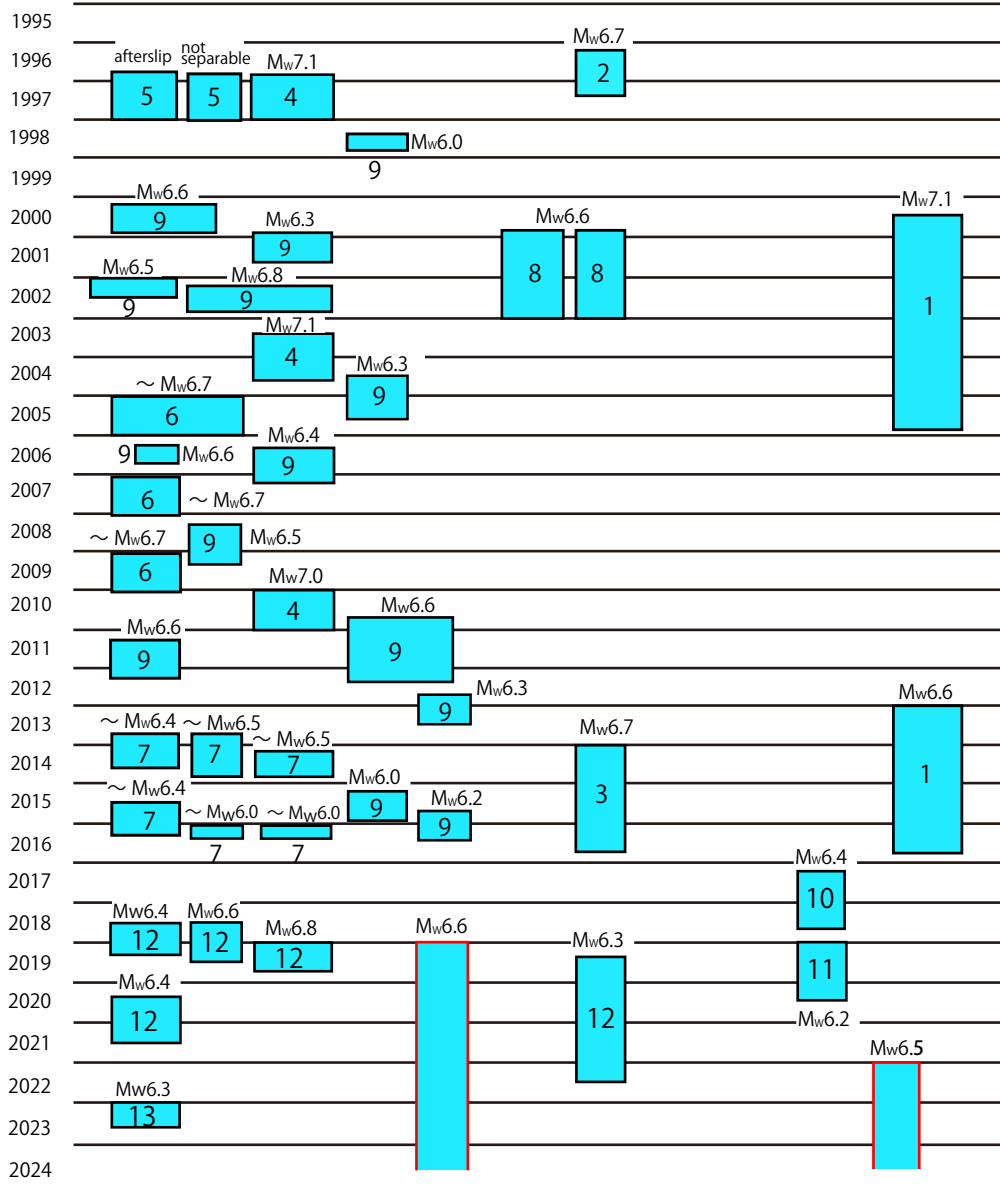
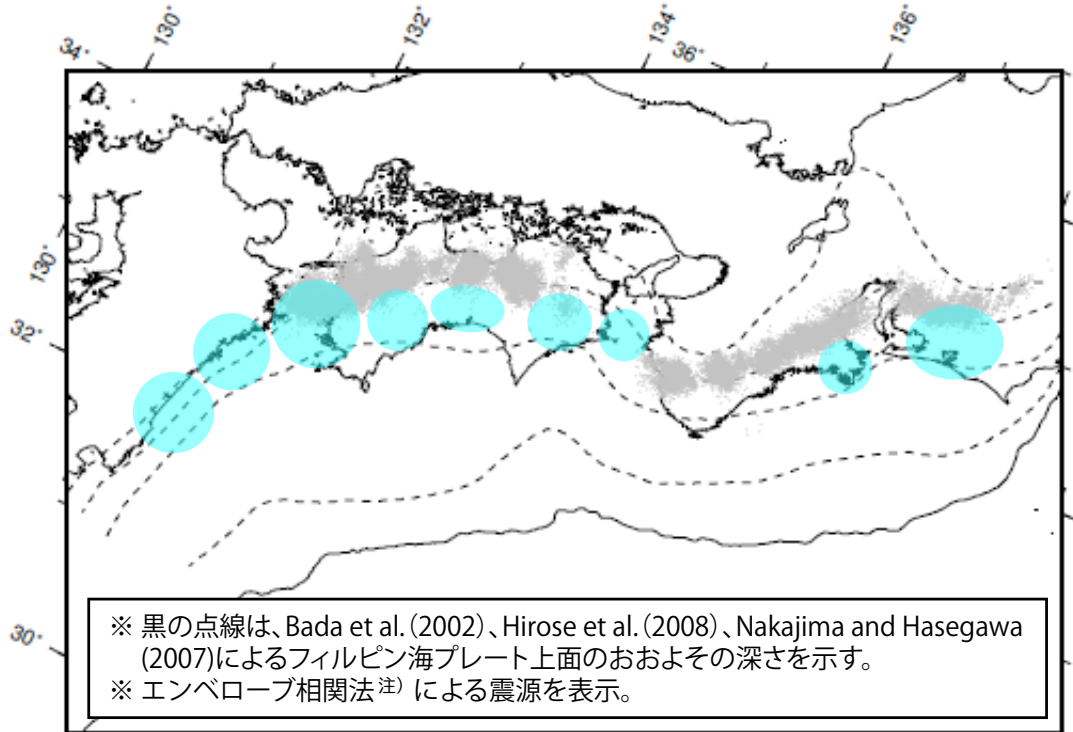
スロースリップに伴う非定常変位の範囲（場所、時間）を赤～黒で示す。色が濃いほどスロースリップの発生可能性が高い。右端の縦線は最新データ日を示す。なお、これは変位が検出された範囲で、変動源自体の範囲ではない。

気象庁・気象研究所作成



第2図 長期的スロースリップの規模分布（1996年～2024年8月）
2年間あたりの変化量から推定したモーメントマグニチュード。

長期的ゆっくりすべりの全体概要



- 1. Ozawa et al. (2016)
- 2. Kobayashi (2014)
- 3. GSI (2016)
- 4. Ozawa et al. (2013)
- 5. Ozawa et al. (2001)
- 6. Yarai & Ozawa (2013)
- 7. Ozawa (2017)
- 8. Kobayashi (2017)
- 9. Takagi et al. (2019)
- 10. Kobayashi & Tsuyuki (2019)
- 11. GSI (2021)
- 12. Ozawa et al. (2024)
- 13. GSI (2023)

□ 評価検討会資料

※ 本資料は、評価検討会における評価結果やOzawa et al.(2024)をもとに、長期的ゆっくりすべりの発生場所と時期を模式的に示した図である。

それぞれのゆっくりすべりの詳細については、各文献等を参照のこと。

注) エンベロープ相関法は防災科学技術研究所、東京大学地震研究所との共同研究による成果。